



Comment décrire l'état cristallin ?

Cristallographie géométrique, symétries

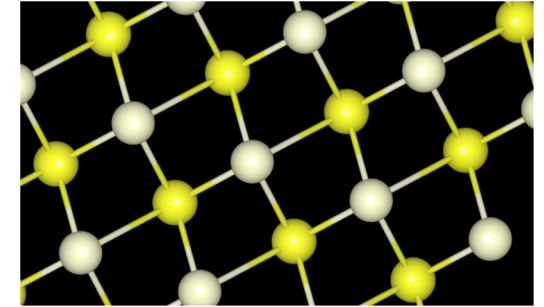
Delphine Cabaret, IMPMC

delphine.cabaret@sorbonne-universite.fr



Préambule : qu'est-ce qu'un cristal ?

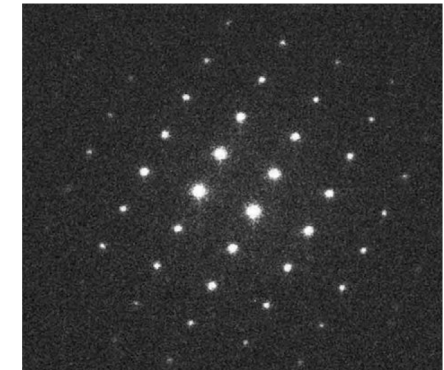
Solide dont la structure microscopique est caractérisée par la **répétition périodique en 3 dimensions** d'un **motif** constitué d'atomes.



Depuis 1992 (IUCR) :

« A material is a crystal if it has **essentially** a sharp diffraction pattern »

→ tous les solides qui ont un ordre à grande distance
(symétrie de translation dans des espaces de **dimension ≥ 3**)



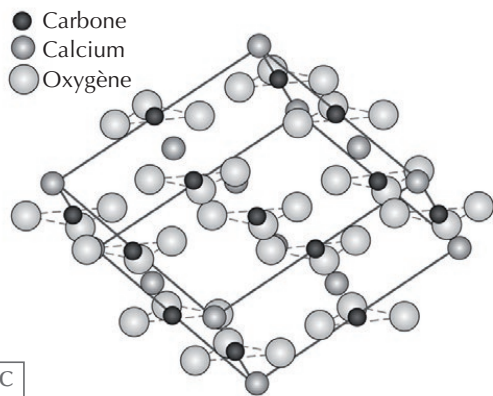
Nature Materials 10, 890–896 (2011)

cf. article de B. Toudic, Reflets de la Physique 2015, vol 44-45

Préambule : les cristaux périodiques

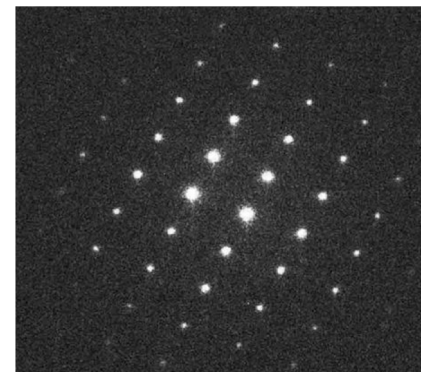
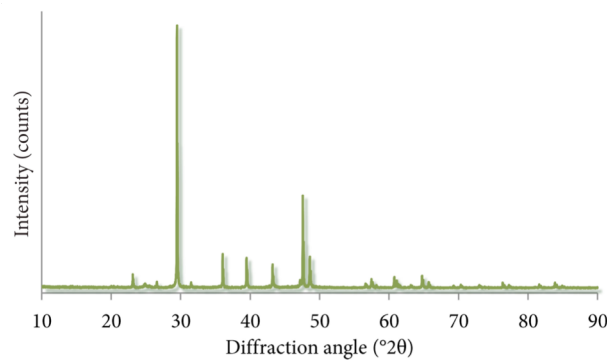
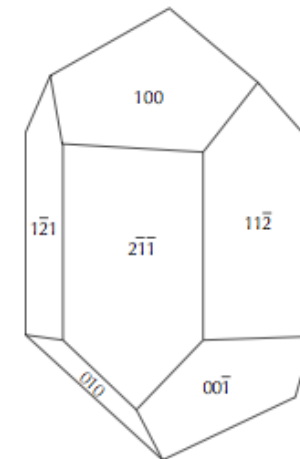
symétrie de translation

ex: CaCO_3 (calcite)



B. Toudic, Reflets de la Physique 2015, vol 44-45

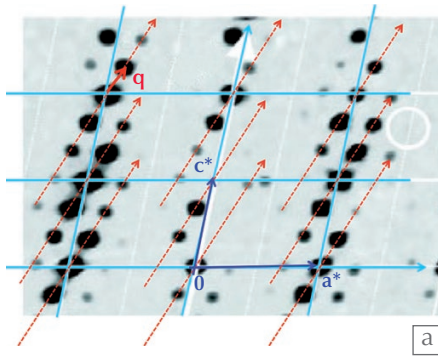
loi des indices
rationnels (1784)



Nature Materials 10, 890–896 (2011)

cristaux incommensurables, phases modulées

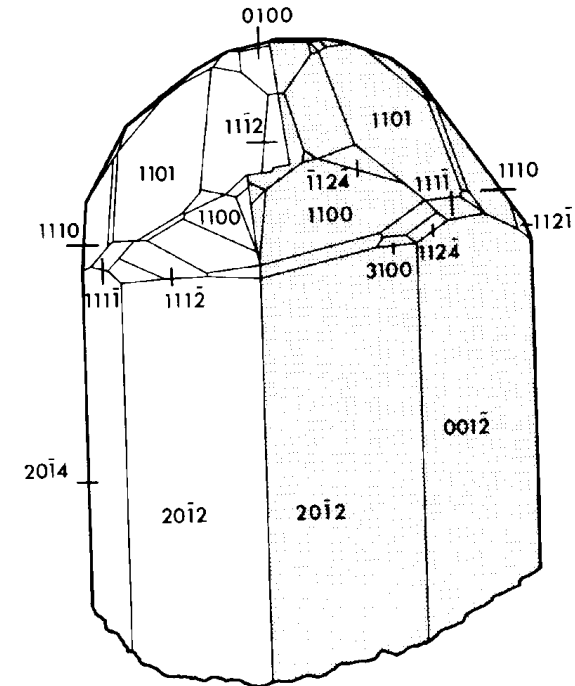
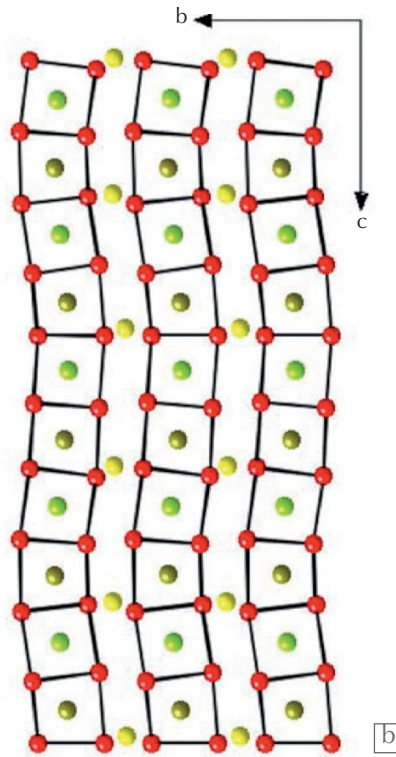
La périodicité (ordre à l'infini) ne peut pas être décrite dans un espace tridimensionnel.



3. Structure incommensurable modulée du carbonate de sodium $\gamma\text{-Na}_2\text{CO}_3$.

(a) Plan de diffraction (a^* , c^*) du réseau réciproque de $\gamma\text{-Na}_2\text{CO}_3$. Il est constitué de pics de Bragg, preuve d'un ordre à grande distance, mais requiert pour son indexation complète un vecteur de base complémentaire, $\mathbf{q} = \alpha \mathbf{a}^* + \gamma \mathbf{c}^*$. On observe les pics de Bragg du réseau périodique moyen (aux sommets des parallélogrammes bleus), et les pics satellites alignés le long des flèches rouges (parallèles à \mathbf{q}).

(b) La solution structurale modulée, projetée selon \mathbf{a} (atomes d'oxygène en rouge, atomes de sodium en jaune et vert, les atomes de carbone sont omis). Une onde statique de déplacements transversaux (parallèles à \mathbf{b}) apparaît dans la direction \mathbf{c} . La longueur d'onde de la modulation est $2\pi/q$.



calaverite $\text{Au}_{1-x}\text{Ag}_x\text{Te}$

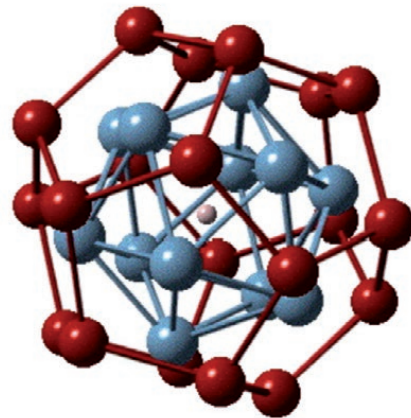
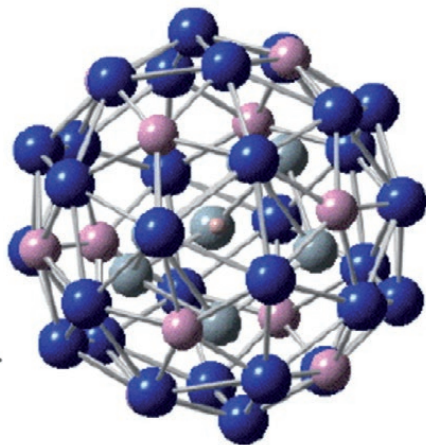
B. Toudic, Reflets de la Physique 2015, vol 44-45

Préambule: les cristaux aperiodiques

pas de symétrie de translation dans un espace à 3D

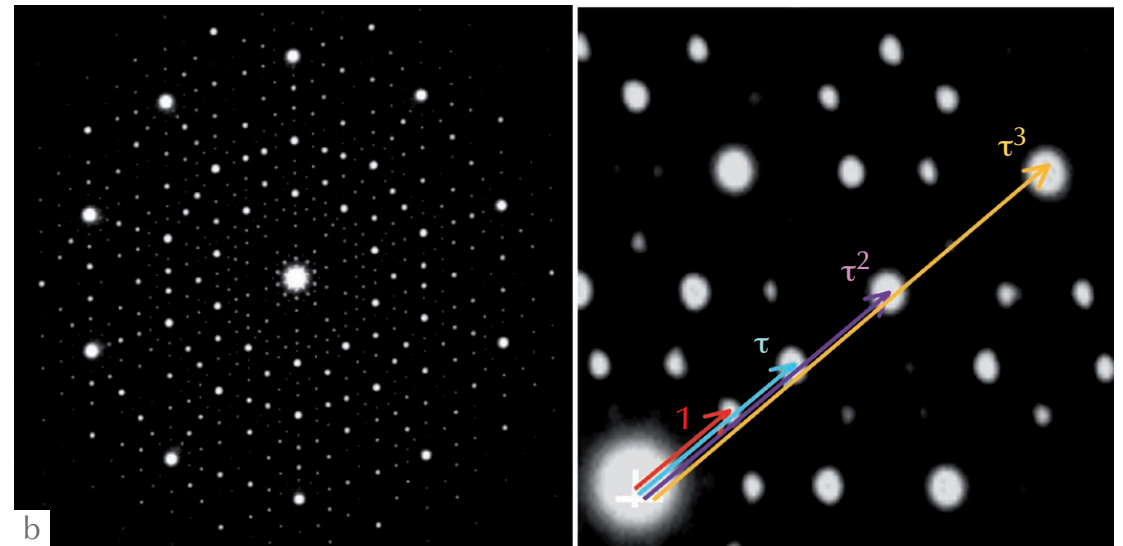
quasicristaux (1982, prix Nobel de chimie en 2011)

ex : alliage AlPdMn



9. Amas atomiques dont est constitué principalement un alliage quasicristallin de type AlMnPd. À gauche, amas de type Mackay (51 atomes) ; à droite, amas de type Bergman (33 atomes).

$$\tau = 2 \cos(2\pi/10)$$

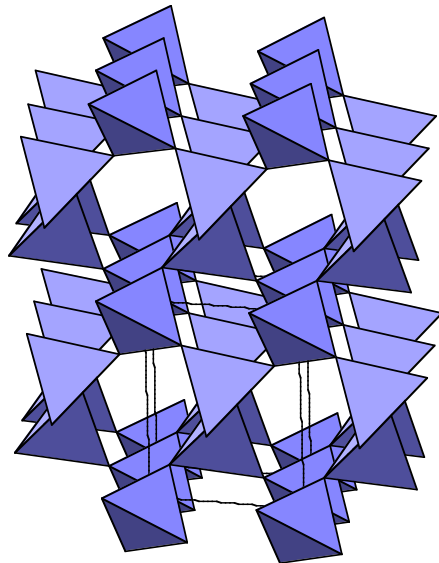


B. Toudic, Reflets de la Physique 2015, vol 44-45

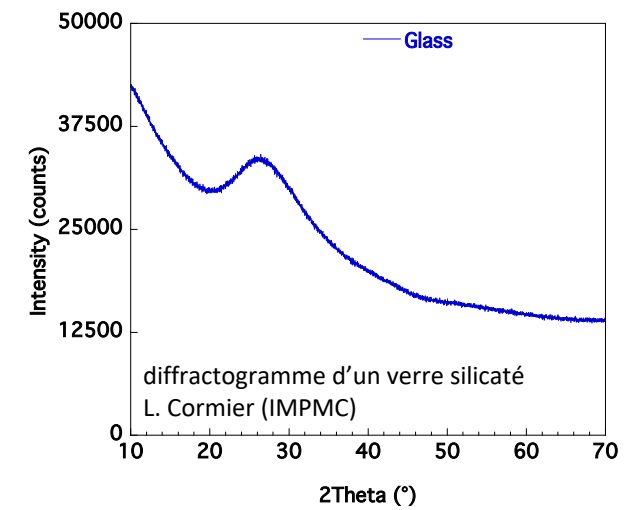
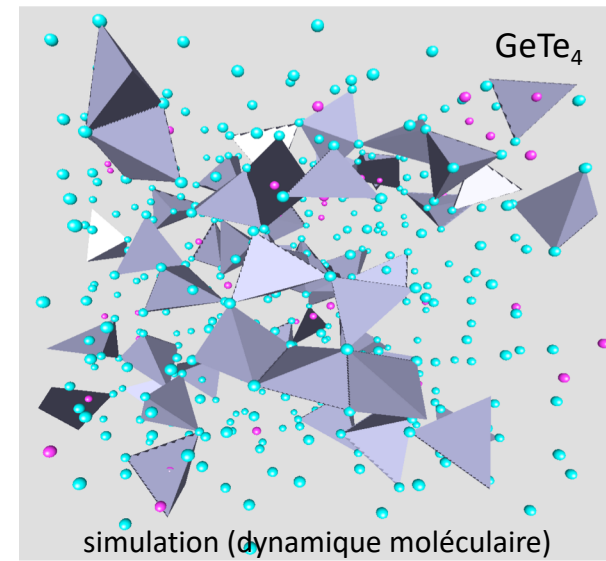
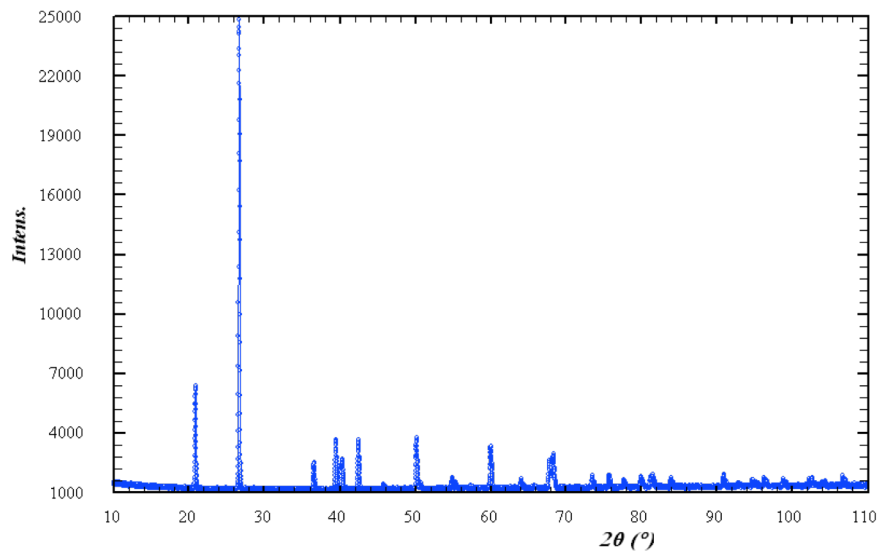
Préambule: qu'est-ce qu'un cristal ?



quartz



cristal \neq verre

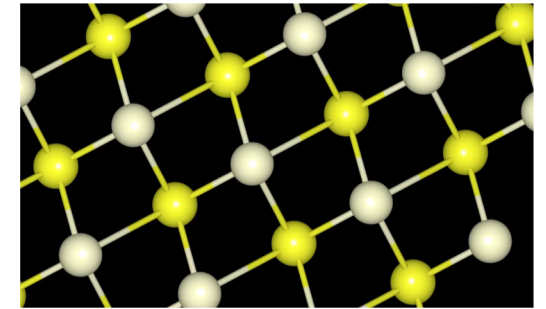


Préambule : qu'est-ce qu'un cristal ?

dans ce cours

Cristal périodique :

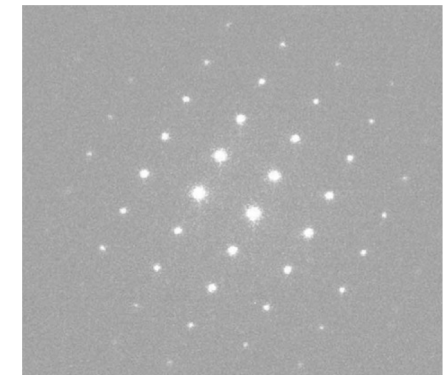
Solide dont la structure microscopique est caractérisée par la **répétition périodique en 3 dimensions** d'un **motif** constitué d'atomes.



Depuis 1992 (IUCR) :

« A material is a crystal if it has **essentially** a sharp diffraction pattern »

→ tous les solides qui ont un ordre à grande distance
(symétrie de translation dans des espaces de **dimension ≥ 3**)



Nature Materials 10, 890–896 (2011)

cf. article de B. Toudic, Reflets de la Physique 2015, vol 44-45

Inorganic Chemistry Article
pubs.acs.org/IC

Crystal Structures of $\text{Li}_6\text{B}_4\text{O}_9$ and $\text{Li}_3\text{B}_{11}\text{O}_{18}$ and Application of the Dimensional Reduction Formalism to Lithium Borates

Gwenaëlle Rousse,^{*,†,‡} Benoît Baptiste,[†] and Gérald Lelong^{*,†}

[†]Institut de Minéralogie, de Physique des Matériaux, et de Cosmochimie (IMPMC), Sorbonne Universités-UPMC Univ Paris 06, UMR CNRS 7590, Muséum National d'Histoire Naturelle, IRD UMR 206, 4 Place Jussieu, F-75005 Paris, France
[‡]FRE 3677, Chimie du Solide et Energie, Collège de France, 11 Place Marcelin Berthelot, and Réseau sur le Stockage Electrochimique de l'Energie (RS2E), FR CNRS 3459, 75231 Paris Cedex 05, France

$\text{Li}_3\text{B}_{11}\text{O}_{18}$ crystallizes in the $P2_1/c$ space group with lattice parameters $a = 17.7607(8) \text{ \AA}$, $b = 7.7737(4) \text{ \AA}$, $c = 9.6731(4) \text{ \AA}$, and $\beta = 100.906(4)^\circ$. The lithium, boron, and oxygen atoms are distributed in the general $4e$ Wyckoff site (see Table 4 for the complete list of atomic positions). The

PHYSICAL REVIEW B **89**, 064305 (2014)

Accuracy of generalized gradient approximation functionals for density-functional perturbation theory calculations

Lianhua He,¹ Fang Liu,² Geoffroy Hautier,^{3,4} Micael J. T. Oliveira,^{3,5} Miguel A. L. Marques,^{3,6} Fernando D. Vila,⁷ J. J. Rehr,⁷ G.-M. Rignanese,^{3,4} and Aihui Zhou¹

The unit cell of α -quartz is trigonal (space group $P3_221$). It contains nine atoms: the Si atoms are located at $(u, 0, 0)$ on the $3a$ Wyckoff sites, while the O atoms are located at (x, y, z) on the $6c$ Wyckoff sites. Hence, four internal coordinates u, x, y, z are required, besides the two lattice constants a and c , in order to completely determine the structure. The theoretical value



The space group of periclase is $Fm\bar{3}m$. The O atom occupies the $4a$ Wyckoff site $(0, 0, 0)$ and the Mg atom is located at $(\frac{1}{2}, \frac{1}{2}, \frac{1}{2})$ occupying the $4b$ Wyckoff sites. In Table II,

PHYSICAL REVIEW B **78**, 195103 (2008)

X-ray linear dichroism in cubic compounds: The case of Cr³⁺ in MgAl₂O₄

Amélie Juhin,^{1,*} Christian Brouder,¹ Marie-Anne Arrio,¹ Delphine Cabaret,¹ Philippe Saintavitt,¹ Etienne Balan,^{1,2}
Amélie Bordage,¹ Ari P. Seitsonen,¹ Georges Calas,¹ Sigrid G. Eeckhout,³ and Pieter Glatzel³

mechanical properties.¹³ In MgAl₂O₄ spinel (*Fd* $\bar{3}m$ space-group symmetry), Al³⁺ cations occur at octahedral sites, which exhibit *D*_{3d} (or $\bar{3}m$) symmetry and build chains aligned along the six twofold axis of the cubic structure.¹⁴

The number of equivalent octahedral sites in the unit cell is four, denoted hereafter as sites A, B, C, and D, depending on their direction of distortion, either $[\bar{1}11]$, $[11\bar{1}]$, $[111]$, or $[1\bar{1}1]$, respectively (Fig. 1 and Table. I). During the Al to Cr

TABLE I. Coordinates of Cr atom and direction of site distortion for the four equivalent substitutional sites belonging to the rhombohedral unit cell. We also give the coordinates of the 12 other sites obtained from the previous by the three translations of the *fcc* lattice (see text and Fig. 1).

Site identification	Direction of site distortion	Cr coordinates in rhombohedral unit cell	Cr coordinates in cubic cell
A	$[\bar{1}11]$	$(\frac{1}{2}, \frac{1}{4}, \frac{1}{4})$	$(\frac{1}{2}, \frac{3}{4}, \frac{3}{4}), (0, \frac{3}{4}, \frac{1}{4}), (0, \frac{1}{4}, \frac{3}{4})$
B	$[11\bar{1}]$	$(\frac{1}{4}, \frac{1}{4}, \frac{1}{2})$	$(\frac{3}{4}, \frac{3}{4}, \frac{1}{2}), (\frac{1}{4}, \frac{3}{4}, 0), (\frac{3}{4}, \frac{1}{4}, 0)$
C	$[111]$	$(\frac{1}{2}, \frac{1}{2}, \frac{1}{2})$	$(0, 0, \frac{1}{2}), (0, \frac{1}{2}, 0), (\frac{1}{2}, 0, 0)$
D	$[1\bar{1}1]$	$(\frac{1}{4}, \frac{1}{2}, \frac{1}{4})$	$(\frac{3}{4}, \frac{1}{2}, \frac{3}{4}), (\frac{1}{4}, 0, \frac{3}{4}), (\frac{3}{4}, 0, \frac{1}{4})$

Objectifs : ce qu'il faudrait connaître à la fin du cours

exemple 3

Extrait de la table du groupe d'espace du spinelle

$Fd\bar{3}m$ O_h^7 $m\bar{3}m$ Cubic

No. 227

$F 4_1/d \bar{3} 2/m$

Patterson symmetry $Fm\bar{3}m$

ORIGIN CHOICE 2

Positions

Multiplicity,
Wyckoff letter,
Site symmetry

Coordinates

$(0,0,0)+ (0, \frac{1}{2}, \frac{1}{2})+ (\frac{1}{2}, 0, \frac{1}{2})+ (\frac{1}{2}, \frac{1}{2}, 0)+$

Reflection conditions

h, k, l permutable

General:

$hkl : h+k=2n$ and
 $h+l, k+l=2n$

$Ok_l : k+l=4n$ and
 $k, l=2n$

$hhl : h+l=2n$
 $h00 : h=4n$

192	i	1	(1) x, y, z	(2) $\bar{x} + \frac{1}{2}, \bar{y} + \frac{1}{2}, z + \frac{1}{2}$	(3) $\bar{x} + \frac{1}{2}, y + \frac{1}{2}, \bar{z} + \frac{1}{2}$	(4) $x + \frac{1}{2}, \bar{y} + \frac{1}{2}, \bar{z} + \frac{1}{2}$	(5) z, x, y	(6) $z + \frac{1}{2}, \bar{x} + \frac{1}{2}, \bar{y} + \frac{1}{2}$	(7) $\bar{z} + \frac{1}{2}, \bar{x} + \frac{1}{2}, y + \frac{1}{2}$	(8) $\bar{z} + \frac{1}{2}, x + \frac{1}{2}, \bar{y} + \frac{1}{2}$
			(9) y, z, x	(10) $\bar{y} + \frac{1}{2}, z + \frac{1}{2}, \bar{x} + \frac{1}{2}$	(11) $y + \frac{1}{2}, \bar{z} + \frac{1}{2}, \bar{x} + \frac{1}{2}$	(12) $\bar{y} + \frac{1}{2}, \bar{z} + \frac{1}{2}, x + \frac{1}{2}$	(13) $y + \frac{1}{2}, x + \frac{1}{2}, \bar{z} + \frac{1}{2}$	(14) $\bar{y}, \bar{x}, \bar{z}$	(15) $y + \frac{1}{2}, \bar{x} + \frac{1}{2}, z + \frac{1}{2}$	(16) $\bar{y} + \frac{1}{2}, x + \frac{1}{2}, z + \frac{1}{2}$
			(17) $x + \frac{3}{4}, z + \frac{1}{4}, \bar{y} + \frac{1}{2}$	(18) $\bar{x} + \frac{1}{2}, z + \frac{3}{4}, y + \frac{1}{4}$	(19) $\bar{x}, \bar{z}, \bar{y}$	(20) $x + \frac{1}{4}, \bar{z} + \frac{1}{2}, y + \frac{3}{4}$	(21) $z + \frac{3}{4}, y + \frac{1}{4}, \bar{x} + \frac{1}{2}$	(22) $z + \frac{1}{4}, \bar{y} + \frac{1}{2}, x + \frac{3}{4}$	(23) $\bar{z} + \frac{1}{2}, y + \frac{3}{4}, x + \frac{1}{4}$	(24) $\bar{z}, \bar{y}, \bar{x}$
			(25) $\bar{x}, \bar{y}, \bar{z}$	(26) $x + \frac{1}{4}, y + \frac{3}{4}, \bar{z} + \frac{1}{2}$	(27) $x + \frac{3}{4}, \bar{y} + \frac{1}{2}, z + \frac{1}{4}$	(28) $\bar{x} + \frac{1}{2}, y + \frac{1}{4}, z + \frac{3}{4}$	(29) $\bar{z}, \bar{x}, \bar{y}$	(30) $\bar{z} + \frac{1}{2}, x + \frac{1}{4}, y + \frac{3}{4}$	(31) $z + \frac{1}{4}, x + \frac{3}{4}, \bar{y} + \frac{1}{2}$	(32) $z + \frac{3}{4}, \bar{x} + \frac{1}{2}, y + \frac{1}{4}$
			(33) $\bar{y}, \bar{z}, \bar{x}$	(34) $y + \frac{1}{4}, \bar{z} + \frac{1}{2}, x + \frac{3}{4}$	(35) $\bar{y} + \frac{1}{2}, z + \frac{1}{4}, x + \frac{3}{4}$	(36) $y + \frac{1}{4}, z + \frac{3}{4}, \bar{x} + \frac{1}{2}$	(37) $\bar{y} + \frac{1}{4}, \bar{x} + \frac{3}{4}, z + \frac{1}{2}$	(38) y, x, z	(39) $\bar{y} + \frac{1}{2}, x + \frac{1}{4}, \bar{z} + \frac{1}{2}$	(40) $y + \frac{1}{4}, \bar{x} + \frac{1}{2}, \bar{z} + \frac{1}{2}$
			(41) $\bar{x} + \frac{1}{4}, \bar{z} + \frac{3}{4}, y + \frac{1}{2}$	(42) $x + \frac{1}{2}, \bar{z} + \frac{1}{4}, \bar{y} + \frac{3}{4}$	(43) x, z, y	(44) $\bar{x} + \frac{3}{4}, z + \frac{1}{2}, \bar{y} + \frac{1}{4}$	(45) $\bar{z} + \frac{1}{4}, \bar{y} + \frac{3}{4}, x + \frac{1}{2}$	(46) $\bar{z} + \frac{3}{4}, y + \frac{1}{2}, \bar{x} + \frac{1}{4}$	(47) $z + \frac{1}{2}, \bar{y} + \frac{1}{4}, \bar{x} + \frac{1}{4}$	(48) z, y, x

Special: as above, plus

no extra conditions

96	h	$\dots 2$	$0, y, \bar{y}$	$\frac{3}{4}, \bar{y} + \frac{1}{4}, y + \frac{1}{2}$	$\frac{1}{4}, y + \frac{1}{2}, y + \frac{3}{4}$	$\frac{1}{2}, \bar{y} + \frac{3}{4}, y + \frac{1}{4}$
			$\bar{y}, 0, y$	$\bar{y} + \frac{1}{2}, \frac{3}{4}, \bar{y} + \frac{1}{4}$	$y + \frac{3}{4}, \frac{1}{4}, y + \frac{1}{2}$	$y + \frac{1}{4}, \frac{1}{2}, \bar{y} + \frac{3}{4}$
			$y, \bar{y}, 0$	$\bar{y} + \frac{1}{4}, \bar{y} + \frac{1}{2}, \frac{3}{4}$	$y + \frac{1}{2}, y + \frac{3}{4}, \frac{1}{4}$	$\bar{y} + \frac{3}{4}, y + \frac{1}{4}, \frac{1}{2}$
			$0, \bar{y}, y$	$\frac{1}{4}, y + \frac{3}{4}, y + \frac{1}{2}$	$\frac{3}{4}, \bar{y} + \frac{1}{2}, \bar{y} + \frac{1}{4}$	$\frac{1}{2}, y + \frac{1}{4}, \bar{y} + \frac{3}{4}$
			$y, 0, \bar{y}$	$y + \frac{1}{2}, \frac{1}{4}, y + \frac{3}{4}$	$\bar{y} + \frac{1}{4}, \frac{3}{4}, \bar{y} + \frac{1}{2}$	$\bar{y} + \frac{3}{4}, \frac{1}{2}, y + \frac{1}{4}$
			$\bar{y}, y, 0$	$y + \frac{3}{4}, y + \frac{1}{2}, \frac{1}{4}$	$\bar{y} + \frac{1}{2}, \bar{y} + \frac{1}{4}, \frac{3}{4}$	$y + \frac{1}{4}, \bar{y} + \frac{3}{4}, \frac{1}{2}$

96	g	$\dots m$	x, x, z	$\bar{x} + \frac{3}{4}, \bar{x} + \frac{1}{4}, z + \frac{1}{2}$	$\bar{x} + \frac{1}{4}, x + \frac{1}{2}, \bar{z} + \frac{3}{4}$	$x + \frac{1}{2}, \bar{x} + \frac{3}{4}, \bar{z} + \frac{1}{4}$
			z, x, x	$z + \frac{1}{2}, \bar{x} + \frac{3}{4}, \bar{x} + \frac{1}{4}$	$\bar{z} + \frac{3}{4}, \bar{x} + \frac{1}{4}, x + \frac{1}{2}$	$\bar{z} + \frac{1}{4}, x + \frac{1}{2}, \bar{x} + \frac{3}{4}$
			x, z, x	$\bar{x} + \frac{1}{4}, z + \frac{1}{2}, \bar{x} + \frac{3}{4}$	$x + \frac{1}{2}, \bar{z} + \frac{3}{4}, \bar{x} + \frac{1}{4}$	$\bar{x} + \frac{3}{4}, \bar{z} + \frac{1}{4}, x + \frac{1}{2}$
			$x + \frac{3}{4}, x + \frac{1}{4}, \bar{z} + \frac{1}{2}$	$\bar{x}, \bar{x}, \bar{z}$	$x + \frac{1}{4}, \bar{x} + \frac{1}{2}, z + \frac{3}{4}$	$\bar{x} + \frac{1}{4}, x + \frac{3}{4}, z + \frac{1}{4}$
			$x + \frac{1}{4}, z + \frac{1}{4}, \bar{x} + \frac{1}{2}$	$\bar{x} + \frac{1}{2}, z + \frac{3}{4}, x + \frac{1}{4}$	$\bar{x}, \bar{z}, \bar{x}$	$x + \frac{1}{2}, x + \frac{3}{4}, z + \frac{1}{4}$
			$z + \frac{3}{4}, x + \frac{1}{4}, \bar{x} + \frac{1}{2}$	$z + \frac{1}{2}, \bar{x} + \frac{1}{2}, x + \frac{3}{4}$	$\bar{z} + \frac{1}{2}, x + \frac{3}{4}, x + \frac{1}{4}$	$\bar{z}, \bar{x}, \bar{x}$

no extra conditions

48	f	$2 \cdot mm$	$x, \frac{1}{8}, \frac{1}{8}$	$\bar{x} + \frac{3}{8}, \frac{1}{8}, \frac{5}{8}$	$\frac{1}{8}, x, \frac{1}{8}$	$\frac{5}{8}, \bar{x} + \frac{3}{8}, \frac{1}{8}$	$\frac{1}{8}, \frac{1}{8}, x$	$\frac{1}{8}, \frac{5}{8}, \bar{x} + \frac{3}{8}$
			$\frac{7}{8}, x + \frac{1}{4}, \frac{3}{8}$	$\frac{7}{8}, \bar{x}, \frac{7}{8}$	$x + \frac{3}{4}, \frac{3}{8}, \frac{3}{8}$	$\bar{x} + \frac{1}{2}, \frac{7}{8}, \frac{3}{8}$	$\frac{7}{8}, \frac{3}{8}, \bar{x} + \frac{1}{2}$	$\frac{3}{8}, \frac{3}{8}, x + \frac{3}{4}$

$hkl : h=2n+1$
or $h+k+l=4n$

32	e	$\dots 3m$	x, x, x	$\bar{x} + \frac{3}{4}, \bar{x} + \frac{1}{4}, x + \frac{1}{2}$	$x + \frac{1}{2}, \bar{x} + \frac{3}{4}, \bar{x} + \frac{1}{4}$
			$\bar{x} + \frac{1}{4}, x + \frac{1}{2}, \bar{x} + \frac{3}{4}$	$x + \frac{3}{4}, x + \frac{1}{4}, \bar{x} + \frac{1}{2}$	$\bar{x}, \bar{x}, \bar{x}$
			$x + \frac{3}{4}, x + \frac{1}{4}, \bar{x} + \frac{1}{2}$	$\bar{x}, \bar{x}, \bar{x}$	
			$x + \frac{1}{4}, \bar{x} + \frac{1}{2}, x + \frac{3}{4}$	$\bar{x} + \frac{1}{2}, x + \frac{3}{4}, x + \frac{1}{4}$	

no extra conditions

16	d	$\dots \bar{3}m$	$\frac{1}{2}, \frac{1}{2}, \frac{1}{2}$	$\frac{1}{4}, \frac{3}{4}, 0$	$\frac{3}{4}, 0, \frac{1}{4}$	$0, \frac{1}{4}, \frac{3}{4}$
16	c	$\dots \bar{3}m$	$0, 0, 0$	$\frac{3}{4}, \frac{1}{4}, \frac{1}{2}$	$\frac{1}{4}, \frac{1}{2}, \frac{3}{4}$	$\frac{1}{2}, \frac{3}{4}, \frac{1}{4}$

$hkl : h=2n+1$
or $h, k, l=4n+2$
or $h, k, l=4n$

8	b	$\dots \bar{4}3m$	$\frac{3}{8}, \frac{3}{8}, \frac{3}{8}$	$\frac{1}{8}, \frac{5}{8}, \frac{1}{8}$	
8	a	$\dots \bar{4}3m$	$\frac{1}{8}, \frac{1}{8}, \frac{1}{8}$	$\frac{7}{8}, \frac{3}{8}, \frac{3}{8}$	

$hkl : h=2n+1$
or $h+k+l=4n$

Objectifs : ce qu'il faudrait connaître à la fin du cours

Table du groupe d'espace du borate de Li

$P2_1/c$ **C_{2h}^5** **$2/m$** **Monoclinic**

No. 14 $P12_1/c1$ Patterson symmetry $P12/m1$

UNIQUE AXIS b , CELL CHOICE 1

Origin at $\bar{1}$

Asymmetric unit $0 \leq x \leq 1; 0 \leq y \leq \frac{1}{2}; 0 \leq z \leq 1$

Symmetry operations

(1) 1 (2) $2(0, \frac{1}{2}, 0)$ $0, y, \frac{1}{2}$ (3) $\bar{1}$ $0, 0, 0$ (4) c $x, \frac{1}{2}, z$

CONTINUED No. 14 $P2_1/c$

Generators selected (1); $t(1,0,0)$; $t(0,1,0)$; $t(0,0,1)$; (2); (3)

Positions	Coordinates	Reflection conditions
Multiplicity, Wyckoff letter, Site symmetry		General:
4 e 1	(1) x, y, z (2) $\bar{x}, y + \frac{1}{2}, \bar{z} + \frac{1}{2}$ (3) $\bar{x}, \bar{y}, \bar{z}$ (4) $x, \bar{y} + \frac{1}{2}, z + \frac{1}{2}$	$h0l : l = 2n$ $0k0 : k = 2n$ $00l : l = 2n$
2 d $\bar{1}$	$\frac{1}{2}, 0, \frac{1}{2}$ $\frac{1}{2}, \frac{1}{2}, 0$	Special: as above, plus $hkl : k + l = 2n$
2 c $\bar{1}$	$0, 0, \frac{1}{2}$ $0, \frac{1}{2}, 0$	$hkl : k + l = 2n$
2 b $\bar{1}$	$\frac{1}{2}, 0, 0$ $\frac{1}{2}, \frac{1}{2}, \frac{1}{2}$	$hkl : k + l = 2n$
2 a $\bar{1}$	$0, 0, 0$ $0, \frac{1}{2}, \frac{1}{2}$	$hkl : k + l = 2n$

Symmetry of special projections

Along $[001]$ $p2gm$ $a' = a_p$ $b' = b$ $c' = c_p$ Origin at $0, 0, z$

Along $[100]$ $p2gg$ $a' = b$ $b' = c_p$ Origin at $x, 0, 0$

Along $[010]$ $p2$ $a' = \frac{1}{2}c$ $b' = a$ Origin at $0, y, 0$

Maximal non-isomorphic subgroups

I [2] $P1c1$ (Pc , 7) 1; 4
 [2] $P12_1$ ($P2_1$, 4) 1; 2
 [2] $P\bar{1}$ (2) 1; 3

IIa none
IIb none

Maximal isomorphic subgroups of lowest index

IIc [2] $P12_1/c1$ ($a' = 2a$ or $a' = 2a, c' = 2a + c$) ($P2_1/c$, 14); [3] $P12_1/c1$ ($b' = 3b$) ($P2_1/c$, 14)

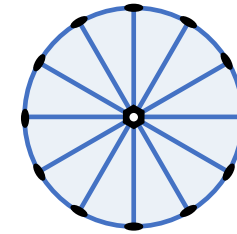
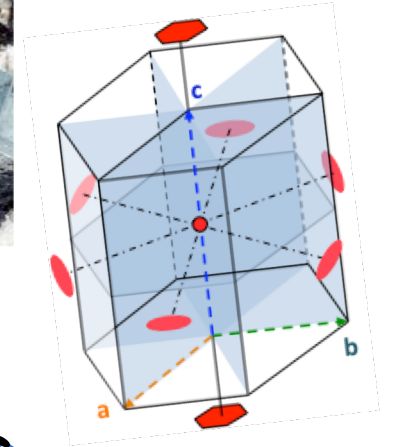
Minimal non-isomorphic supergroups

I [2] $Pnna$ (52); [2] $Pmna$ (53); [2] $Pcca$ (54); [2] $Pbam$ (55); [2] $Pccn$ (56); [2] $Pbcm$ (57); [2] $Pnmm$ (58); [2] $Pbcn$ (60); [2] $Pbca$ (61); [2] $Pnma$ (62); [2] $Cmce$ (64)

II [2] $A12/m1$ ($C2/m$, 12); [2] $C12/c1$ ($C2/c$, 15); [2] $I12/c1$ ($C2/c$, 15); [2] $P12_1/m1$ ($c' = \frac{1}{2}c$) ($P2_1/m$, 11); [2] $P12/c1$ ($b' = \frac{1}{2}b$) ($P2/c$, 13)

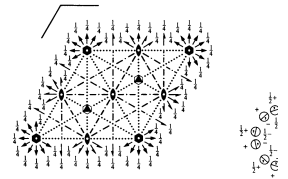
Plan du cours

- 1- Observation des symétries des cristaux naturels
- 2- Cause interne de la forme des cristaux naturels
- 3 - Réseau, maille, motif
- 4 – Rangées et plans réticulaires
- 5 – Réseau réciproque
- 6 - Réseau et symétries
- 7 - Maille conventionnelle
- 8 – Projection stéréographique
- 9 – Roto-inversions
- 10 – Les 32 groupes ponctuels cristallographiques
- 11 – Les 7 systèmes cristallins
- 12 – Les 14 réseaux de Bravais
- 13 – Les 230 groupes d'espace

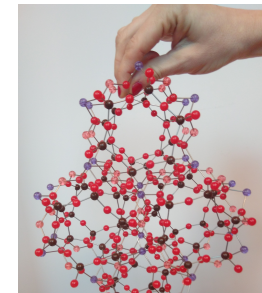


$\frac{6}{m}$ mm

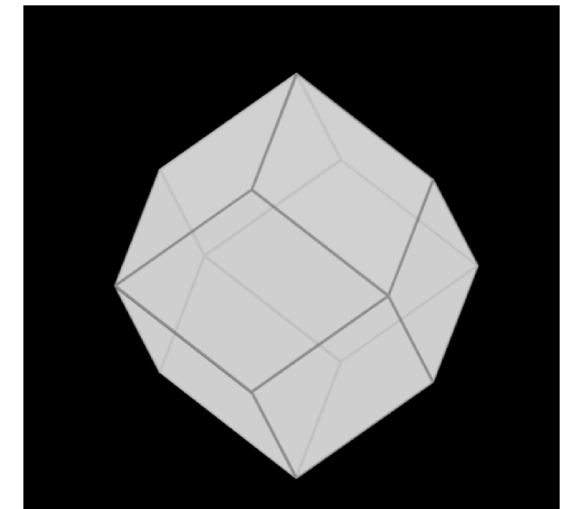
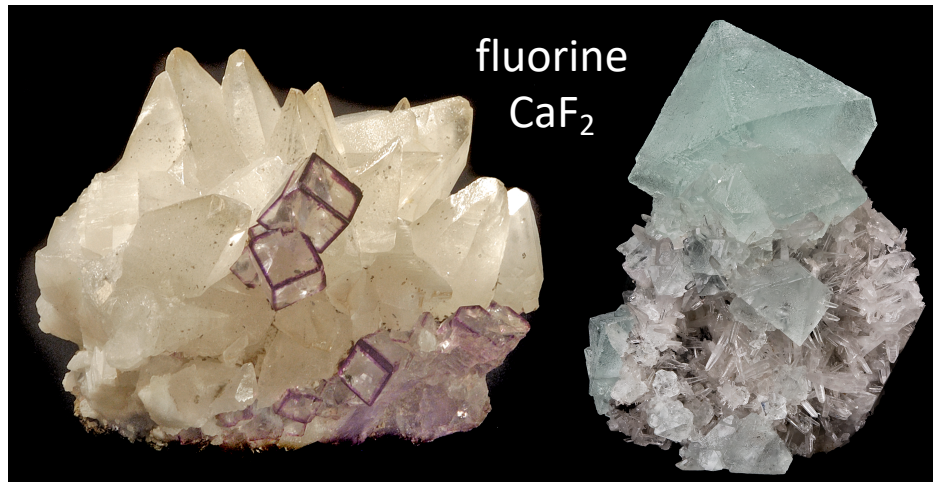
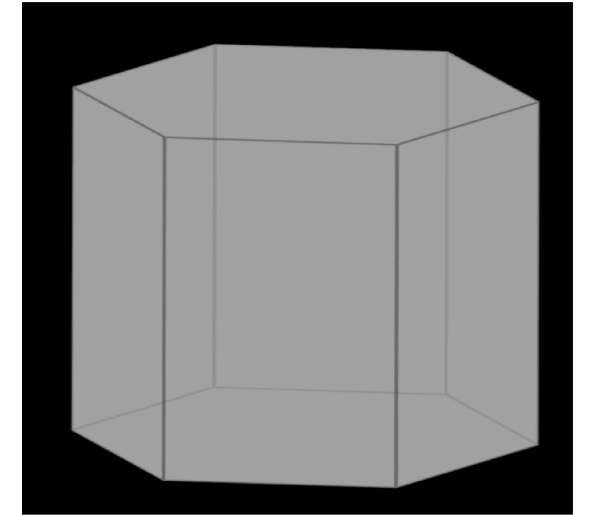
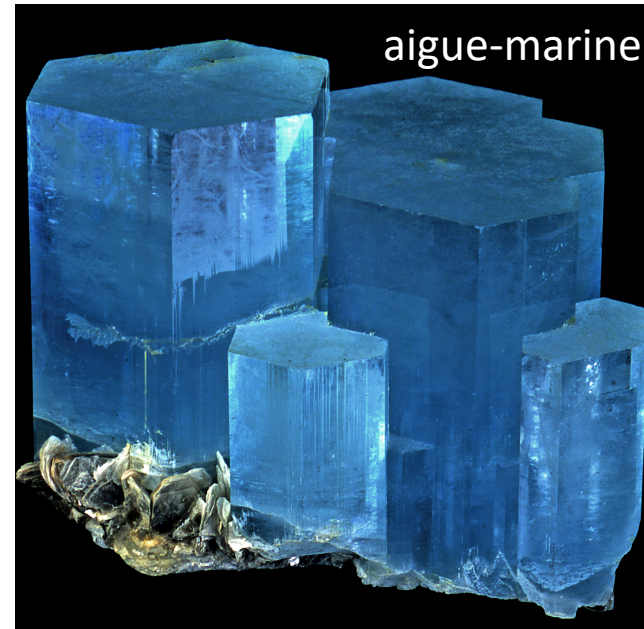
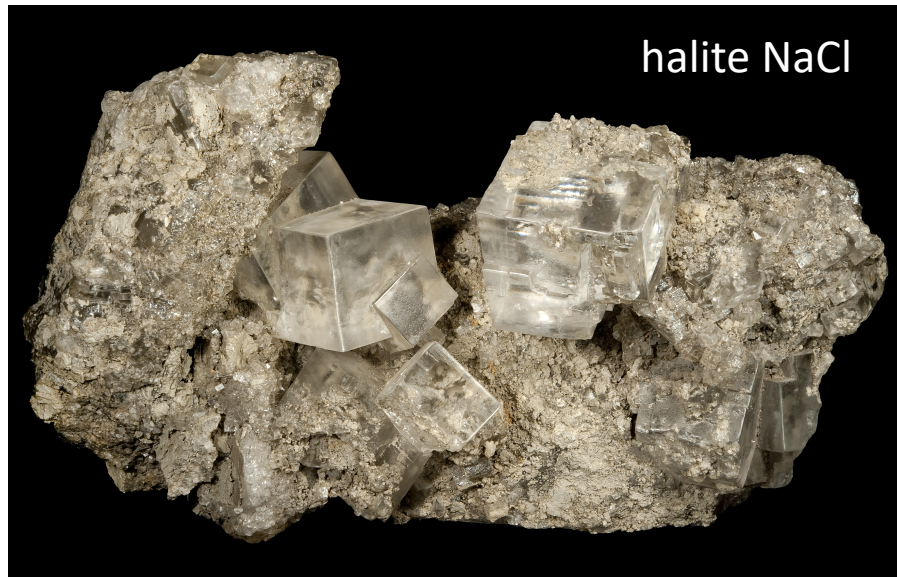
$P6/mcc$ D_{6h}^2
No. 192 $P 6/m 2/c 2/c$



Origin at centre (6/m) at 6/mcc

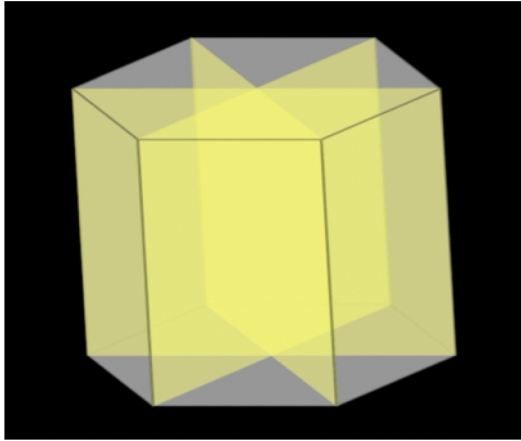


1- Observation des symétries des cristaux naturels



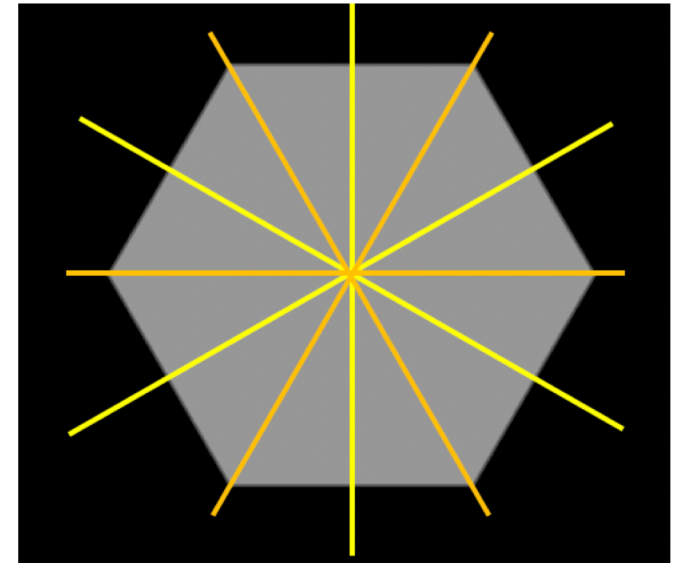
1- Observation des symétries des cristaux naturels

Mise en évidence de plans miroir



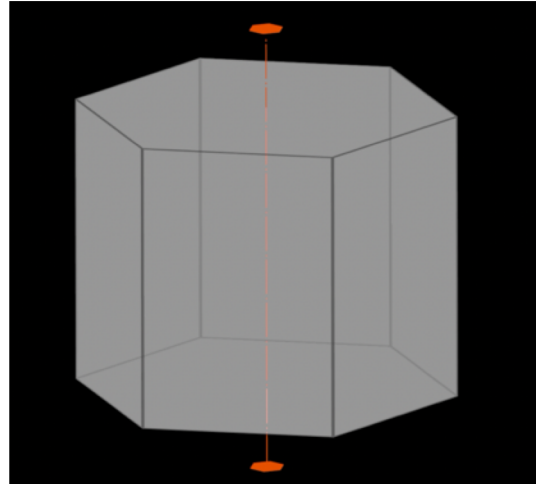
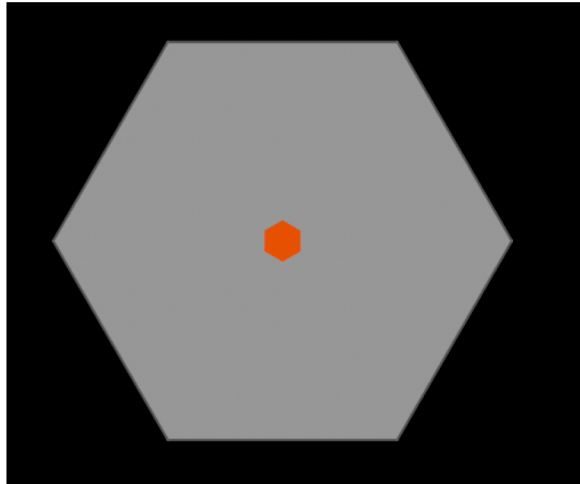
- **3 miroirs**
parallèles aux arêtes latérales
et coupant les arêtes
de la base hexagonale
en leurs milieux

- **3 miroirs**
parallèles aux arêtes latérales
et joignant deux sommets
opposés dans la base hexagonale



1- Observation des symétries des cristaux naturels

Mise en évidence d'un axe de rotation d'ordre 6



axe A_6 ou 6

$$\varphi = 60^\circ = \frac{2\pi}{6}$$

1- Observation des symétries des cristaux naturels

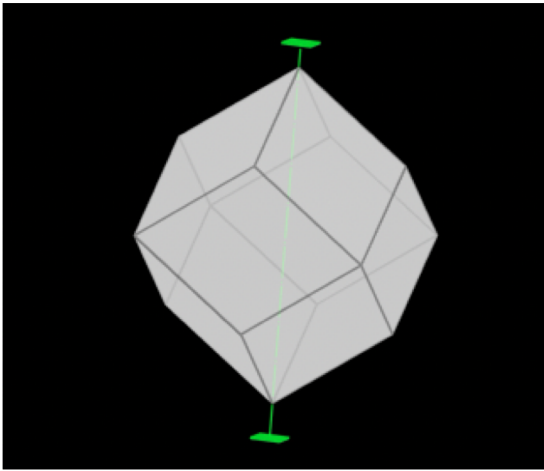
Mise en évidence d'axes de rotation d'ordres 4, 3 et 2



rhombododécaèdre
(polyèdre à 12 faces)

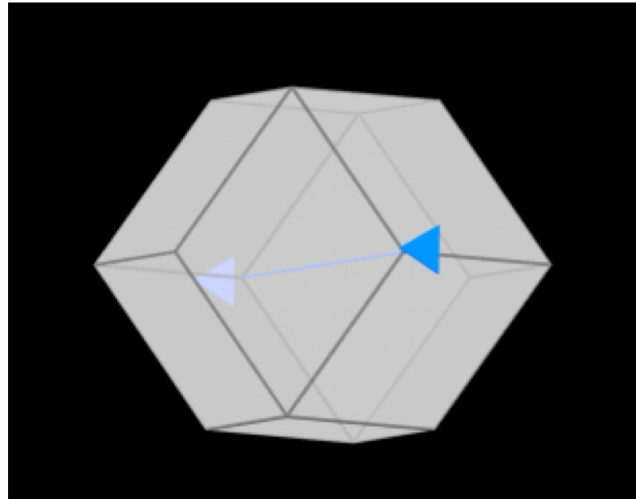
1- Observation des symétries des cristaux naturels

Mise en évidence d'axes de rotation d'ordres 4, 3 et 2



axe A₄ ou 4

$$\varphi = 90^\circ = \frac{2\pi}{4}$$

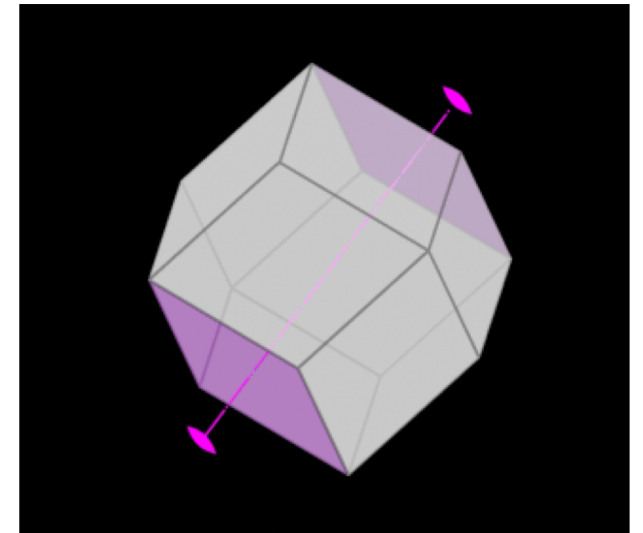


axe A₃ ou 3

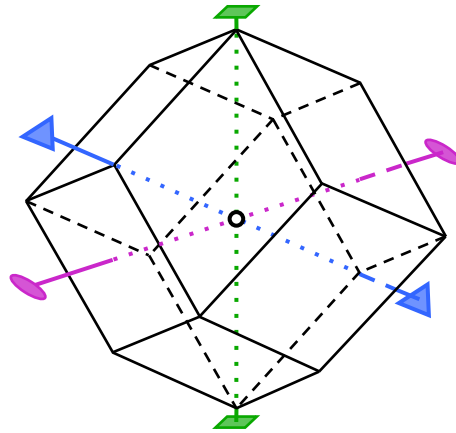
$$\varphi = 120^\circ = \frac{2\pi}{3}$$

axe A₂ ou 2

$$\varphi = 180^\circ = \frac{2\pi}{2}$$



1- Observation des symétries des cristaux naturels



axes de rotation

A_2

A_3

A_4

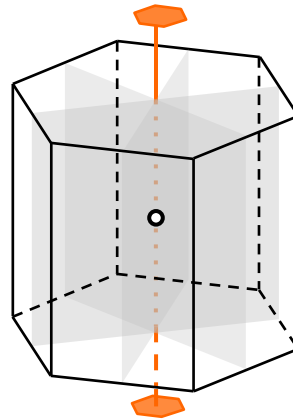
A_6

miroir

M

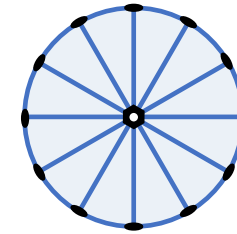
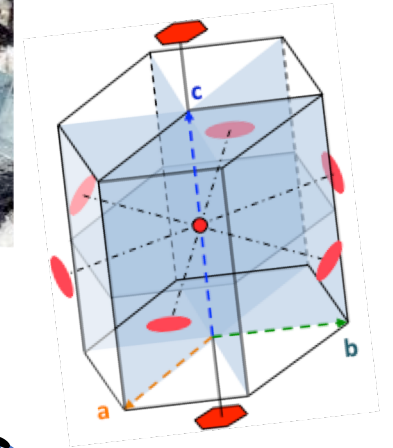
centre de symétrie

C



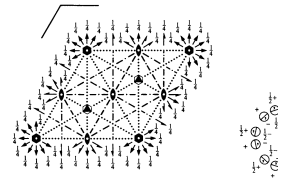
Plan du cours

- 1- Observation des symétries des cristaux naturels
- 2- Cause interne de la forme des cristaux naturels
- 3 - Réseau, maille, motif
- 4 – Rangées et plans réticulaires
- 5 – Réseau réciproque
- 6 - Réseau et symétries
- 7 - Maille conventionnelle
- 8 – Projection stéréographique
- 9 – Roto-inversions
- 10 – Les 32 groupes ponctuels cristallographiques
- 11 – Les 7 systèmes cristallins
- 12 – Les 14 réseaux de Bravais
- 13 – Les 230 groupes d'espace

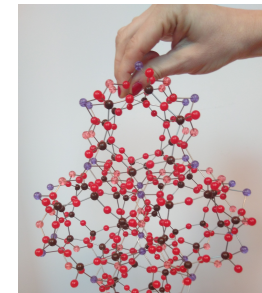


$$\frac{6}{m} \text{ mm}$$

$P6/mcc$ D_{6h}^2
No. 192 $P 6/m 2/c 2/c$

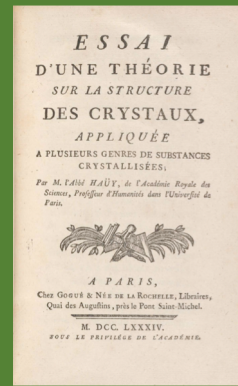


Origin at centre (6/m) at 6/mcc



2- Cause interne de la forme des cristaux naturels

René Just Haüy
(1784)



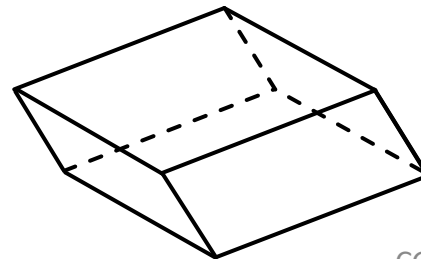
Jean-Baptiste
Romé de l'Isle



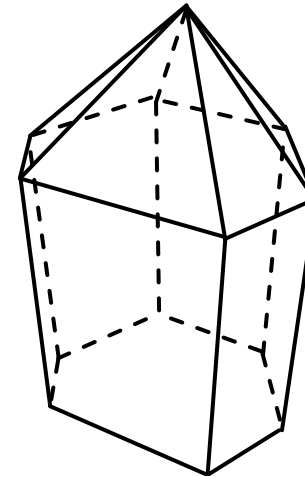
Torbern Bergman



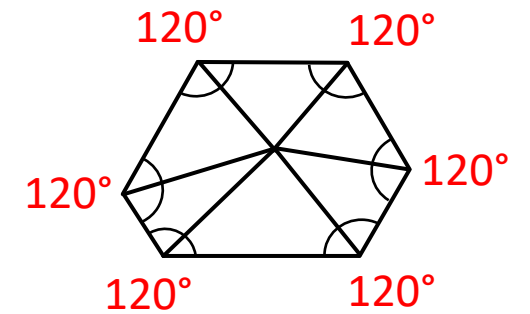
Rhomboèdre



Loi de constance des angles

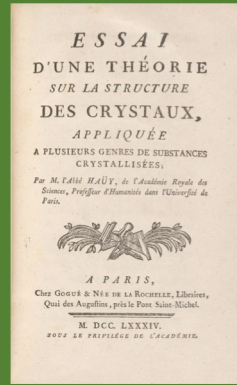


cristal de quartz



2- Cause interne de la forme des cristaux naturels

René Just Haüy
(1784)



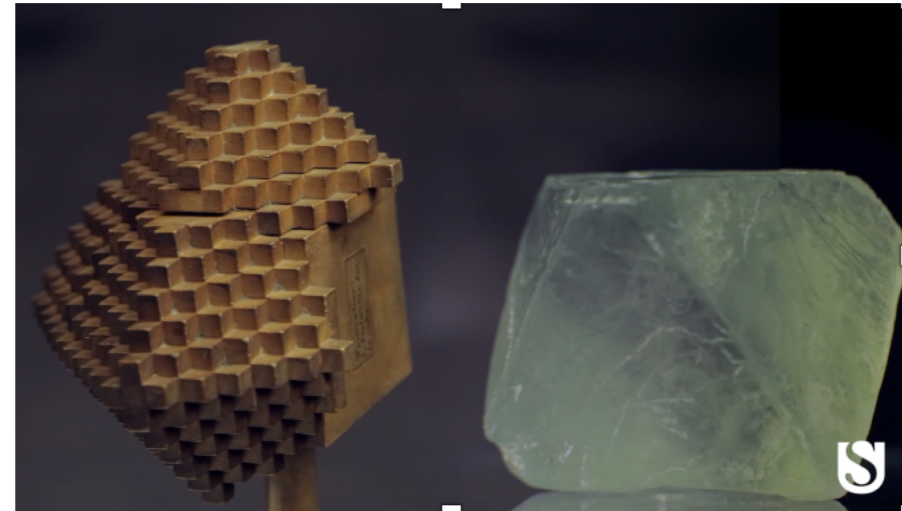
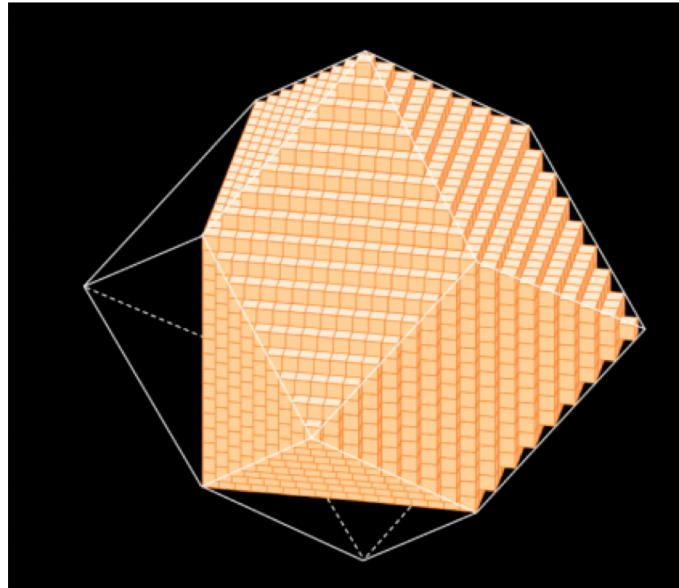
solide primitif



molécule intégrante

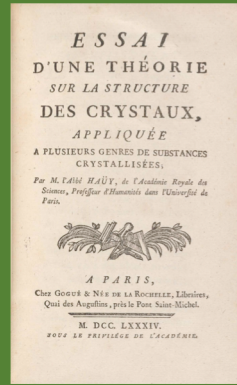


loi des décroissements rationnels



2- Cause interne de la forme des cristaux naturels

René Just Haüy
(1784)



solide primitif

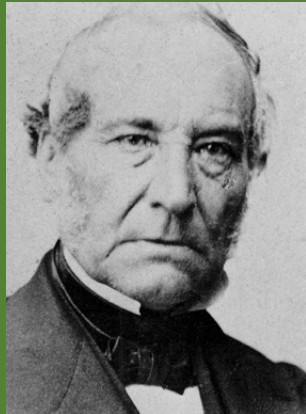


molécule intégrante



loi des décroissements rationnels

Gabriel Delafosse



maille

réseau

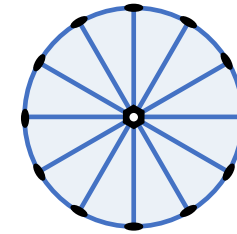
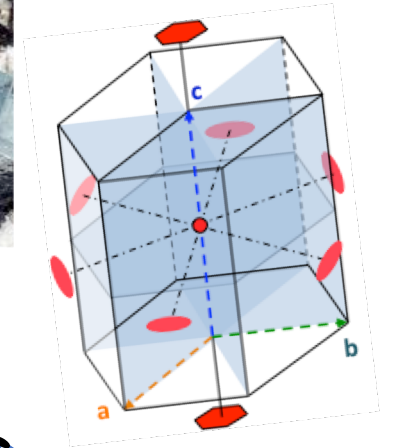
motif



Auguste Bravais
(1848)

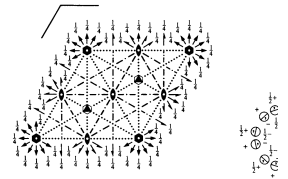
Plan du cours

- 1- Observation des symétries des cristaux naturels
- 2- Cause interne de la forme des cristaux naturels
- 3 - Réseau, maille, motif
- 4 – Rangées et plans réticulaires
- 5 – Réseau réciproque
- 6 - Réseau et symétries
- 7 - Maille conventionnelle
- 8 – Projection stéréographique
- 9 – Roto-inversions
- 10 – Les 32 groupes ponctuels cristallographiques
- 11 – Les 7 systèmes cristallins
- 12 – Les 14 réseaux de Bravais
- 13 – Les 230 groupes d'espace

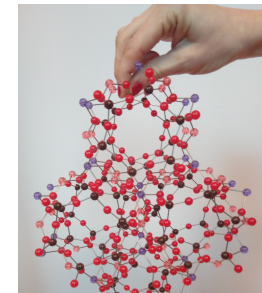


$$\frac{6}{m} \text{ mm}$$

$P6/mcc$ D_{6h}^2
No. 192 $P 6/m 2/c 2/c$



Origin at centre (6/m) at 6/mcc



3 - Réseau, maille, motif



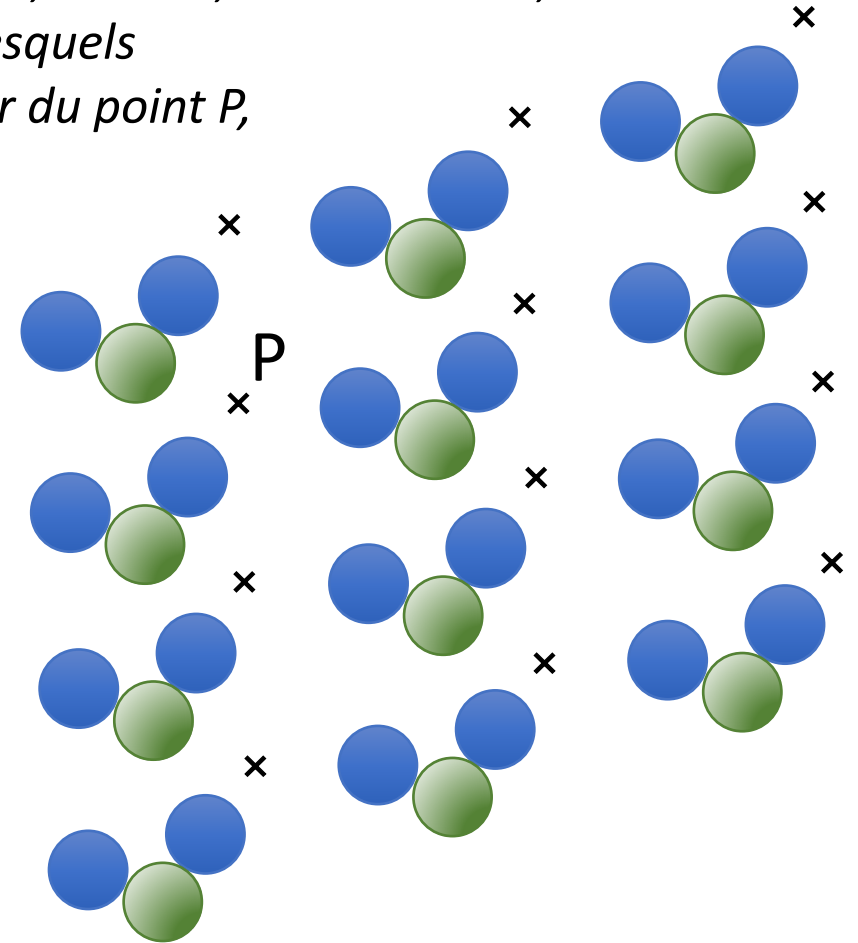
le postulat de Bravais

« Etant donné un point P quelconque dans un cristal, il existe, dans le milieu, une **infinité discrète, illimitée**, de **points** autour desquels l'arrangement de la matière est le même qu'autour du point P , et ce, avec la même orientation. »

Les points obéissant au postulat de Bravais sont appelés **nœuds**.

NB : Les **nœuds** ne correspondent à aucune entité physique et ne doivent pas être confondus avec les atomes.

L'ensemble des **nœuds** constitue le **réseau**.



3 - Réseau, maille, motif

réseau → vecteurs de base

Le réseau est défini, à 3D, par **3 vecteurs de base** notés \vec{a} , \vec{b} et \vec{c} et non colinéaires.

Tous les nœuds du réseau sont obtenus par la **combinaison linéaire** :

$$\vec{t} = u \vec{a} + v \vec{b} + w \vec{c}$$

u, v, w : entiers relatifs

translation de réseau

3 - Réseau, maille, motif

réseau → comment repérer les nœuds

$$\vec{t} = \vec{a} + \vec{b} + \vec{c}$$

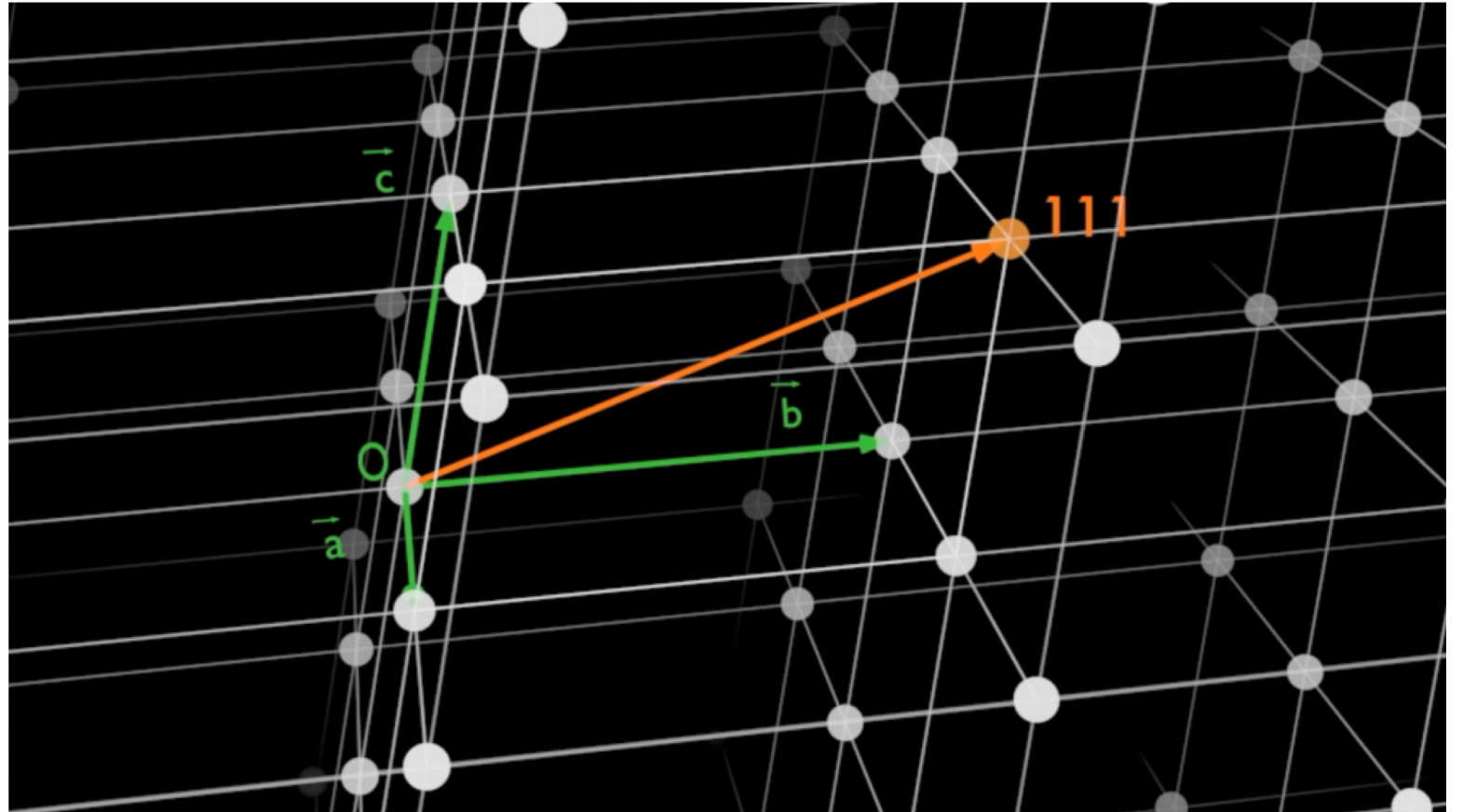
→ nœud 111

$$\vec{t} = -\vec{a} + 2\vec{b}$$

→ nœud $\bar{1}20$

$$\vec{t} = \vec{a} - \vec{b} + 2\vec{c}$$

→ nœud $1\bar{1}2$



3 - Réseau, maille, motif

vecteurs de base → maille

3 vecteurs de base : \vec{a} , \vec{b} et \vec{c}

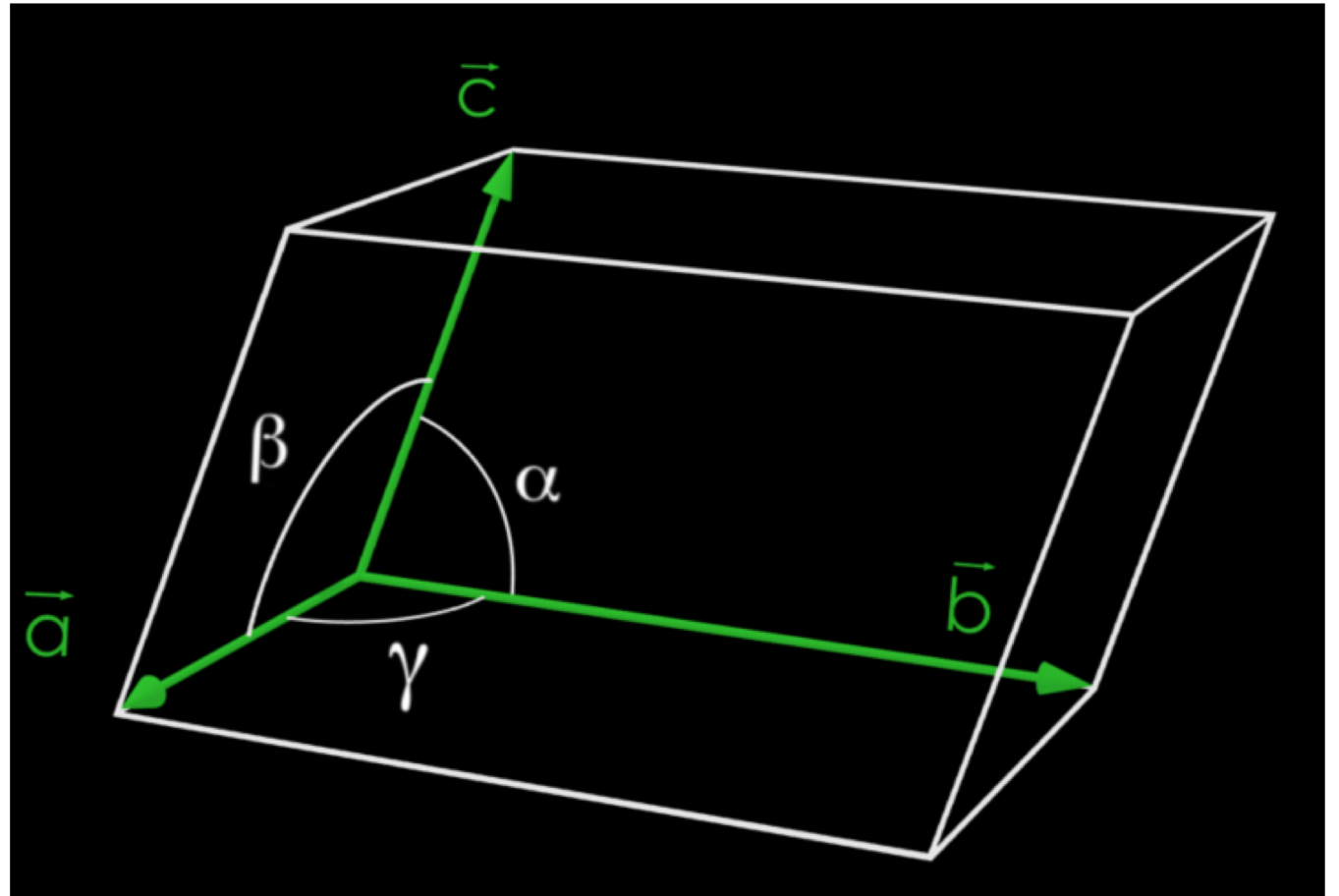


6 paramètres :

- les 3 longueurs a , b , c
- les 3 angles α , β et γ

volume :

$$V = (\vec{a}, \vec{b}, \vec{c}) = \vec{a} \cdot (\vec{b} \times \vec{c})$$



3 - Réseau, maille, motif

maille à 2D

2 vecteurs de base : \vec{a} et \vec{b}

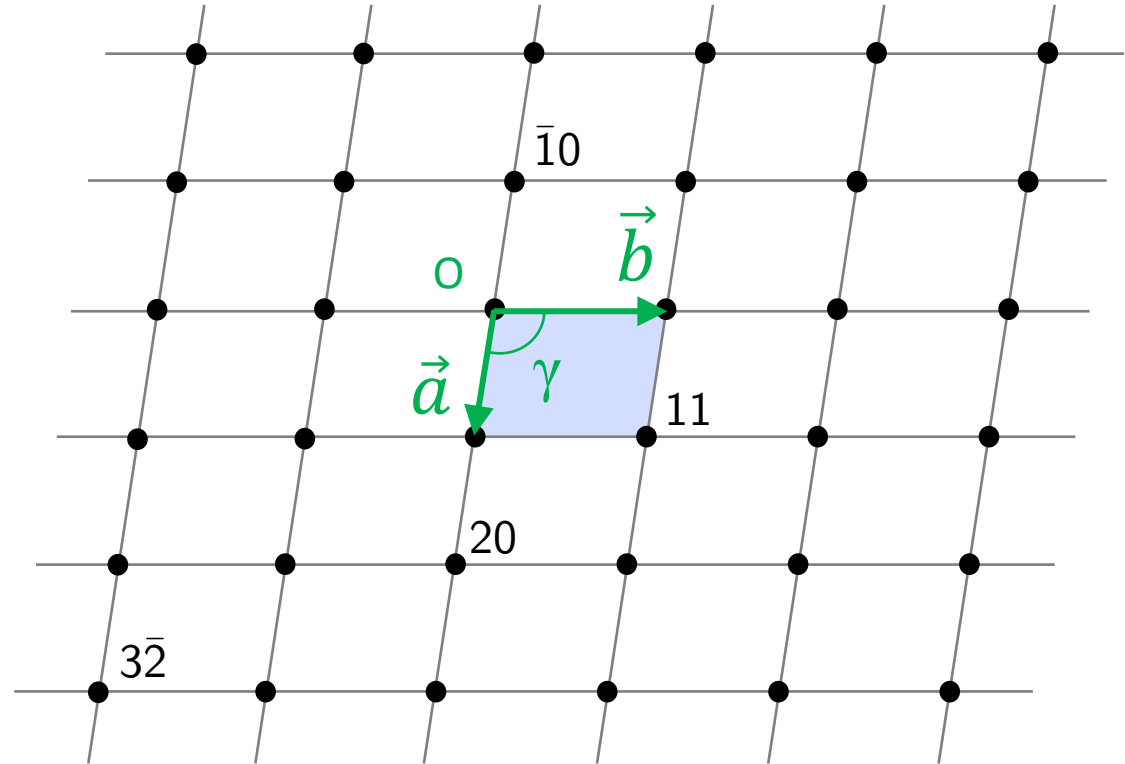


3 paramètres :

- les 2 longueurs a, b
- l'angle $\gamma \geq 90^\circ$

surface :

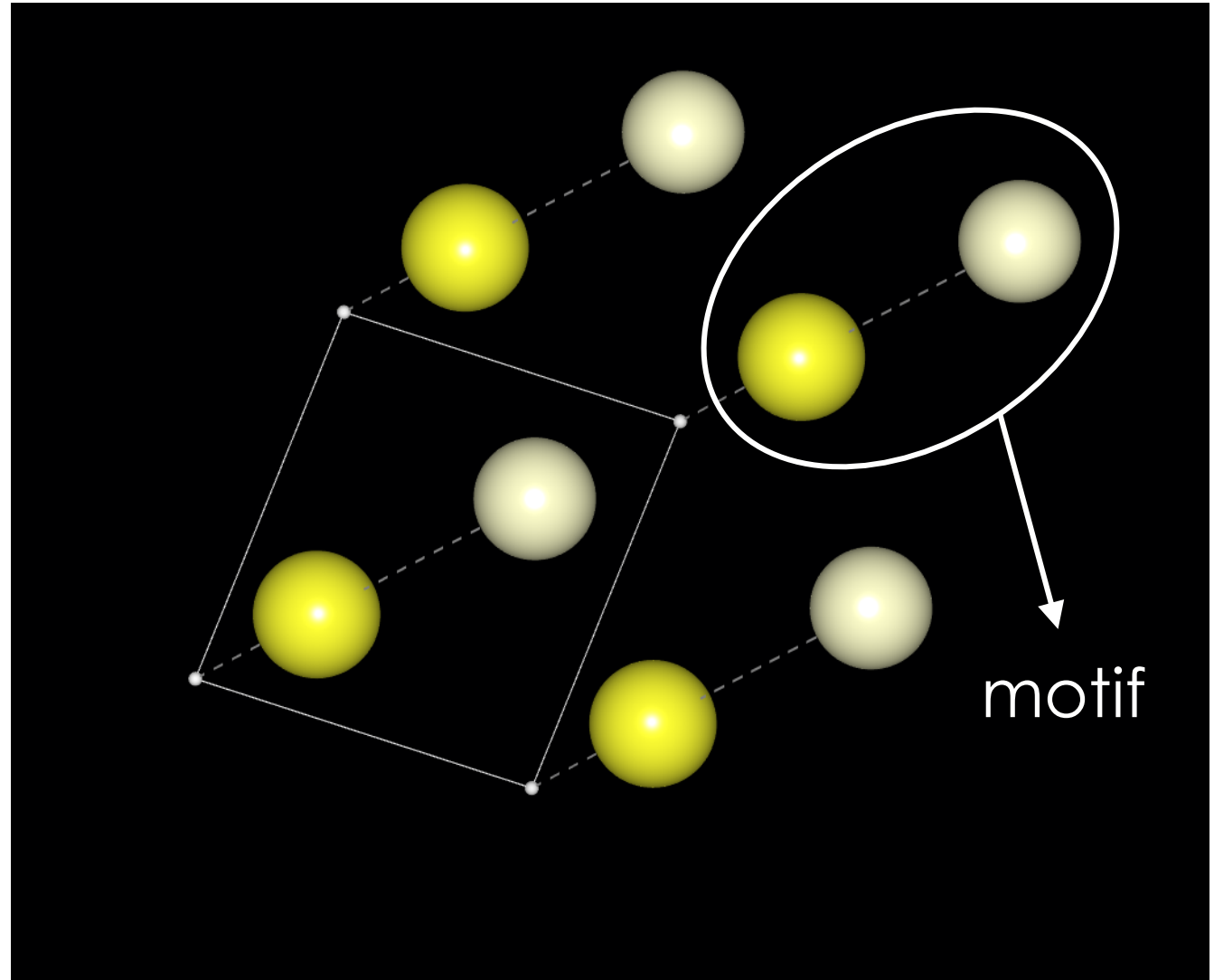
$$S = |\vec{a} \times \vec{b}|$$



3 - Réseau, maille, motif

motif

contenu de la maille élémentaire



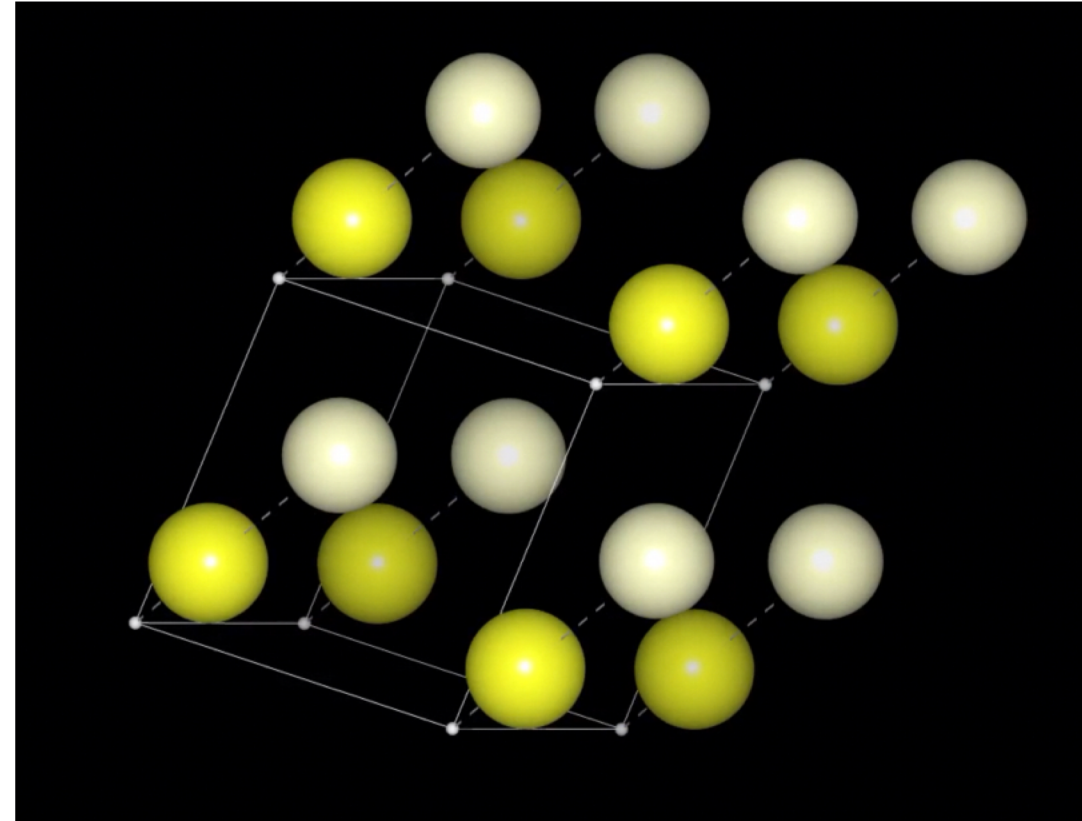
3 - Réseau, maille, motif

motif

contenu de la maille élémentaire

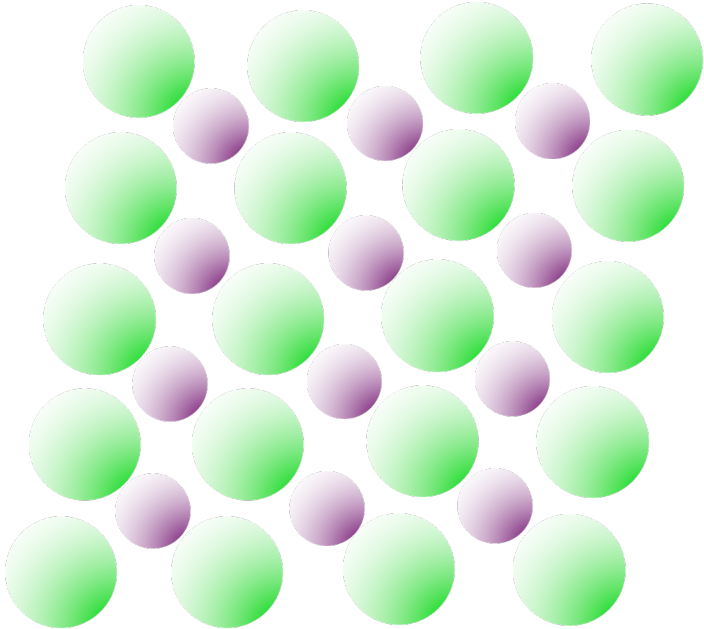
un atome

ou un ensemble d'atomes
attaché à chaque nœud du réseau



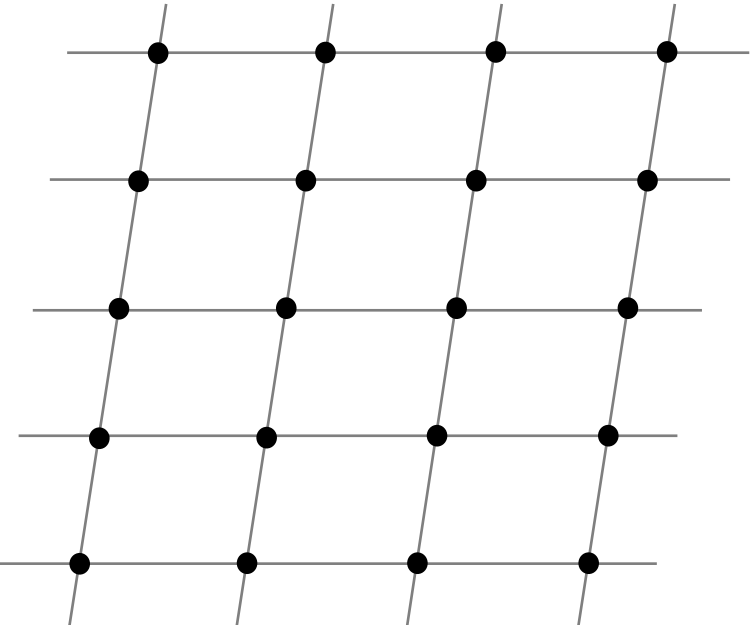
3 - Réseau, maille, motif

cristal



cristal

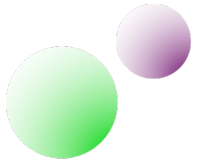
=



=

réseau

⊗

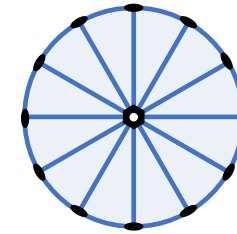
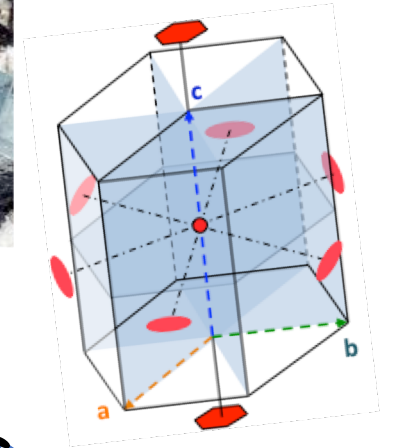


⊗

motif

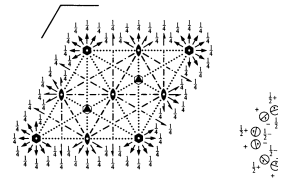
Plan du cours

- 1- Observation des symétries des cristaux naturels
- 2- Cause interne de la forme des cristaux naturels
- 3 - Réseau, maille, motif
- 4 – Rangées et plans réticulaires
- 5 – Réseau réciproque
- 6 - Réseau et symétries
- 7 - Maille conventionnelle
- 8 – Projection stéréographique
- 9 – Roto-inversions
- 10 – Les 32 groupes ponctuels cristallographiques
- 11 – Les 7 systèmes cristallins
- 12 – Les 14 réseaux de Bravais
- 13 – Les 230 groupes d'espace

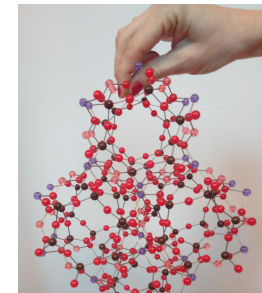


$$\frac{6}{m} \text{ mm}$$

$P6/mcc$ D_{6h}^2
No. 192 $P 6/m 2/c 2/c$



Origin at centre (6/m) at 6/mcc

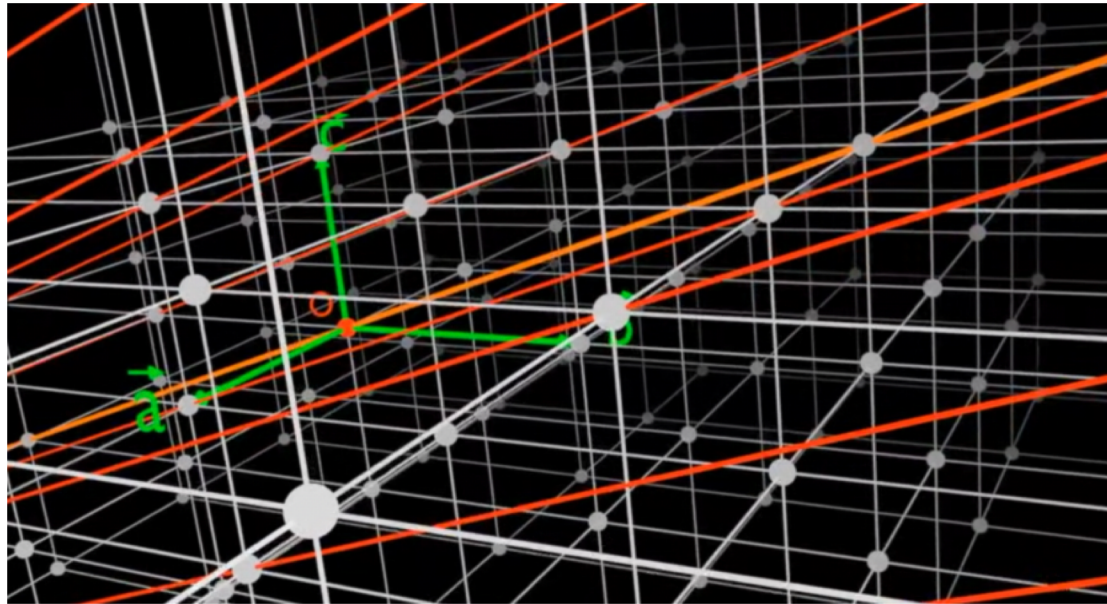


4 – Rangées et plans réticulaires

famille de rangées

rangée : toute droite passant par deux nœuds → une rangée contient une infinité de nœuds

Toute rangée est parallèle à une **rangée particulière passant par l'origine** (qui est un nœud) et **par un nœud de coordonnées (u, v, w)** → famille de rangées **$[uvw]$**

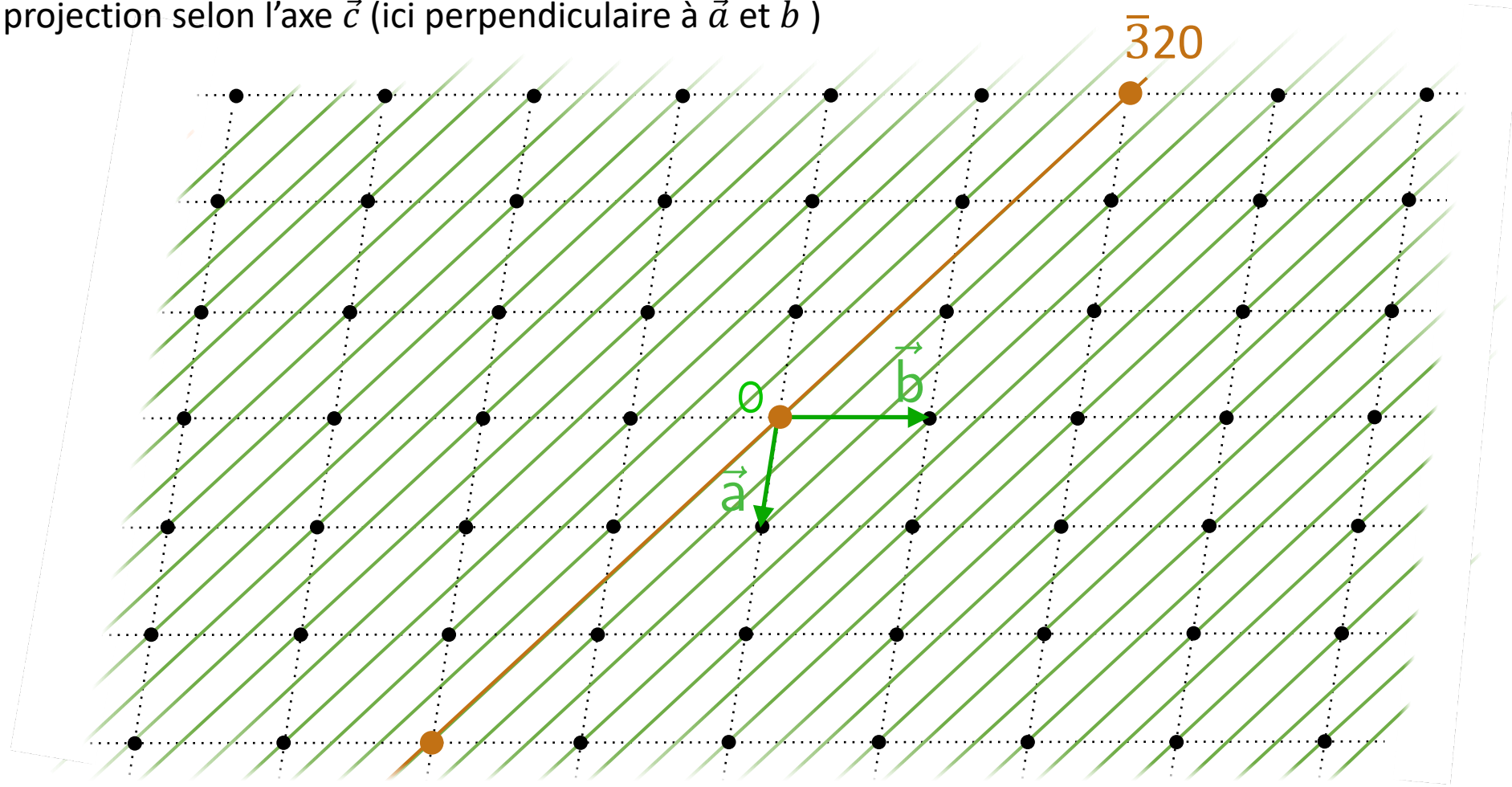


famille de rangées **$[021]$**

4 – Rangées et plans réticulaires

famille de rangées

en projection selon l'axe \vec{c} (ici perpendiculaire à \vec{a} et \vec{b})



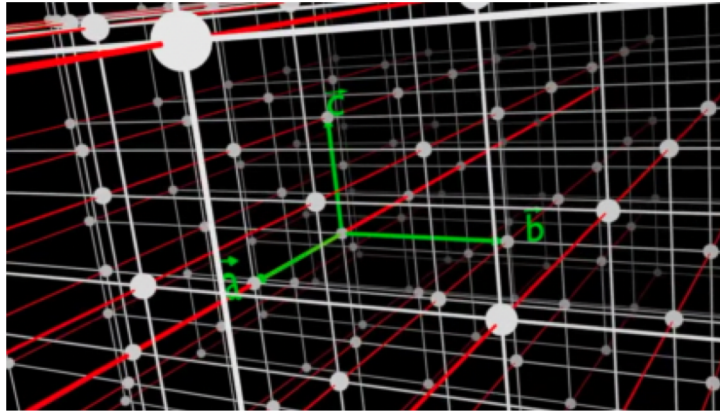
$3\bar{2}0$

famille de rangées $[\bar{3}20]$ ou $[3\bar{2}0]$

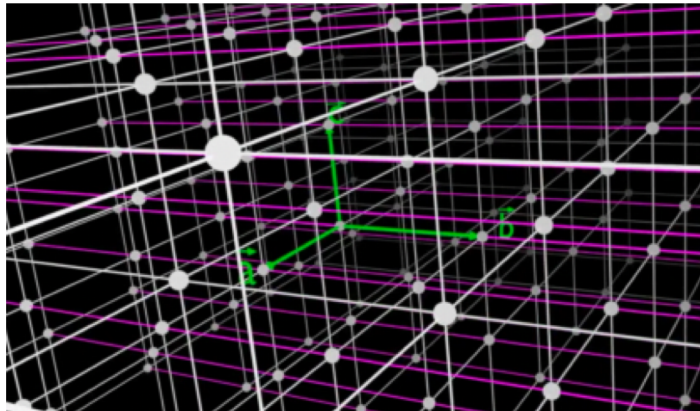
4 – Rangées et plans réticulaires

famille de rangées

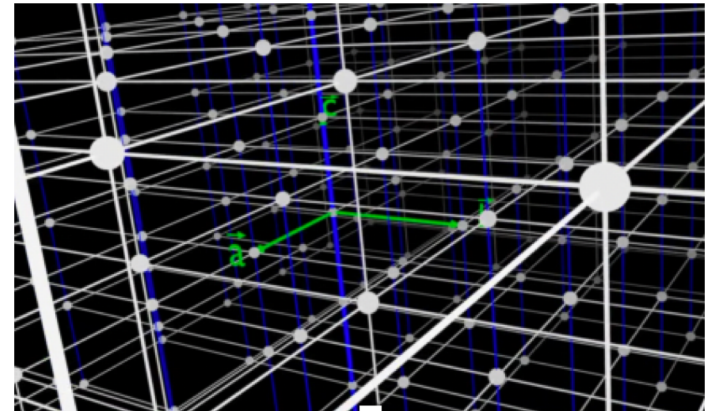
[100]



[010]



[001]

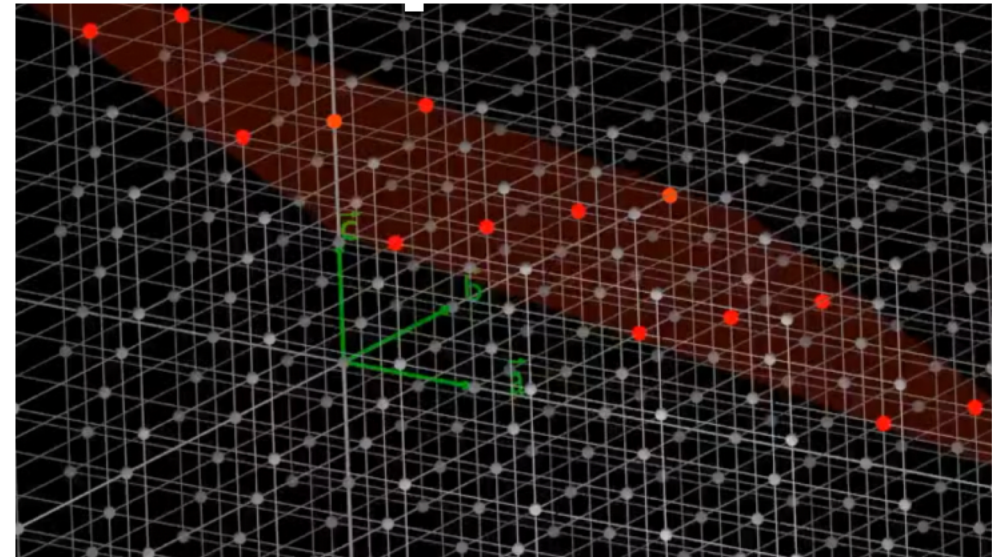
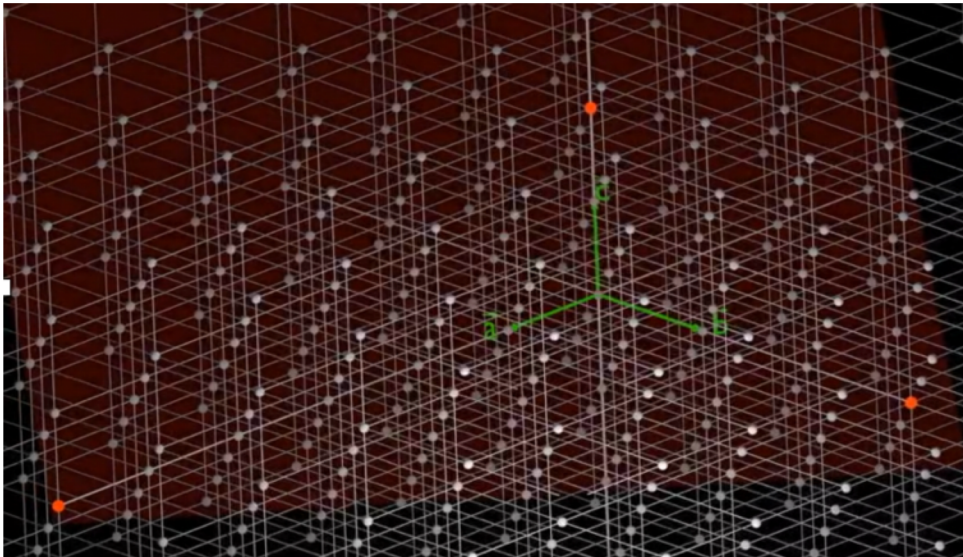


4 – Rangées et plans réticulaires

famille de plans réticulaires

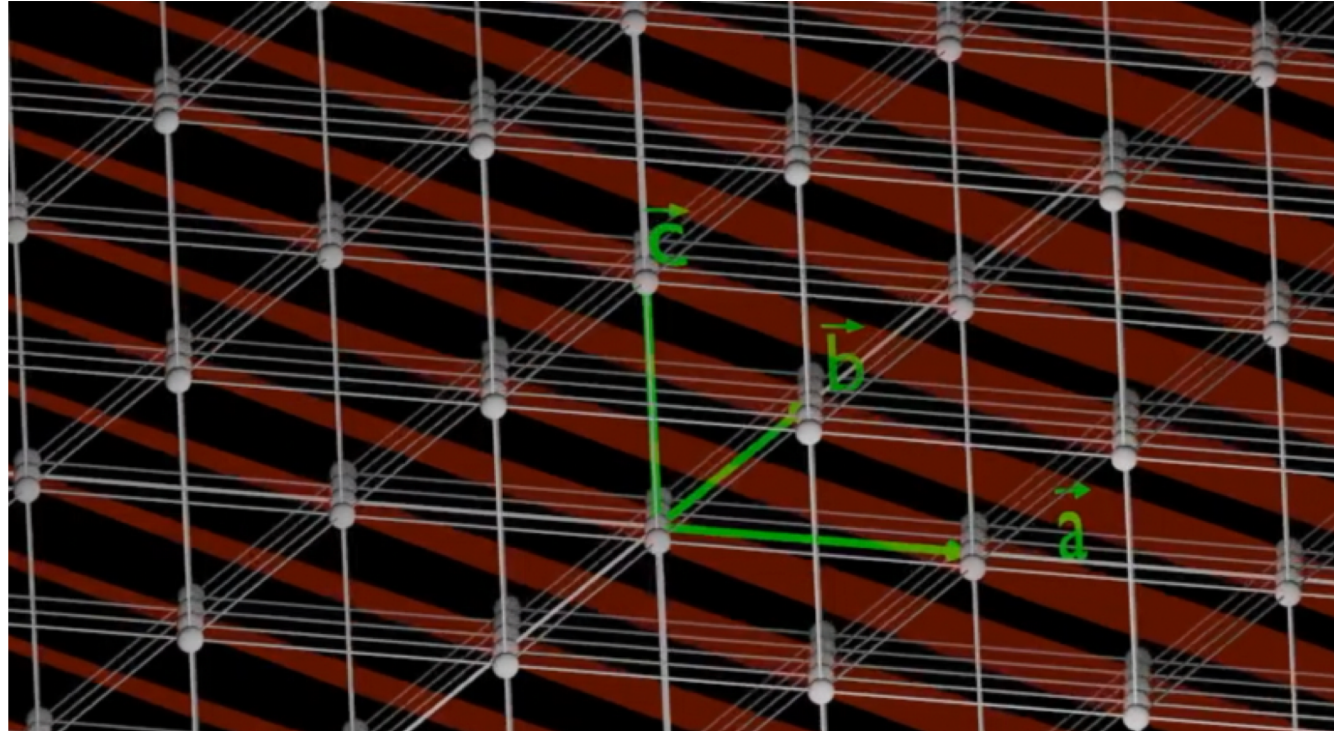
plan réticulaire : plan passant par 3 nœuds non colinéaires

→ Un plan réticulaire contient une infinité de nœuds et forme un réseau 2D.



famille de plans réticulaires : infinité de plans réticulaires équidistants entre eux et parallèles à un plan réticulaire donné.

→ Une famille de plans réticulaires contient l'ensemble des nœuds du réseau 3D.

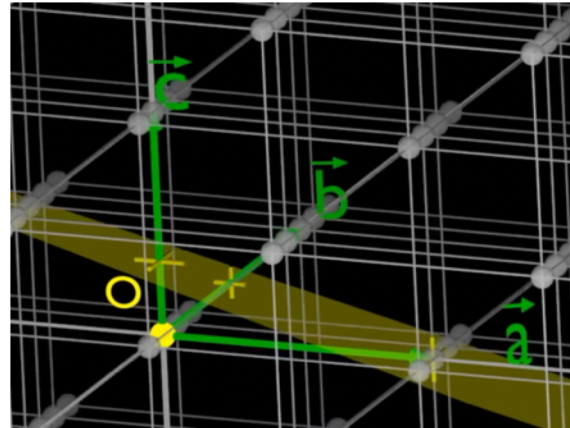
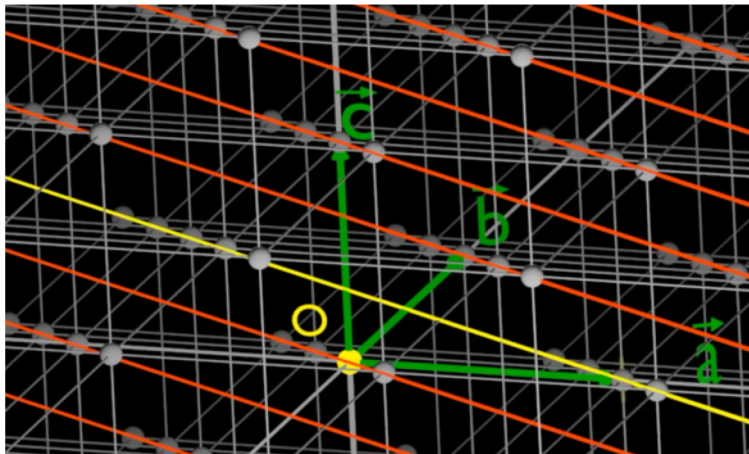


4 – Rangées et plans réticulaires

famille de plans réticulaires

Une **famille de plans réticulaires** est noté (hkl)

h , k et l sont les indices de Miller, ce sont des entiers premiers entre eux.



axe [001] coupé en $a/1$
axe [010] coupé en $b/2$
axe [001] coupé en $c/3$

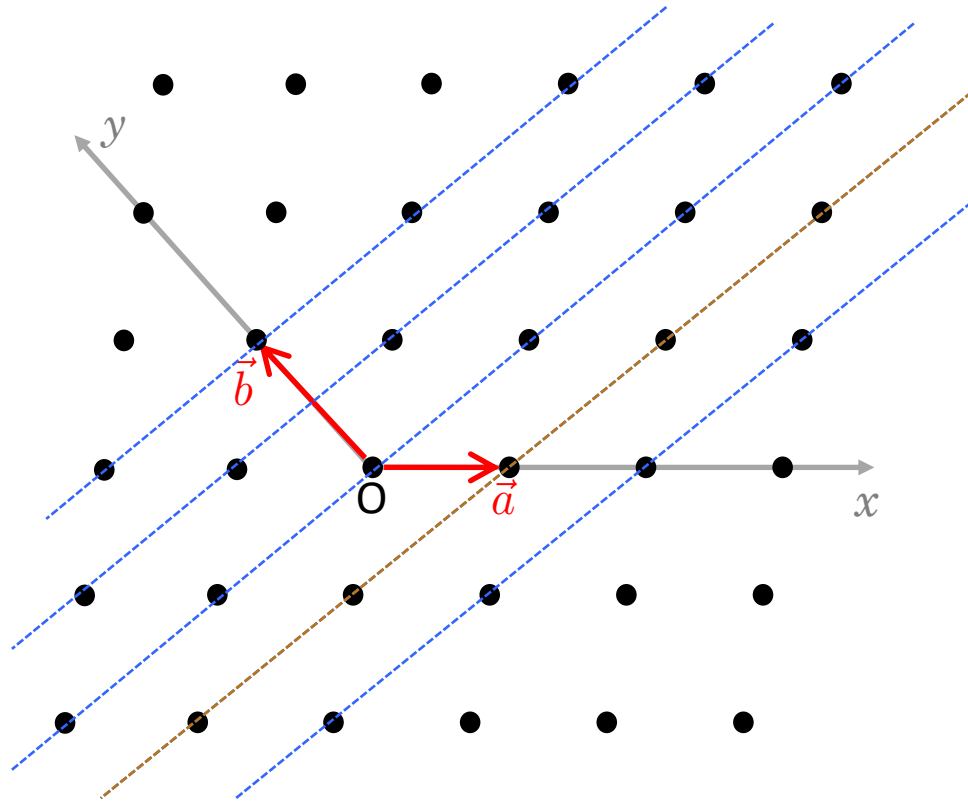
→ famille de plans (123)

4 – Rangées et plans réticulaires

famille de plans réticulaires

Une **famille de plans réticulaires** est noté (hkl)

projection dans le plan (a,b)



h , k et l sont des entiers premiers entre eux.

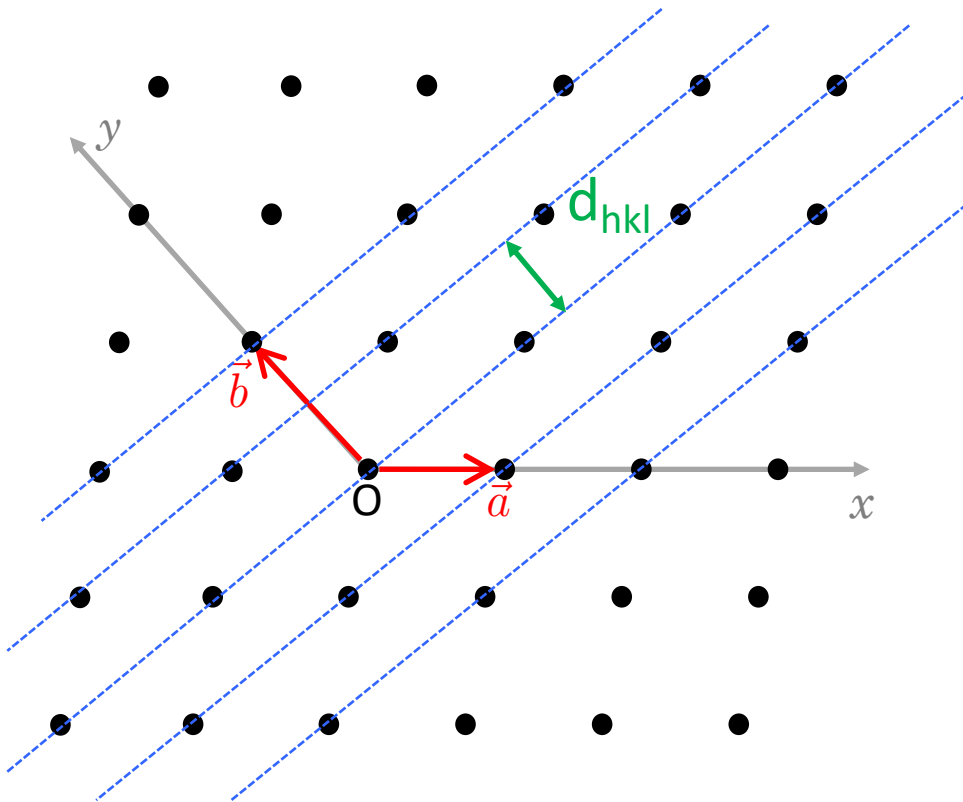
(hkl) désigne la famille de plans réticulaires telle que le plan de la famille, le plus proche du nœud d'origine, coupe l'axe Ox en a/h , l'axe Oy en b/k et l'axe Oz en c/l .

Ici $h = 1$, $k = -2$ et $l = 0 \rightarrow$ famille de plans $(1\bar{2}0)$

4 – Rangées et plans réticulaires

famille de plans réticulaires

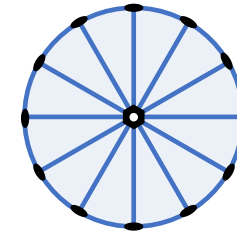
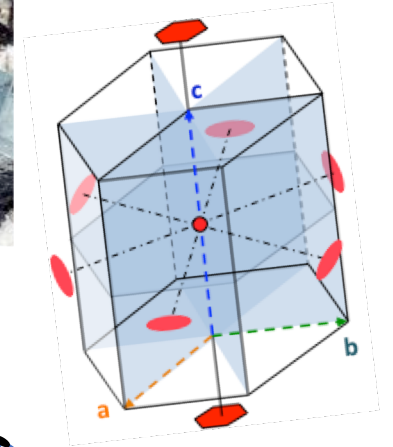
projection dans le plan (a,b)



distance interréticulaire :
distance entre deux plans consécutifs
d'une même famille de plans (hkl) ,
notée d_{hkl} .

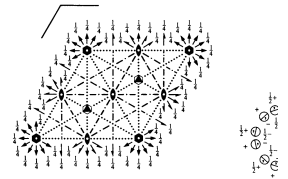
Plan du cours

- 1- Observation des symétries des cristaux naturels
- 2- Cause interne de la forme des cristaux naturels
- 3 - Réseau, maille, motif
- 4 – Rangées et plans réticulaires
- 5 – Réseau réciproque
- 6 - Réseau et symétries
- 7 - Maille conventionnelle
- 8 – Projection stéréographique
- 9 – Roto-inversions
- 10 – Les 32 groupes ponctuels cristallographiques
- 11 – Les 7 systèmes cristallins
- 12 – Les 14 réseaux de Bravais
- 13 – Les 230 groupes d'espace

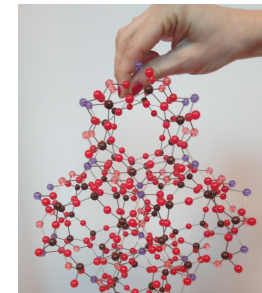


$$\frac{6}{m}$$

$P6/mcc$ D_{6h}^2
No. 192 $P 6/m 2/c 2/c$



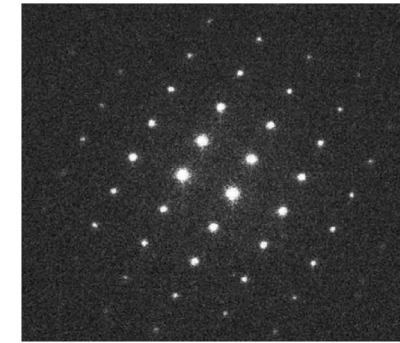
Origin at centre (6/m) at 6/mcc



5 – Réseau réciproque

Il permet de :

- simplifier un bon nombre de calculs cristallographiques
- formuler simplement la théorie de la diffraction des rayonnements (X, neutrons, électrons)



Nature Materials 10, 890–896
(2011)

Définition

Soit un réseau direct de vecteurs de base \vec{a} , \vec{b} et \vec{c} . Le **réseau réciproque** associé est caractérisé par \vec{a}^* , \vec{b}^* et \vec{c}^* tels que :

$$\begin{array}{lll} \vec{a} \cdot \vec{a}^* = \sigma & \vec{a} \cdot \vec{b}^* = 0 & \vec{a} \cdot \vec{c}^* = 0 \\ \vec{b} \cdot \vec{a}^* = 0 & \vec{b} \cdot \vec{b}^* = \sigma & \vec{b} \cdot \vec{c}^* = 0 \\ \vec{c} \cdot \vec{a}^* = 0 & \vec{c} \cdot \vec{b}^* = 0 & \vec{c} \cdot \vec{c}^* = \sigma \end{array}$$

En cristallographie : $\sigma = 1$

En physique des solides : $\sigma = 2\pi$

5 – Réseau réciproque

$$\vec{b} \cdot \vec{a}^* = 0 \implies \vec{a}^* \perp \vec{b}$$

$$\vec{c} \cdot \vec{a}^* = 0 \implies \vec{a}^* \perp \vec{c}$$

donc $\vec{a}^* = \alpha' \vec{b} \times \vec{c}$ où α' est une constante

$$\text{d'où } \vec{a} \cdot \vec{a}^* = \alpha' \underbrace{\vec{a} \cdot (\vec{b} \times \vec{c})}_V$$

$$\text{or } \vec{a} \cdot \vec{a}^* = 1$$

$$\text{donc } \alpha' = \frac{1}{V}$$

Par conséquent $\vec{a}^* = \frac{\vec{b} \times \vec{c}}{V}$

De même :

$$\vec{b}^* = \frac{\vec{c} \times \vec{a}}{V}$$

$$\vec{c}^* = \frac{\vec{a} \times \vec{b}}{V}$$

Unité de longueur : \AA^{-1} ou nm^{-1}

- On peut montrer¹ :

$$V V^{\star} = 1$$

¹ Pour cela on exprime V en fonction de a , b et c , puis on utilise la relation suivante du produit vectoriel de trois vecteurs : $\mathbf{A} \times (\mathbf{B} \times \mathbf{C}) = (\mathbf{A} \cdot \mathbf{C})\mathbf{B} - (\mathbf{A} \cdot \mathbf{B})\mathbf{C}$

- On peut montrer :

A tout plan du réseau direct appartenant à la famille (hkl) correspond une rangée du RR de mêmes indices qui lui est perpendiculaire.

$$[hkl]^{\star} \perp (hkl)$$

$$[hkl]^* \perp (hkl)$$

exemples

Espace réciproque

Espace direct

$$\vec{a}^* // [100]^*$$

\perp

$$(\vec{b}, \vec{c}) = (100)$$

$$\vec{b}^* // [010]^*$$

\perp

$$(\vec{c}, \vec{a}) = (010)$$

$$\vec{c}^* // [001]^*$$

\perp

$$(\vec{a}, \vec{b}) = (001)$$

- Calcul d'une distance interréticulaire :

$$d_{hkl} \parallel \vec{t}_{hkl}^* \parallel = 1$$

où $\vec{t}_{hkl}^* \parallel [hkl]^*$ et $\vec{t}_{hkl}^* = h\vec{a}^* + k\vec{b}^* + l\vec{c}^*$

Dans le cas d'un réseau cubique :

$$d_{hkl} = \frac{a}{\sqrt{h^2 + k^2 + l^2}}$$

- Condition pour que (hkl) soit **parallèle** à [uvw] :

$$\vec{t}_{hkl}^* \perp \vec{t}_{uvw} \rightarrow \text{produit scalaire nul}$$

$$\text{avec } \vec{t}_{hkl}^* = h\vec{a}^* + k\vec{b}^* + l\vec{c}^*$$

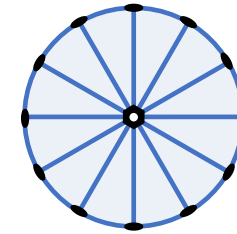
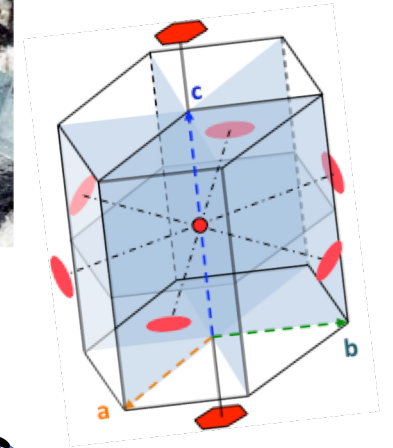
$$\text{et } \vec{t}_{uvw} = u\vec{a} + v\vec{b} + w\vec{c}$$

donc

$$hu + kv + lw = 0$$

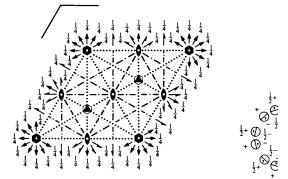
Plan du cours

- 1- Observation des symétries des cristaux naturels
- 2- Cause interne de la forme des cristaux naturels
- 3 - Réseau, maille, motif
- 4 – Rangées et plans réticulaires
- 5 – Réseau réciproque
- 6 - Réseau et symétries
- 7 - Maille conventionnelle
- 8 – Projection stéréographique
- 9 – Roto-inversions
- 10 – Les 32 groupes ponctuels cristallographiques
- 11 – Les 7 systèmes cristallins
- 12 – Les 14 réseaux de Bravais
- 13 – Les 230 groupes d'espace

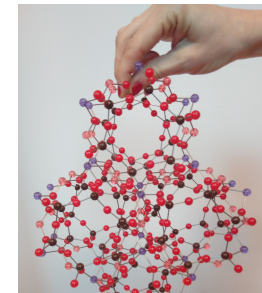


$$\frac{6}{m} \text{ mm}$$

$P6/mcc$ D_{6h}^2
No. 192 $P 6/m 2/c 2/c$

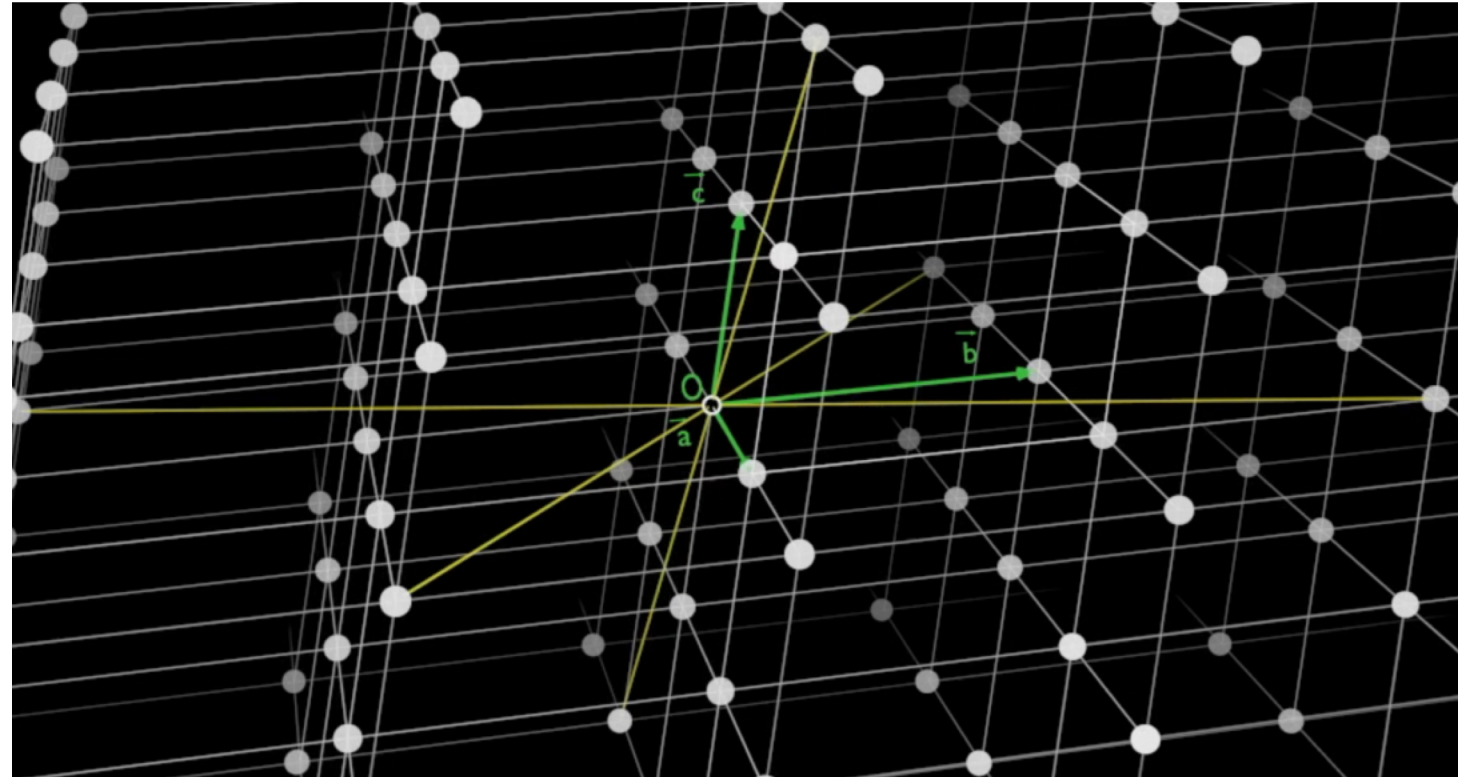


Origin at centre (6/m) at 6/mcc



Tout réseau est **centrosymétrique** avec des centres :

- en chaque nœud
- au milieu de chaque arête
- au milieu de chaque face
- au centre de chaque maille



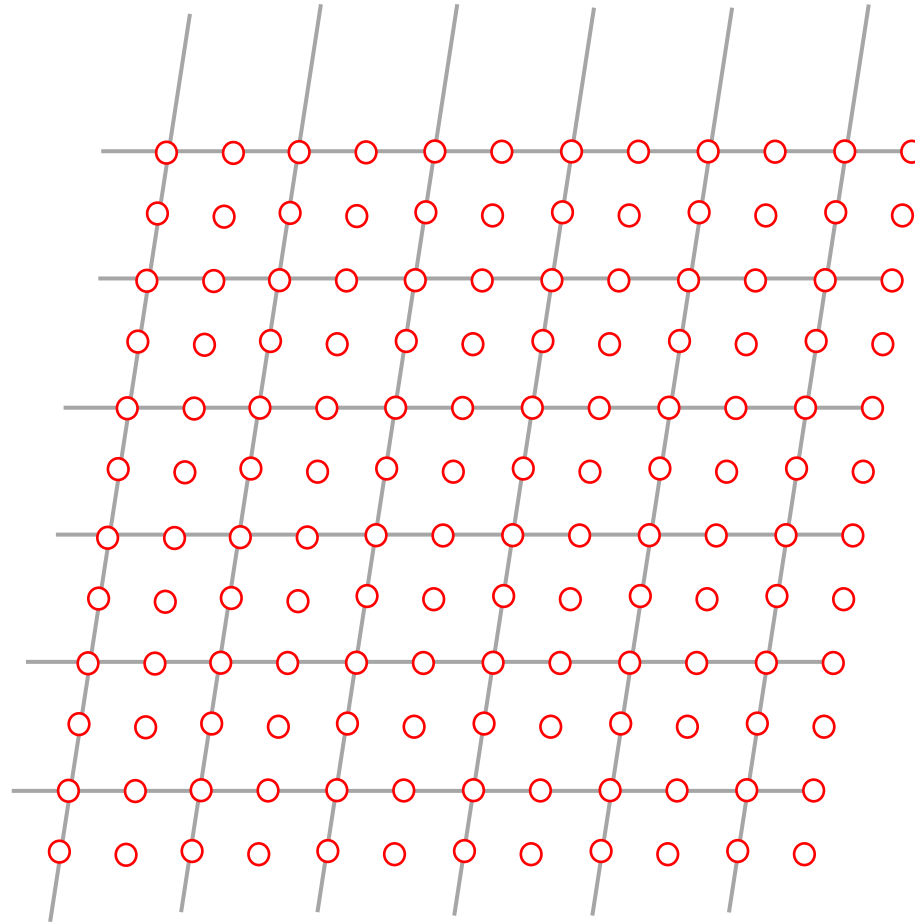
Tout réseau est
centrosymétrique
avec des centres :

➤ en chaque nœud

➤ au milieu de chaque arête

➤ au centre de chaque face

➤ au centre de chaque maille



6 - Réseau et symétries

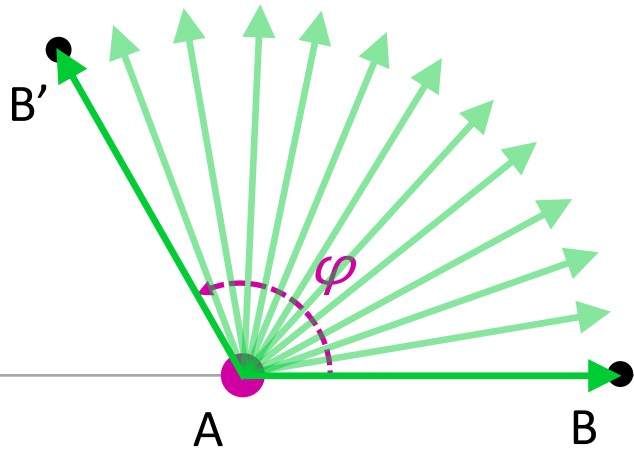
Les axes de rotation compatibles avec le réseau cristallin

axes de rotation \mathbf{A}_n d'angle $\varphi = \frac{2\pi}{n}$



D'autres valeurs de n sont-elles possibles ?

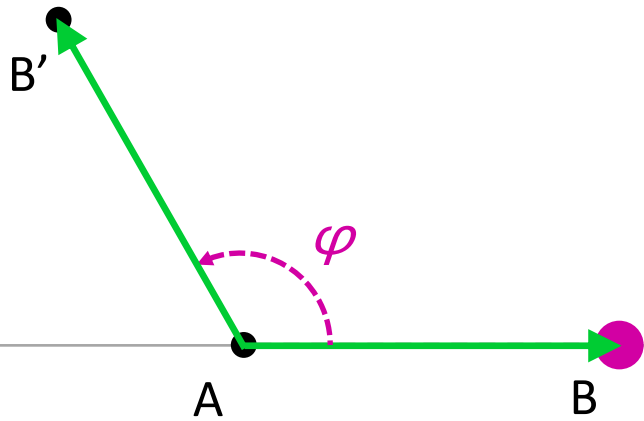
axe A_n d'angle φ en A



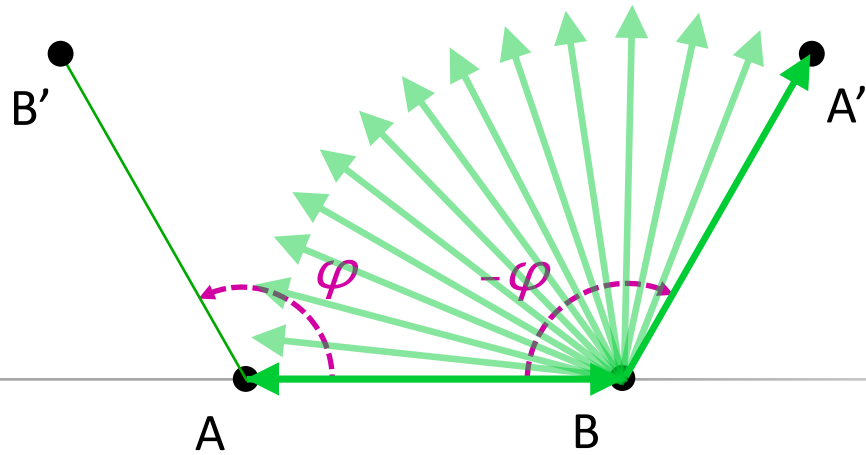
axe A_n d'angle φ

en A

en B

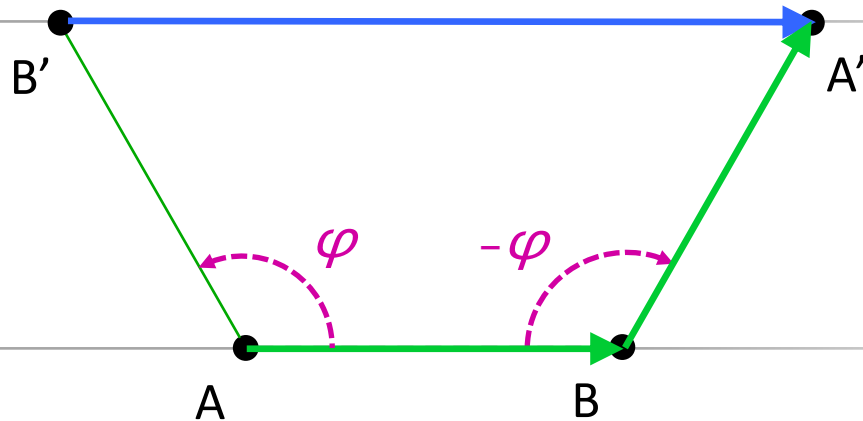


axe A_n d'angle φ en A en B



Quelles sont les valeurs de φ possibles ?

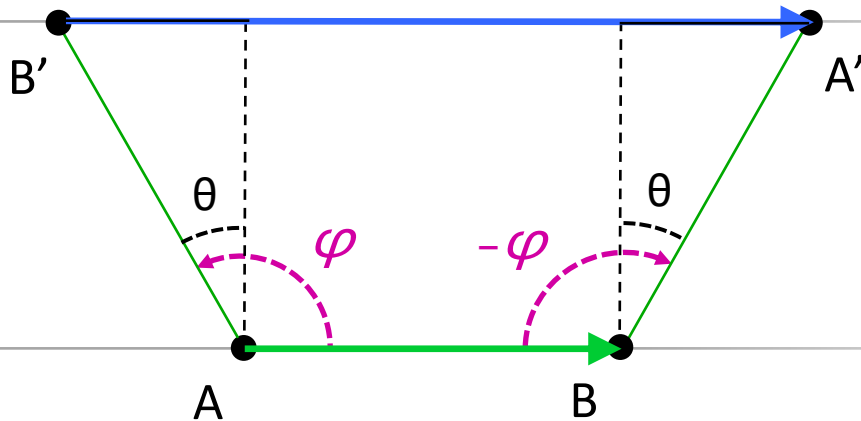
$$\varphi = \frac{2\pi}{n}$$



$$\vec{B'A'} = k \vec{AB} \quad \text{avec } k \text{ entier}$$

Quelles sont les valeurs de φ possibles ?

$$\varphi = \frac{2\pi}{n}$$



$$B'A' = k AB \quad \text{avec } k \text{ entier}$$

$$B'A' = AB + 2 AB' \sin\theta \quad \text{où } \theta = \varphi - \pi/2$$

$$= AB (1 - 2 \cos\varphi)$$

Quelles sont les valeurs de φ possibles ?

$$\varphi = \frac{2\pi}{n}$$

$$B'A' = k AB$$

$$B'A' = (1 - 2 \cos \varphi) AB$$

identification

$$\cos \varphi = \frac{1 - k}{2}$$

$$\text{avec } -1 \leq \cos \varphi \leq +1$$

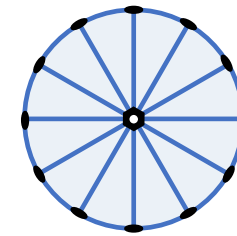
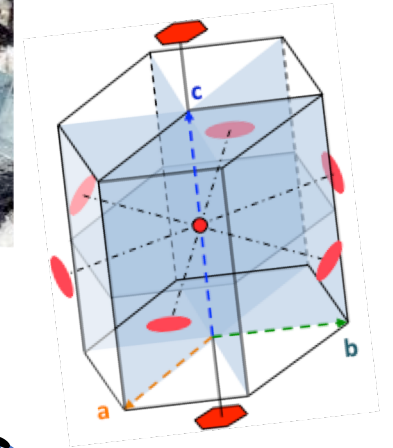
6 - Réseau et symétries

Les axes de rotation compatibles avec le réseau cristallin

k	0	1	2	3	4	-1
$\cos \varphi = \frac{1 - k}{2}$	$\frac{1}{2}$	0	$-\frac{1}{2}$	-1	impossible !	1
$\varphi = \frac{2\pi}{n}$	$\frac{\pi}{3}$	$\frac{\pi}{2}$	$\frac{2\pi}{3}$	π		0
n	6	4	3	2		1
						identité

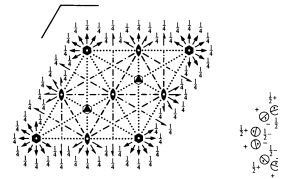
Plan du cours

- 1- Observation des symétries des cristaux naturels
- 2- Cause interne de la forme des cristaux naturels
- 3 - Réseau, maille, motif
- 4 – Rangées et plans réticulaires
- 5 – Réseau réciproque
- 6 - Réseau et symétries
- 7 - Maille conventionnelle
- 8 – Projection stéréographique
- 9 – Roto-inversions
- 10 – Les 32 groupes ponctuels cristallographiques
- 11 – Les 7 systèmes cristallins
- 12 – Les 14 réseaux de Bravais
- 13 – Les 230 groupes d'espace

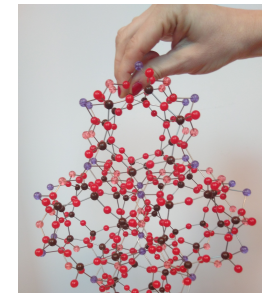


$$\frac{6}{m} \text{ mm}$$

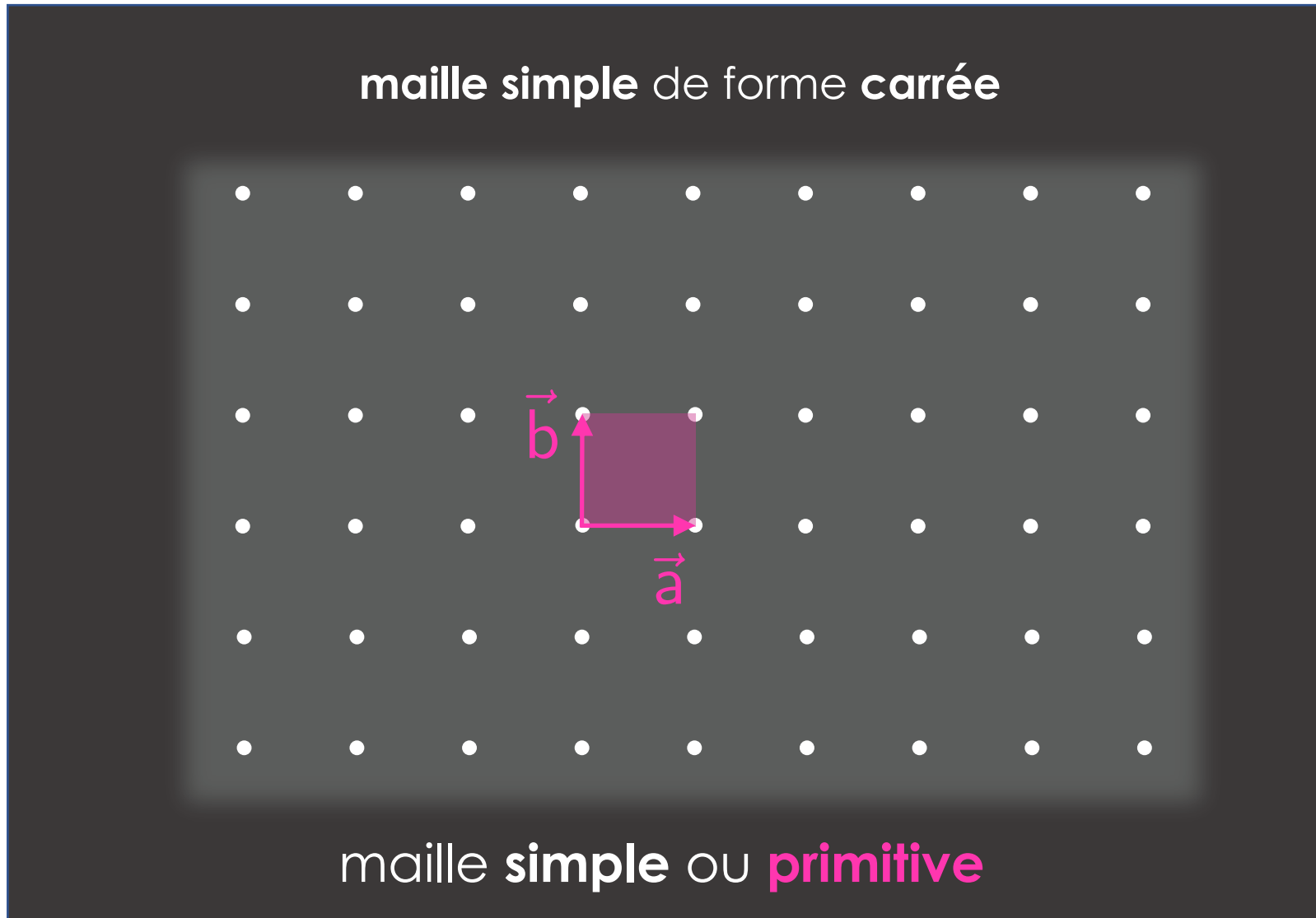
$P6/mcc$ D_{6h}^2
No. 192 $P 6/m 2/c 2/c$



Origin at centre (6/m) at 6/mcc



7 – Maille conventionnelle

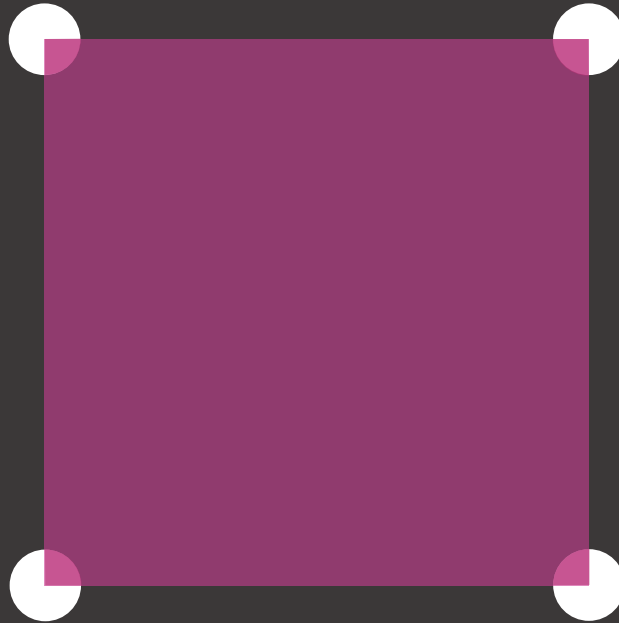


7 - Maille conventionnelle

un seul nœud
par maille

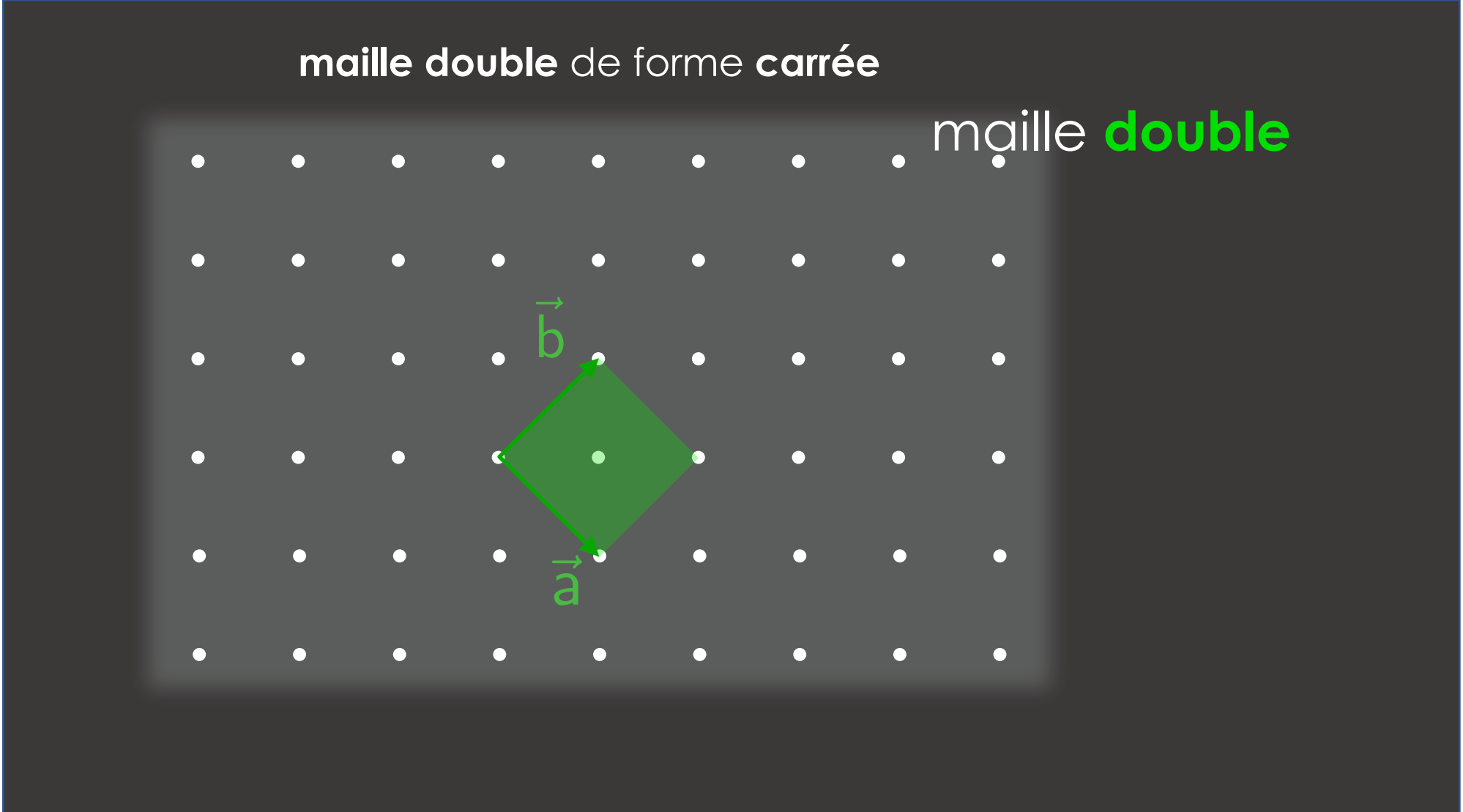


$$\frac{1}{4} + \frac{1}{4} + \frac{1}{4} + \frac{1}{4} = \mathbf{1}$$



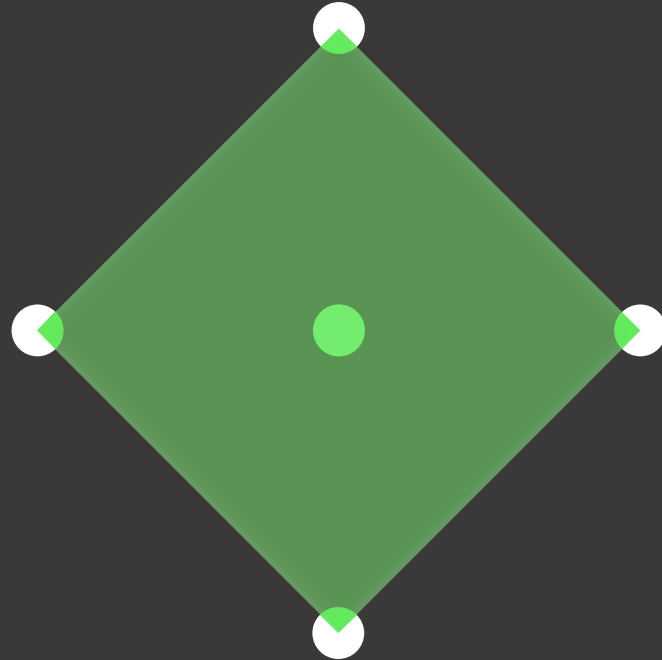
maille **simple** ou **primitive**

7 - Maille conventionnelle



7 - Maille conventionnelle

maille double de forme carrée



maille **double**



$$\frac{1}{4} + \frac{1}{4} + \frac{1}{4} + \frac{1}{4} + 1 = 2$$

deux nœuds
par maille

7 - Maille conventionnelle

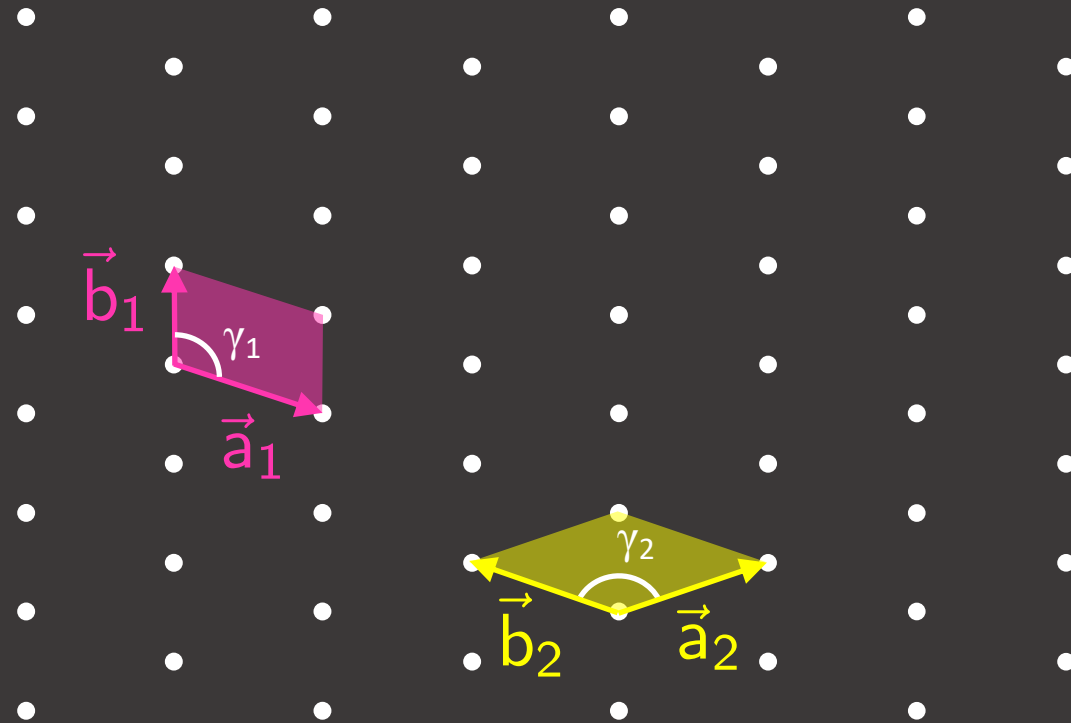
Visualiser deux mailles simples de forme différentes

maille 1

$$a_1 \neq b_1, \gamma_1 \neq 90^\circ$$

maille 2

$$a_2 = b_2, \gamma_2 \neq 90^\circ$$



7 - Maille conventionnelle

Visualiser une **maille double centrée**

maille 1

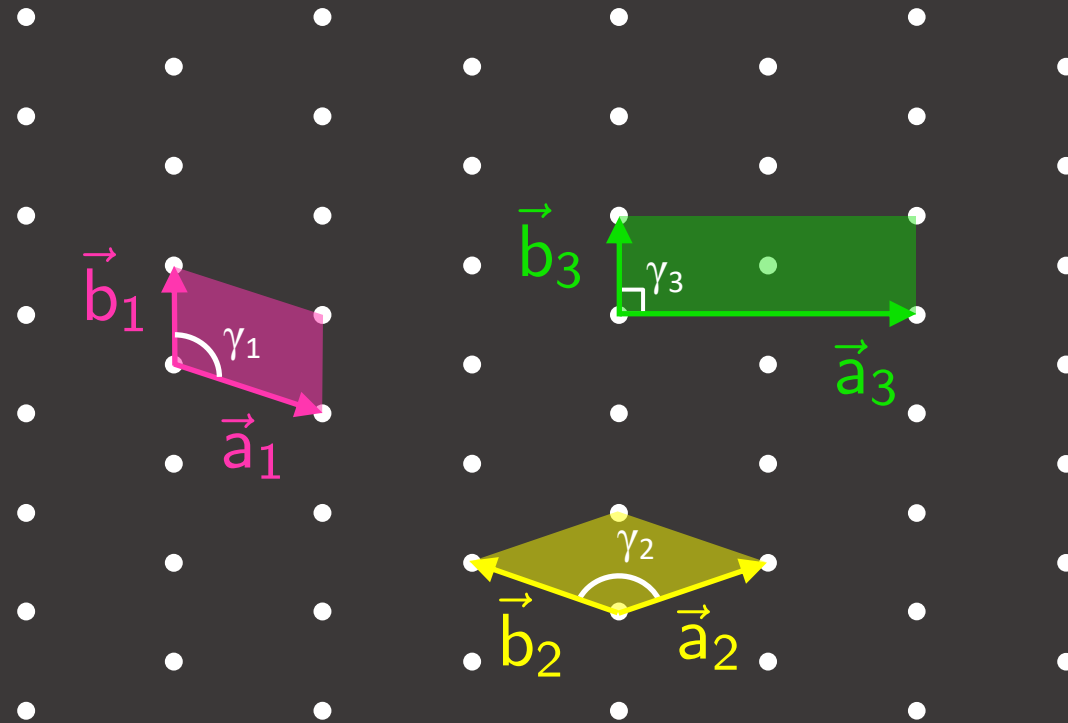
$$a_1 \neq b_1, \gamma_1 \neq 90^\circ$$

maille 2

$$a_2 = b_2, \gamma_2 \neq 90^\circ$$

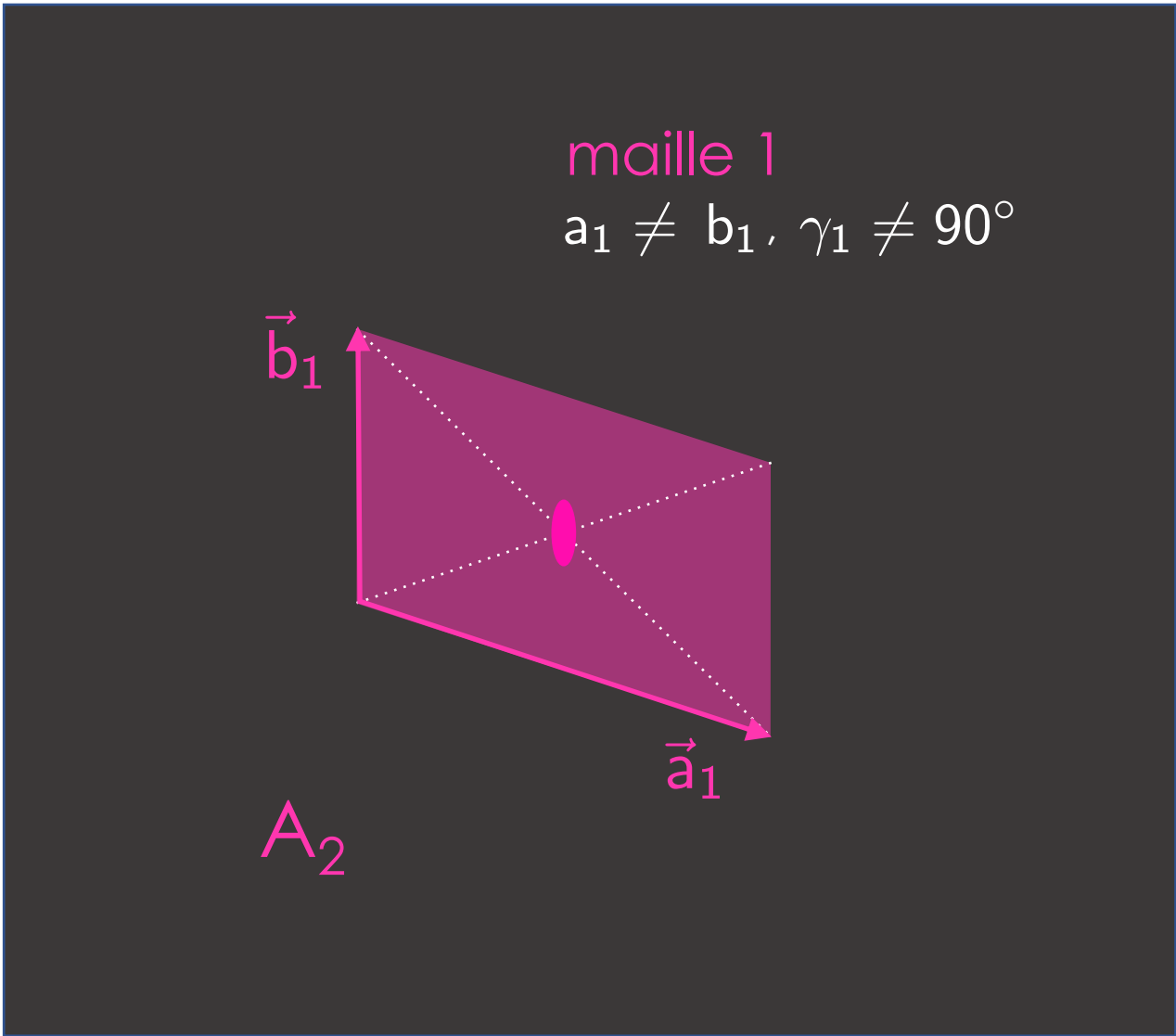
maille 3

$$a_3 \neq b_3, \gamma_3 = 90^\circ$$

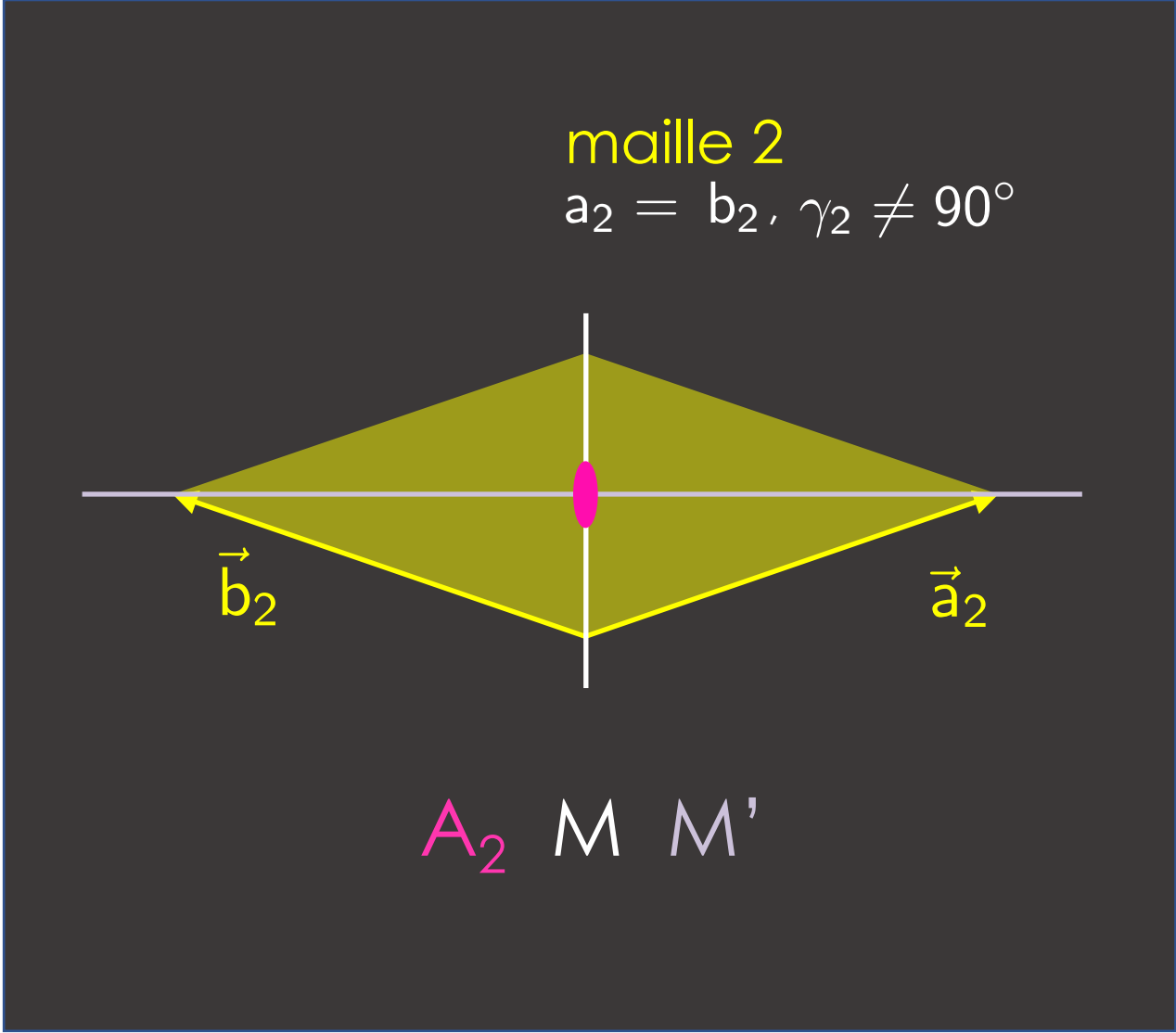


maille conventionnelle ?

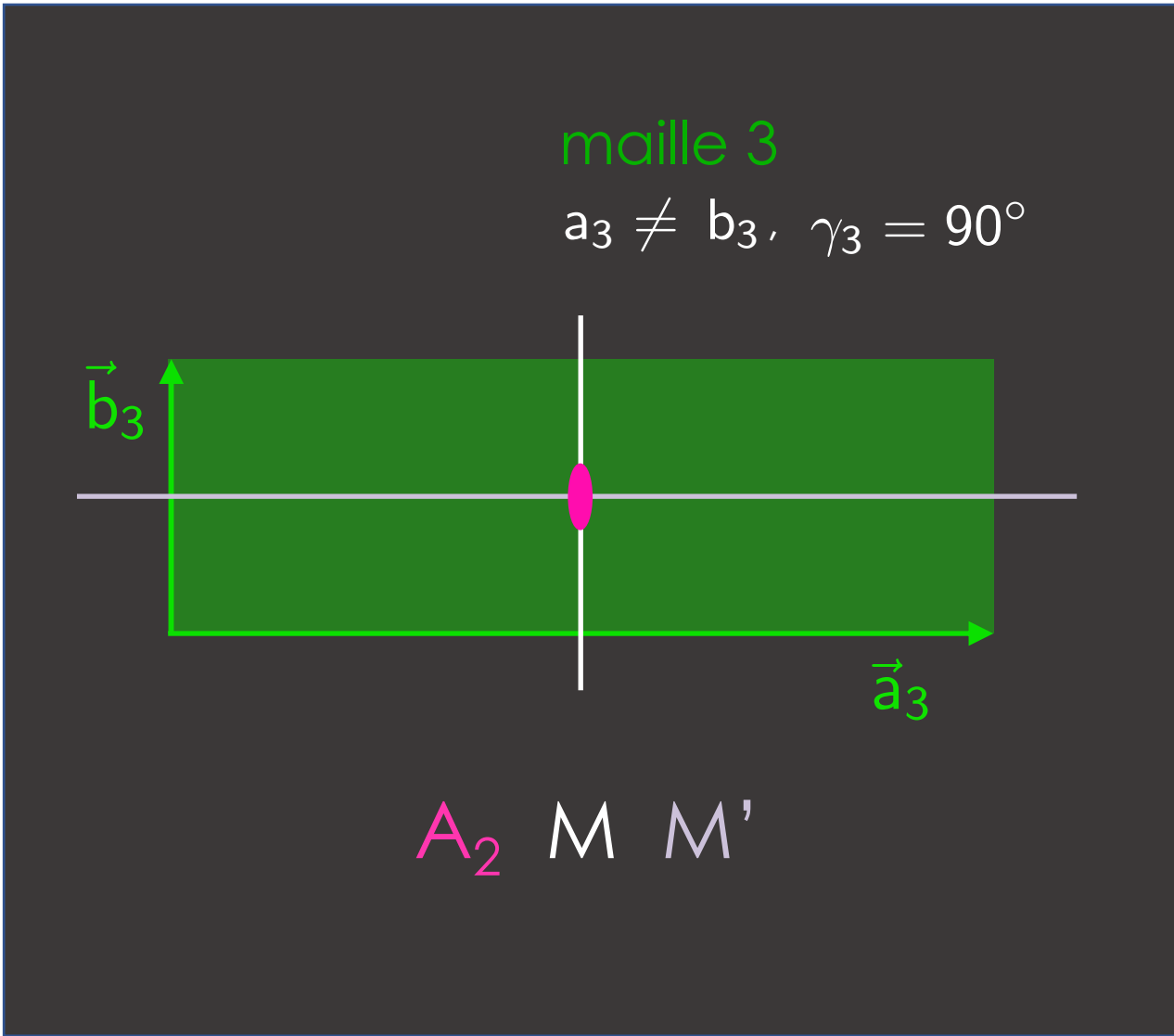
7 - Maille conventionnelle



7 - Maille conventionnelle



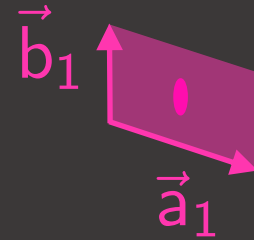
7 - Maille conventionnelle



7 - Maille conventionnelle

maille 1 : simple

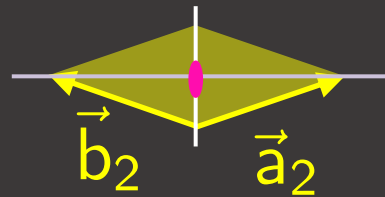
$$a_1 \neq b_1, \gamma_1 \neq 90^\circ$$



A_2

maille 2 : simple

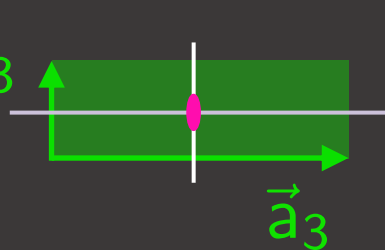
$$a_2 = b_2, \gamma_2 \neq 90^\circ$$



A_2 M M'

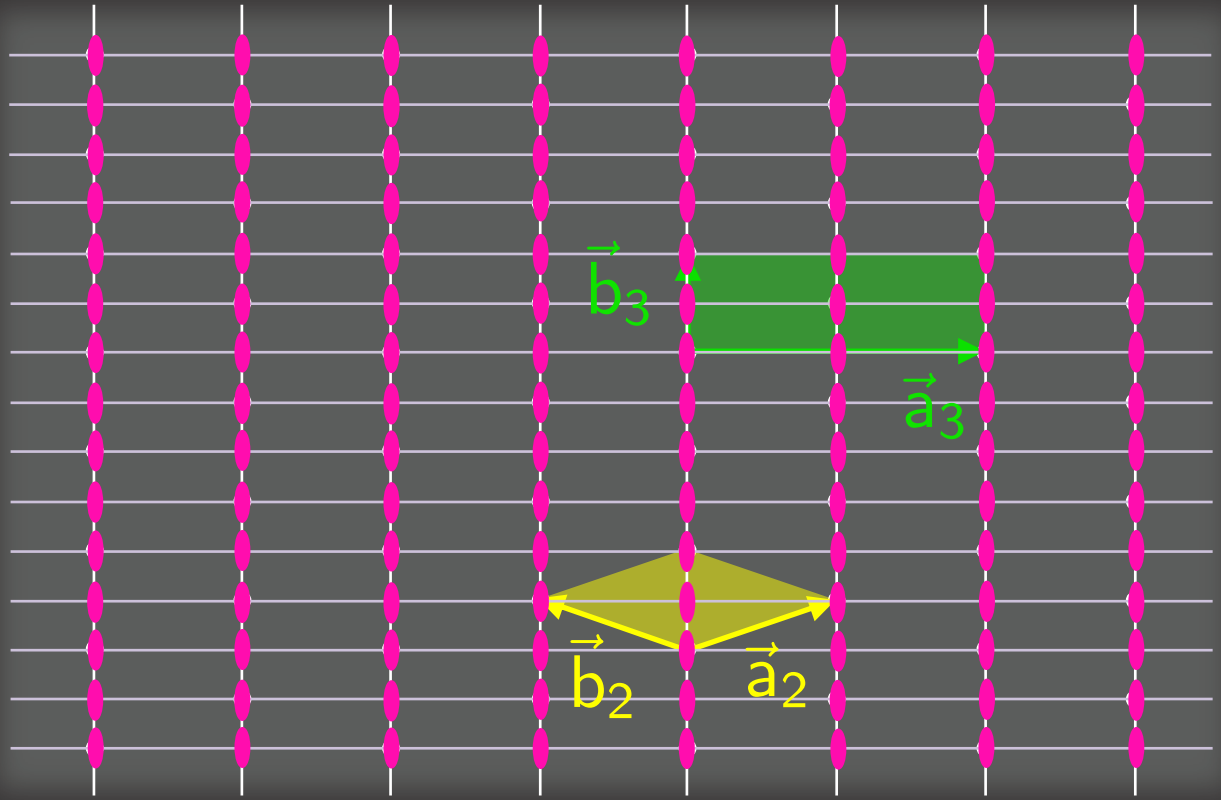
maille 3 : double

$$a_3 \neq b_3, \gamma_3 = 90^\circ$$



A_2 M M'

7 - Maille conventionnelle

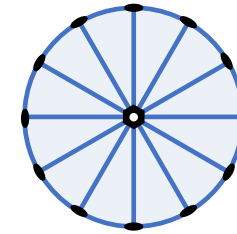
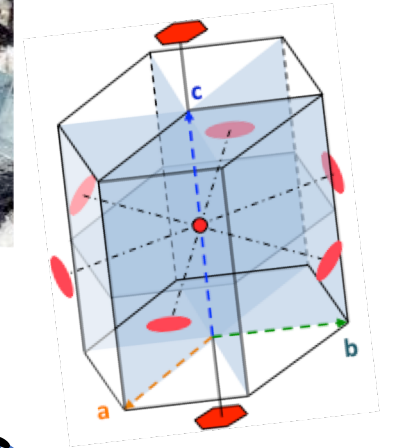


maille conventionnelle

- elle possède la symétrie du réseau
- ses axes sont parallèles aux directions de symétrie du réseau
- elle n'est pas forcément primitive

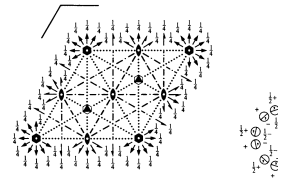
Plan du cours

- 1- Observation des symétries des cristaux naturels
- 2- Cause interne de la forme des cristaux naturels
- 3 - Réseau, maille, motif
- 4 – Rangées et plans réticulaires
- 5 – Réseau réciproque
- 6 - Réseau et symétries
- 7 - Maille conventionnelle
- 8 – Projection stéréographique
- 9 – Roto-inversions
- 10 – Les 32 groupes ponctuels cristallographiques
- 11 – Les 7 systèmes cristallins
- 12 – Les 14 réseaux de Bravais
- 13 – Les 230 groupes d'espace

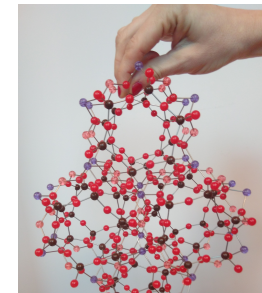


$$\frac{6}{m} \text{ mm}$$

$P6/mcc$ D_{6h}^2
No. 192 $P 6/m 2/c 2/c$



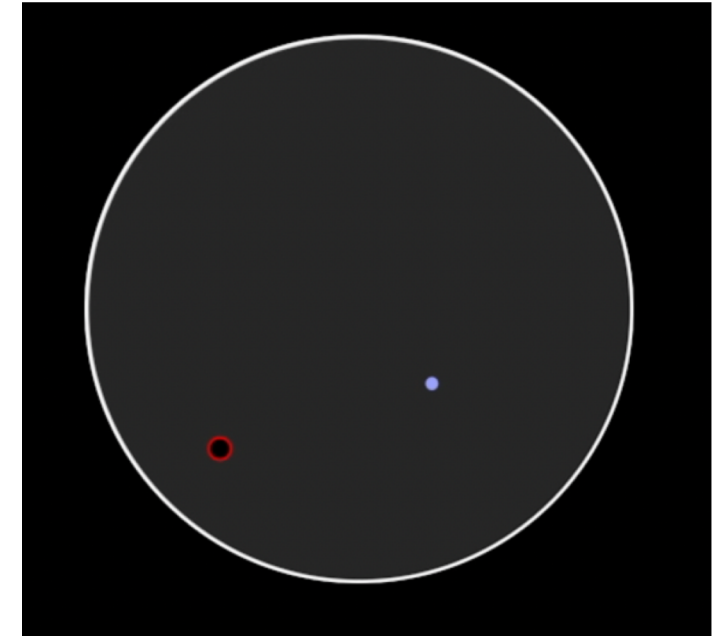
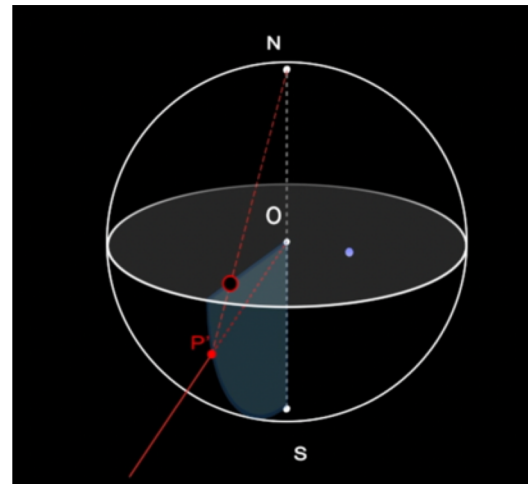
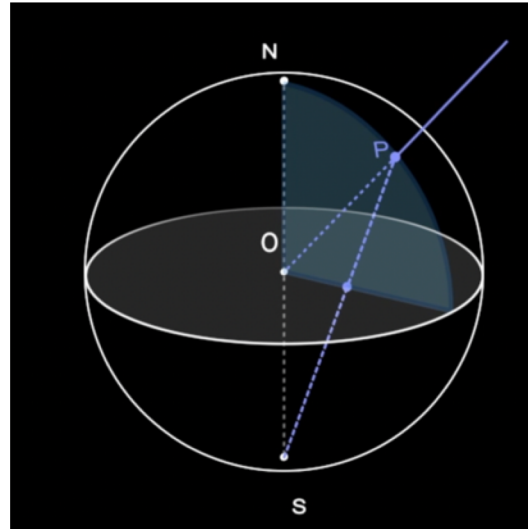
Origin at centre (6/m) at 6/mcc



8 – Projection stéréographique

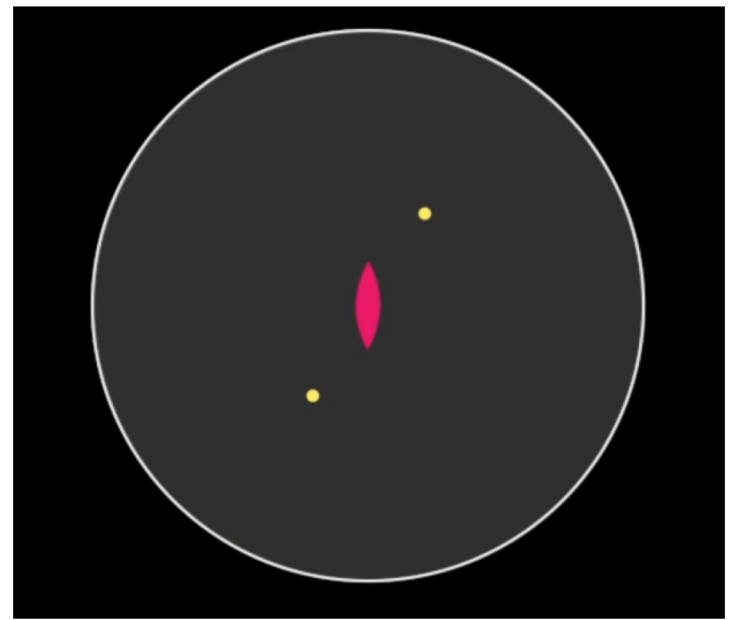
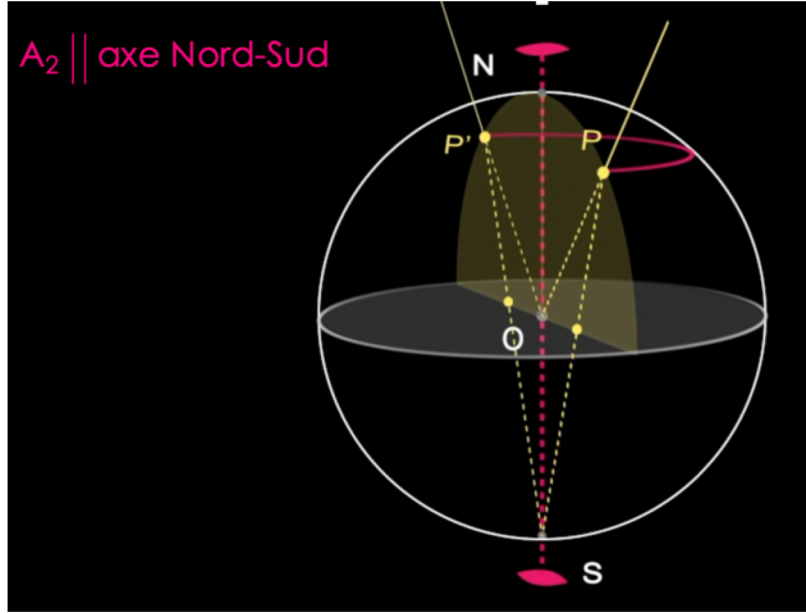
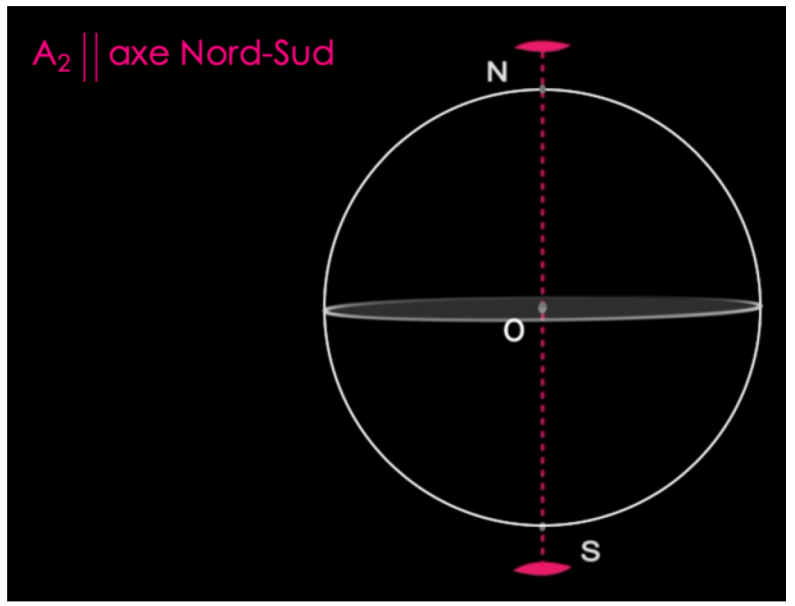
- Soit une **demi-droite OP** dans l'hémisphère nord issue de O et coupant la sphère en un point P .
- La projection stéréographique de OP est obtenue en reliant P au pôle Sud.
- On la représente par un point \bullet .

- Soit une **demi-droite OP'** dans l'hémisphère sud issue de O et coupant la sphère en un point P' .
- La projection stéréographique de OP' est obtenue en reliant P' au pôle Nord.
- On la représente par un rond : \circ .



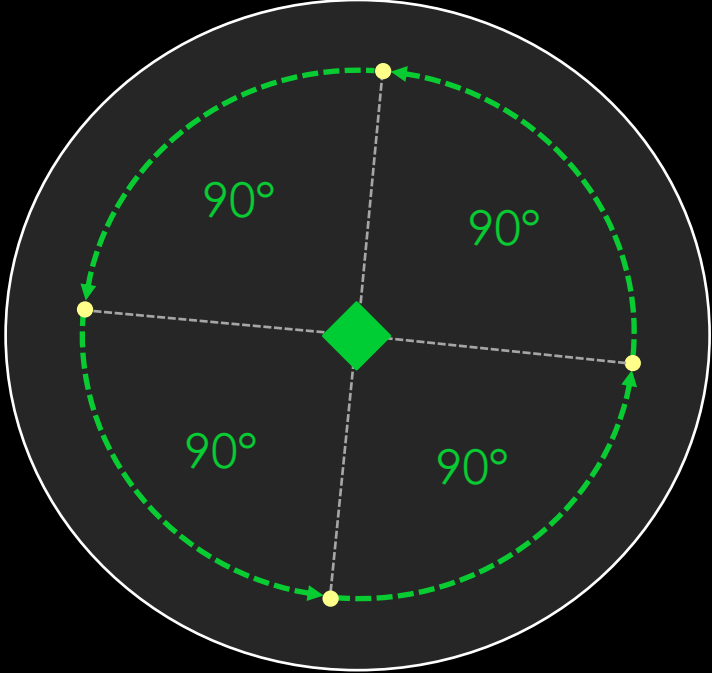
8 – Projection stéréographique

$A_2 \parallel$ axe Nord-Sud



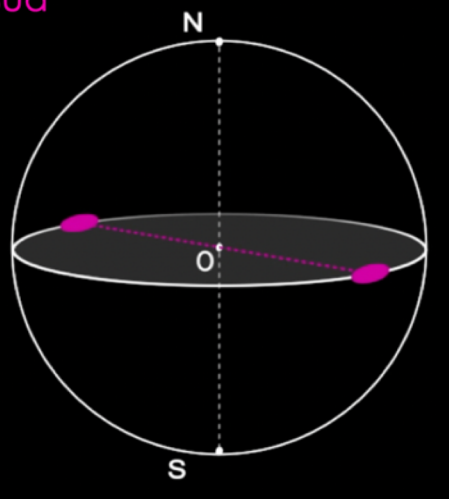
8 – Projection stéréographique

$A_4 \parallel$ axe Nord-Sud

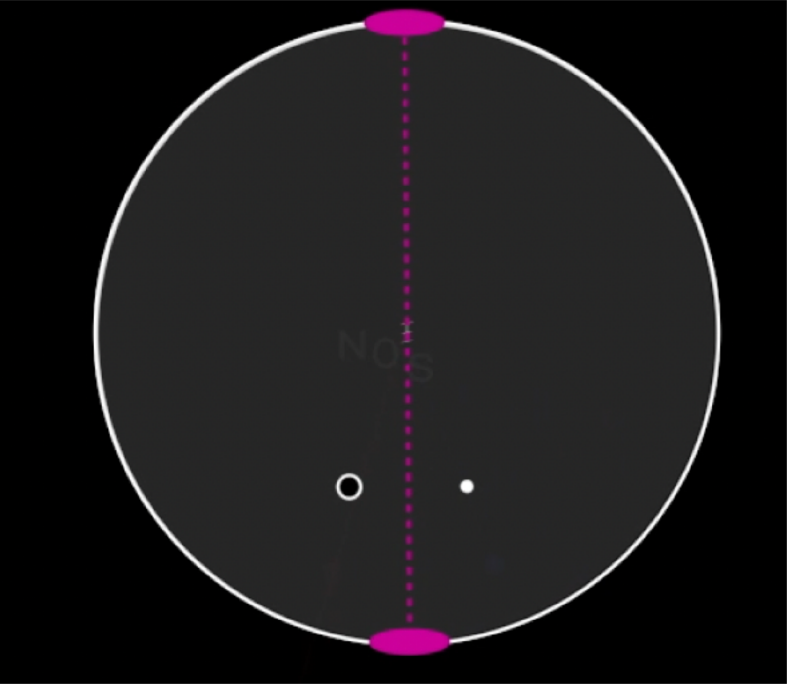
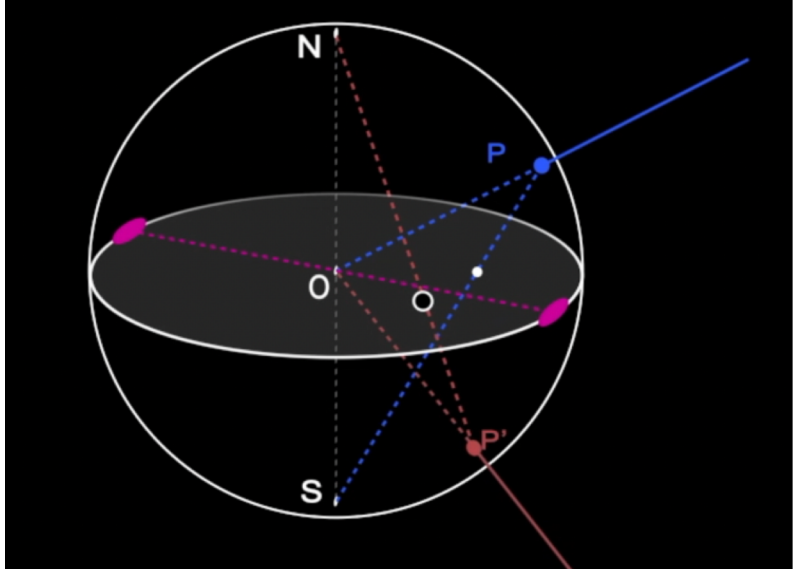


8 – Projection stéréographique

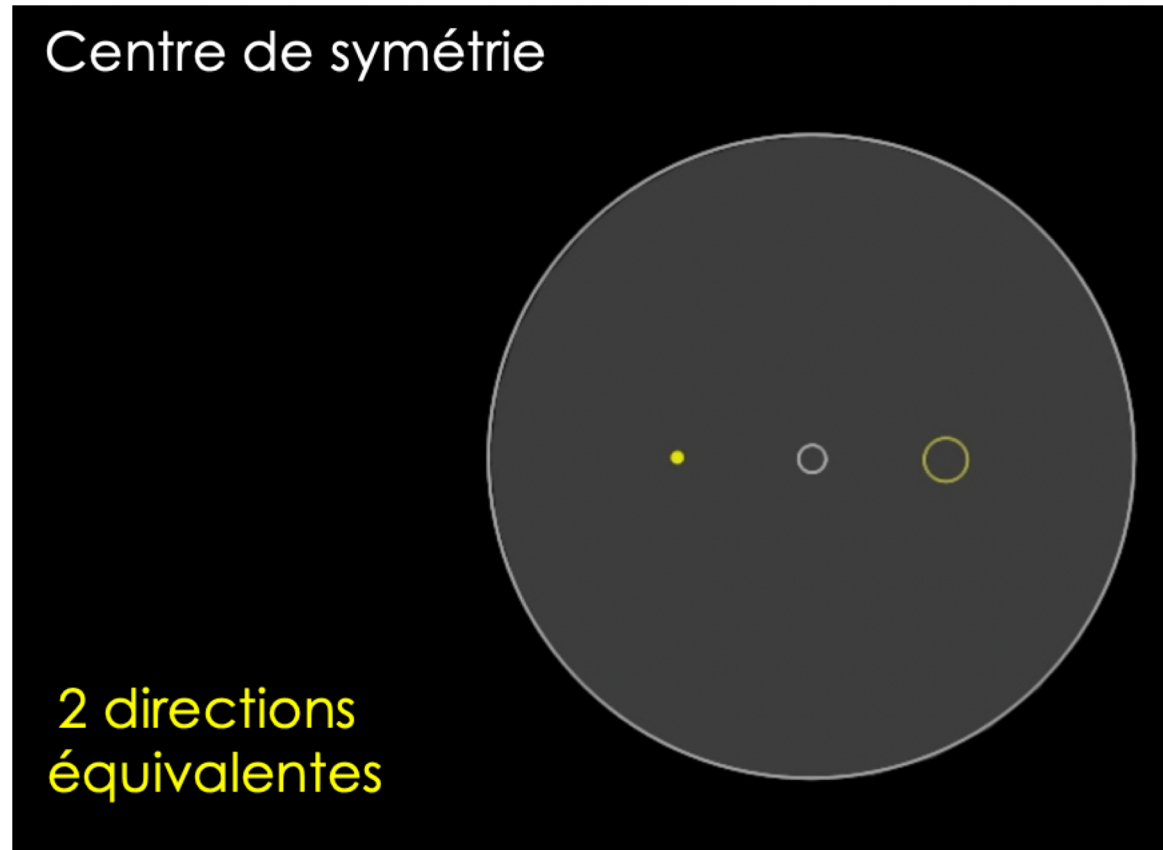
$A_2 \perp$ axe Nord-Sud



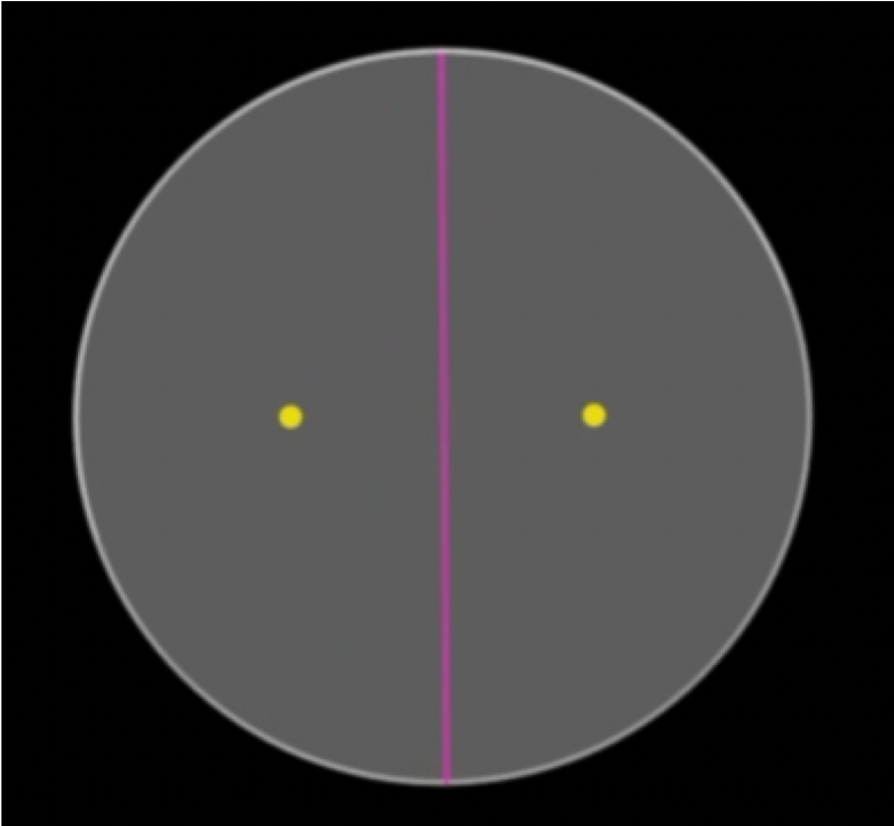
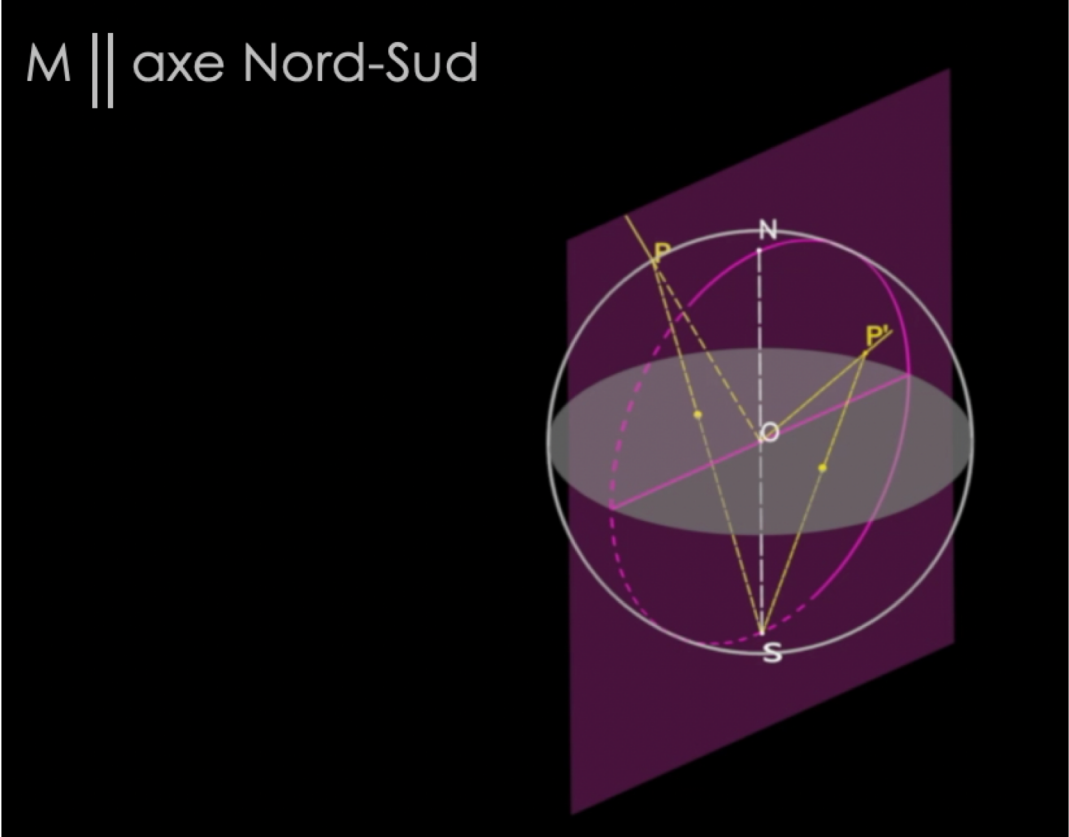
$A_2 \perp$ axe Nord-Sud



8 – Projection stéréographique

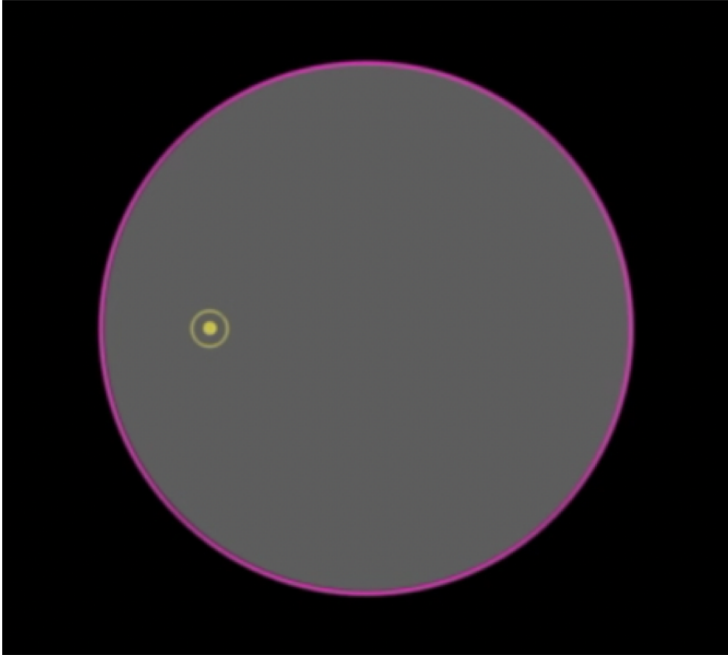
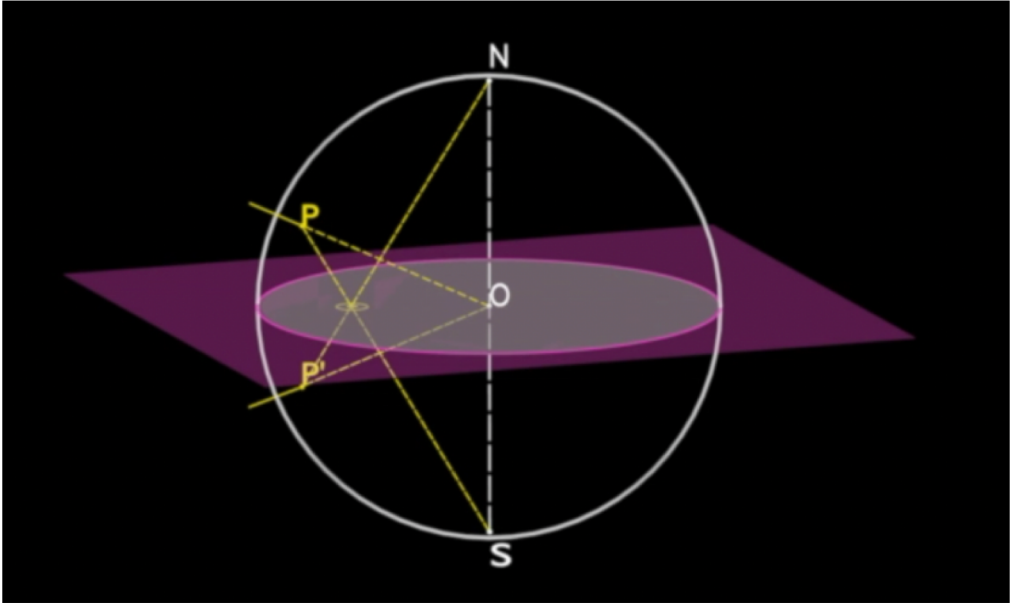


8 – Projection stéréographique



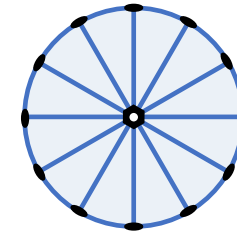
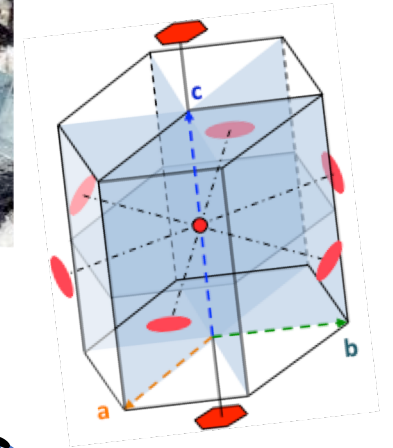
8 – Projection stéréographique

$M \perp$ axe Nord-Sud



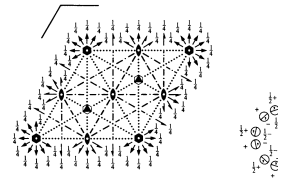
Plan du cours

- 1- Observation des symétries des cristaux naturels
- 2- Cause interne de la forme des cristaux naturels
- 3 - Réseau, maille, motif
- 4 – Rangées et plans réticulaires
- 5 – Réseau réciproque
- 6 - Réseau et symétries
- 7 - Maille conventionnelle
- 8 – Projection stéréographique
- 9 – Roto-inversions
- 10 – Les 32 groupes ponctuels cristallographiques
- 11 – Les 7 systèmes cristallins
- 12 – Les 14 réseaux de Bravais
- 13 – Les 230 groupes d'espace

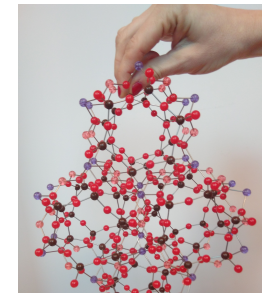


$\frac{6}{m}$ mm

$P6/mcc$ D_{6h}^2
No. 192 $P 6/m 2/c 2/c$



Origin at centre (6/m) at 6/mcc

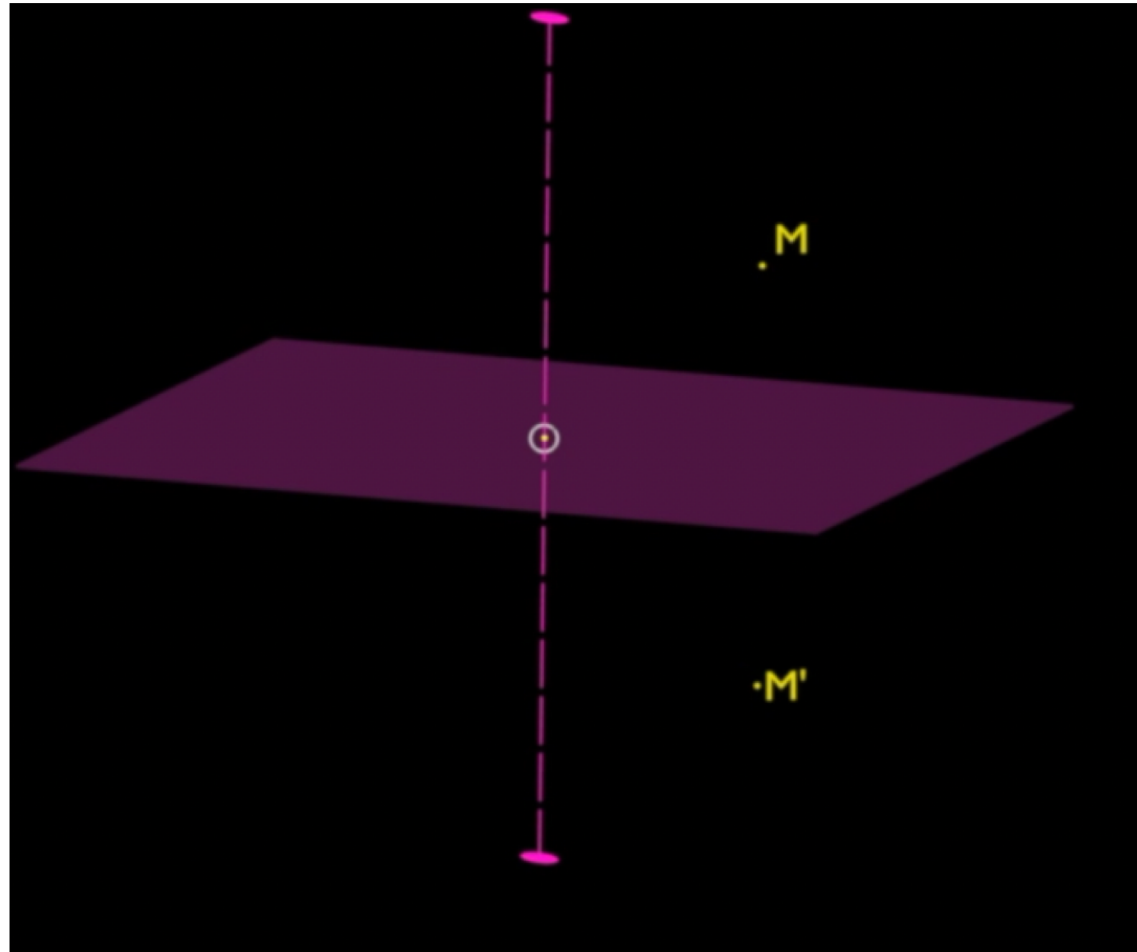


9 – Roto-inversions

$$M = A_2 \times C$$

roto-inversion d'ordre 2

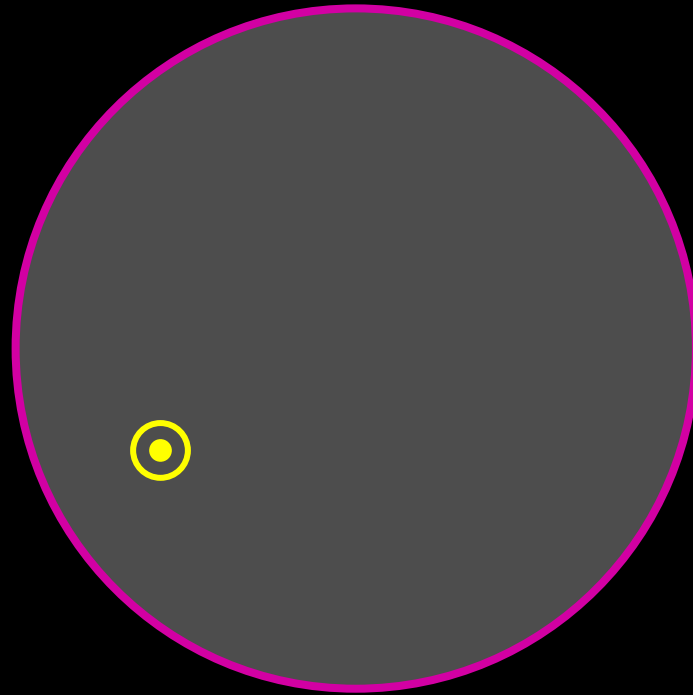
$$M \equiv \bar{A}_2$$



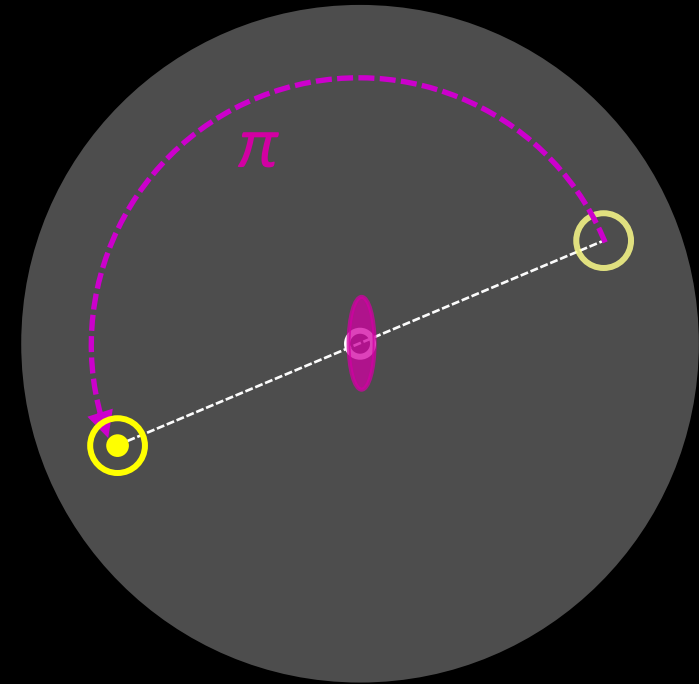
9 – Roto-inversions

$$M = A_2 \times C$$

roto-inversion d'ordre 2



$$M \equiv \bar{A}_2$$



9 – Roto-inversions

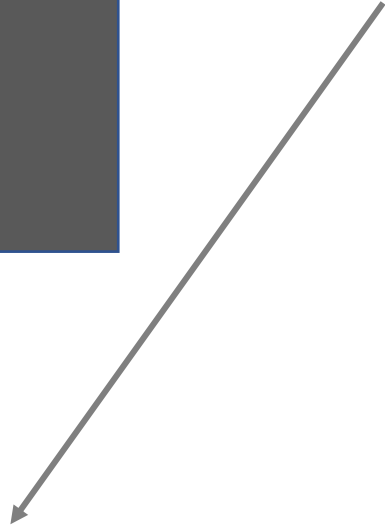
A_1	A_2	A_3	A_4	A_6
identité				
1	2	3	4	6

notation de
Hermann-Mauguin



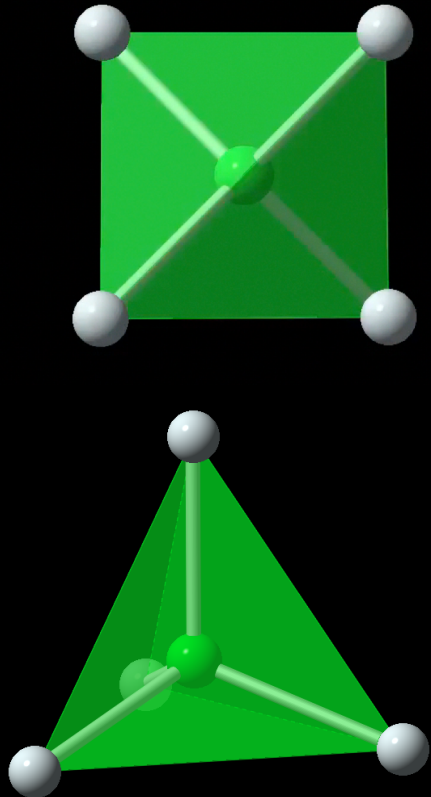
rotoinversion \bar{n} = rotation $\frac{2\pi}{n}$ \times inversion

$C \equiv \bar{A}_1$	$M \equiv \bar{A}_2$	\bar{A}_3	\bar{A}_4	\bar{A}_6
centre				
$\bar{1}$	m	$\bar{3}$	$\bar{4}$	$\bar{6}$

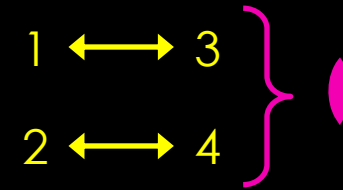
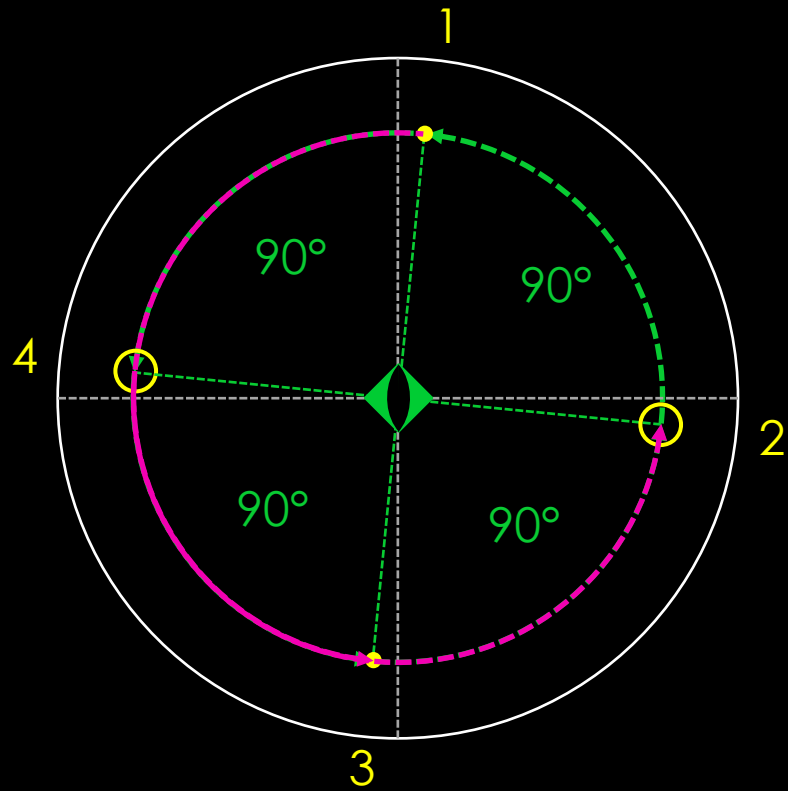


9 – Roto-inversions

$\bar{4}$

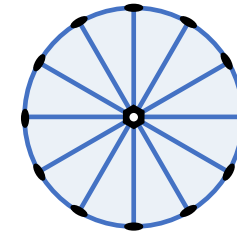
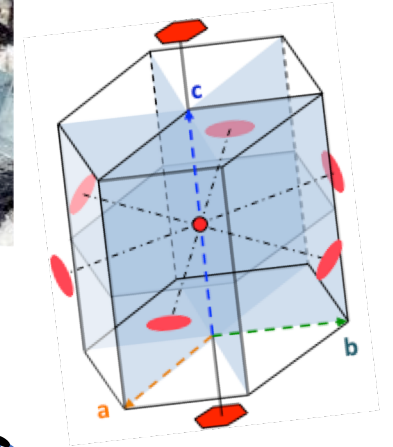


axe $\bar{4}$



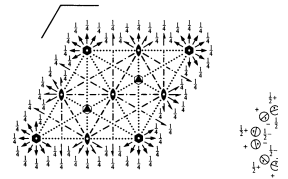
Plan du cours

- 1- Observation des symétries des cristaux naturels
- 2- Cause interne de la forme des cristaux naturels
- 3 - Réseau, maille, motif
- 4 – Rangées et plans réticulaires
- 5 – Réseau réciproque
- 6 - Réseau et symétries
- 7 - Maille conventionnelle
- 8 – Projection stéréographique
- 9 – Roto-inversions
- 10 – Les 32 groupes ponctuels cristallographiques
- 11 – Les 7 systèmes cristallins
- 12 – Les 14 réseaux de Bravais
- 13 – Les 230 groupes d'espace

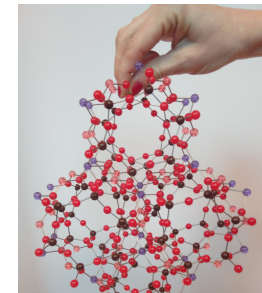


$$\frac{6}{m} \text{ mm}$$

$P6/mcc$ D_{6h}^2
No. 192 $P 6/m 2/c 2/c$



Origin at centre (6/m) at 6/mcc



10 – Groupes ponctuels cristallographiques

Les « combinaisons » possibles des 10 rotations et des 10 roto-inversions forment les **32 groupes ponctuels cristallographiques**, appelés aussi les **32 classes de symétrie d'orientation**.

groupe ponctuel : ensemble des éléments de symétrie passant par un point fixe

La symétrie des **propriétés physiques** macroscopiques d'un cristal découle de son groupe ponctuel cristallographique.

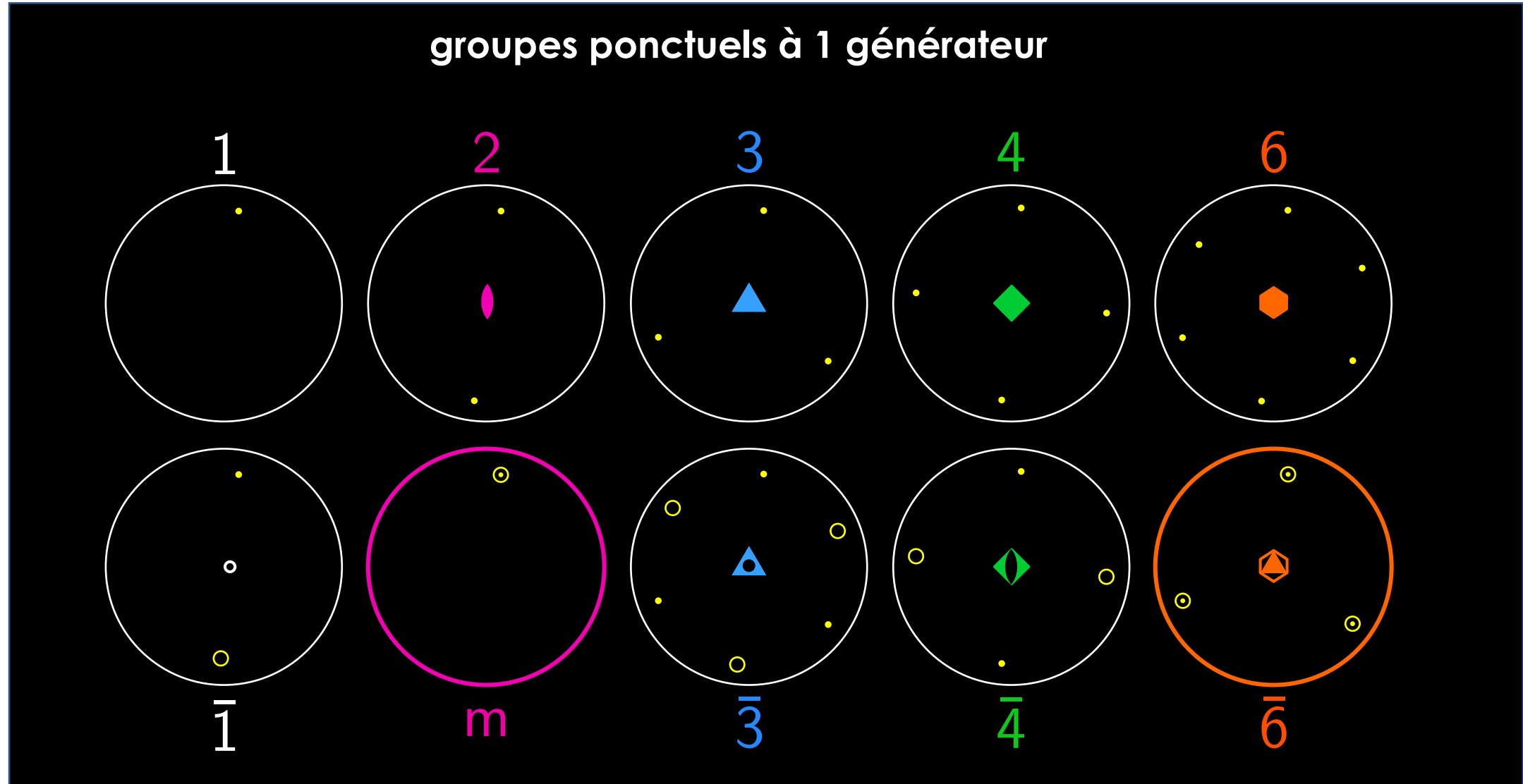
- propriétés physiques sensibles aux symétries des directions (qui sont invariantes sous l'action des translations)
- importance de connaître, pour un groupe ponctuel donné, les directions équivalentes à une direction par les opérations de symétrie qui définissent le groupe.

10 – Groupes ponctuels cristallographiques

2 CATEGORIES :

- Les groupes contenant PLUS d'un axe A_n avec $n > 2$
→ **les 5 groupes cubiques**
 - Les autres groupes
→ **les 27 groupes non cubiques**
-
- On en connaît déjà 10 ! → groupes à 1 seul générateur
 - Groupes à 2 ou 3 générateurs

10 – Groupes ponctuels cristallographiques



10 – Groupes ponctuels cristallographiques

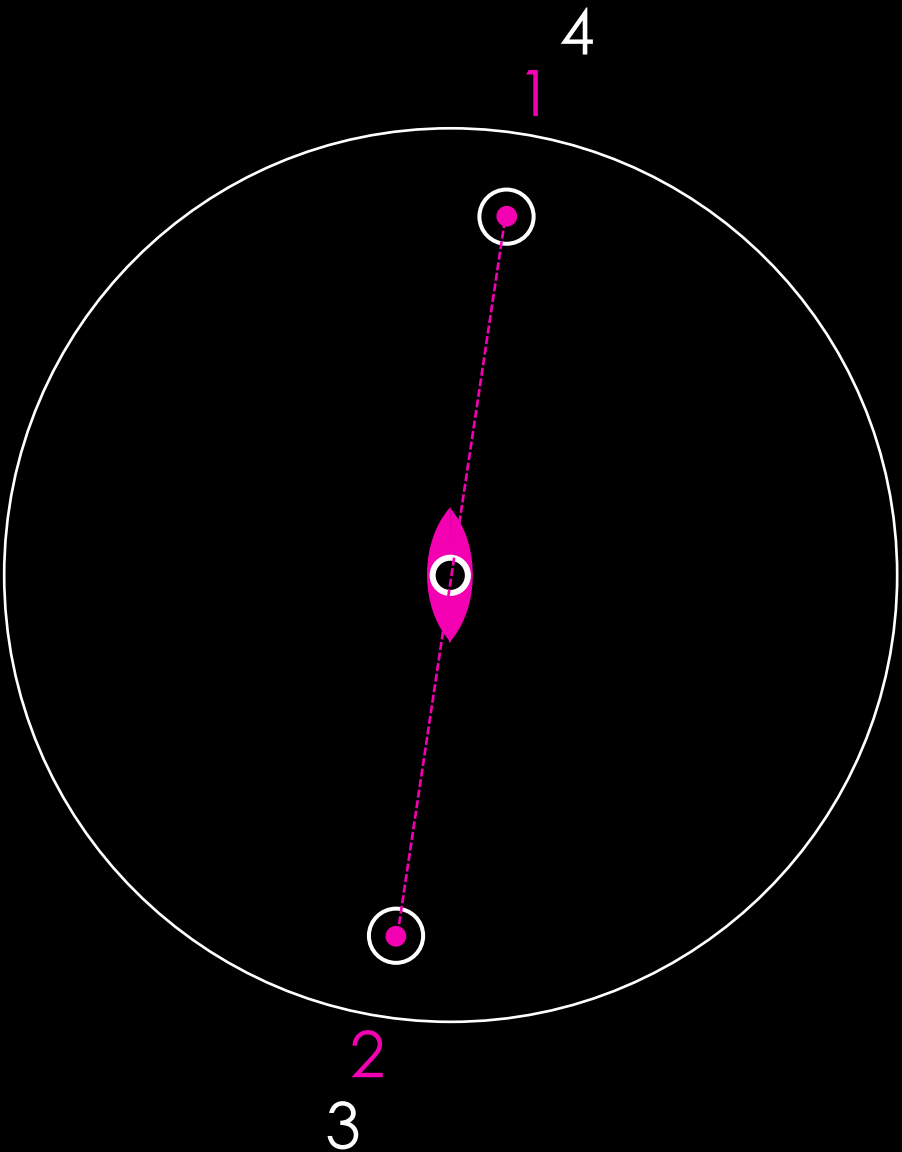
groupes ponctuels à 2 générateurs

générateur 1	générateur 2
C	C
A_2	M
A_3	A_2
A_4	\perp ou \parallel à A_n et \bar{A}_n
A_6	

14 groupes
non-cubiques
à 2 générateurs

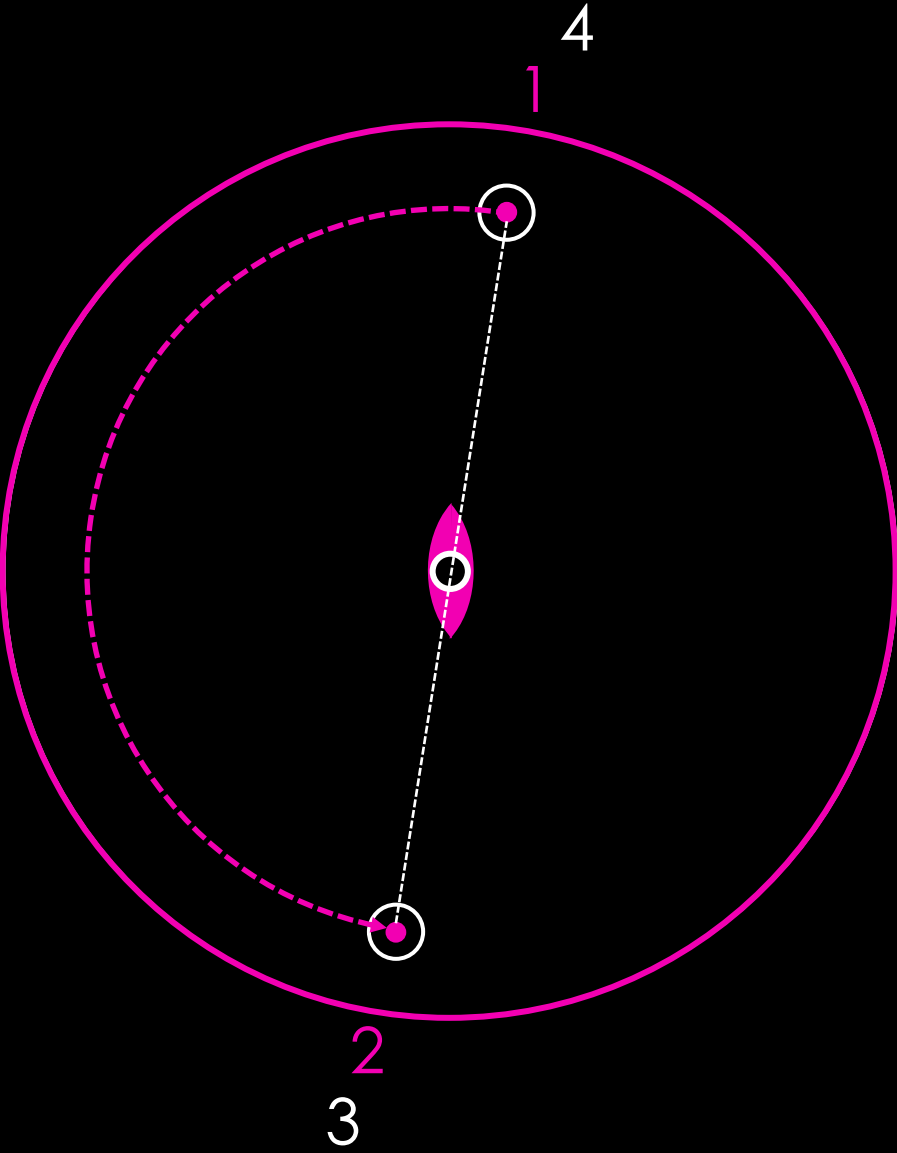
A_2 et C

1 \longrightarrow 3
2 \longrightarrow 4



1 \longrightarrow 2 : ?
1 \longrightarrow 3 : ?
1 \longrightarrow 4 : ?

A_2 et C

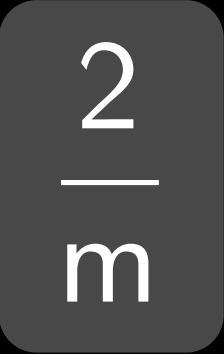
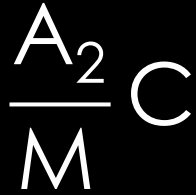
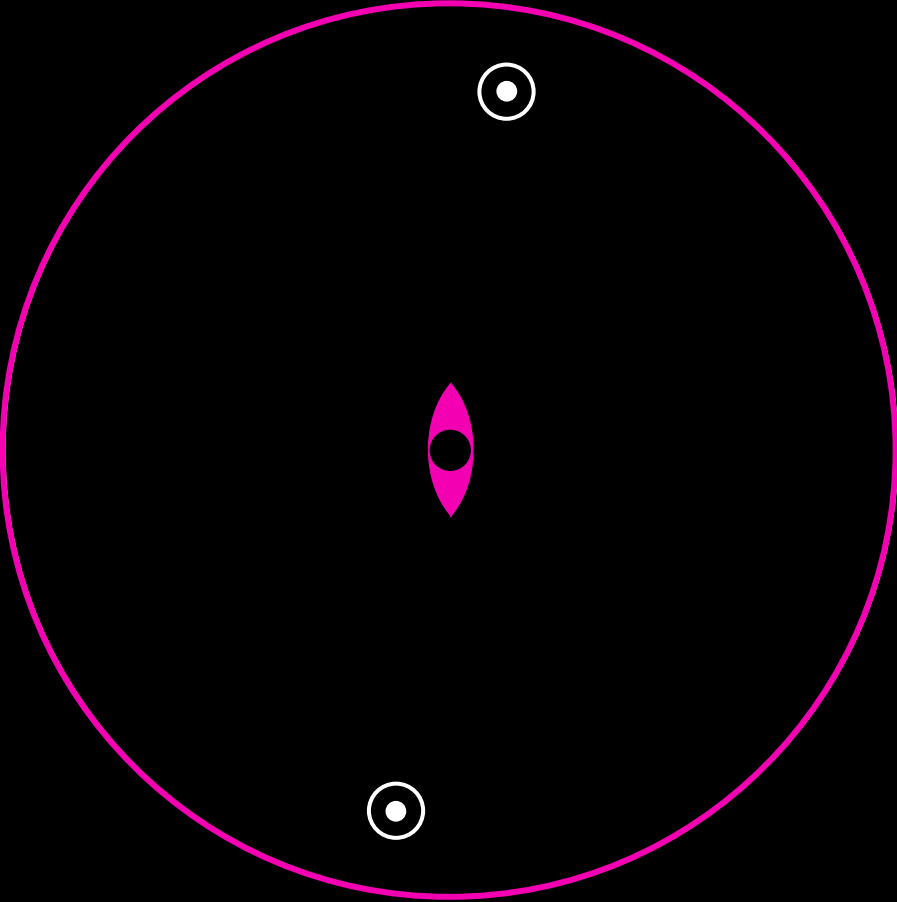


1 \longrightarrow 2 : ?

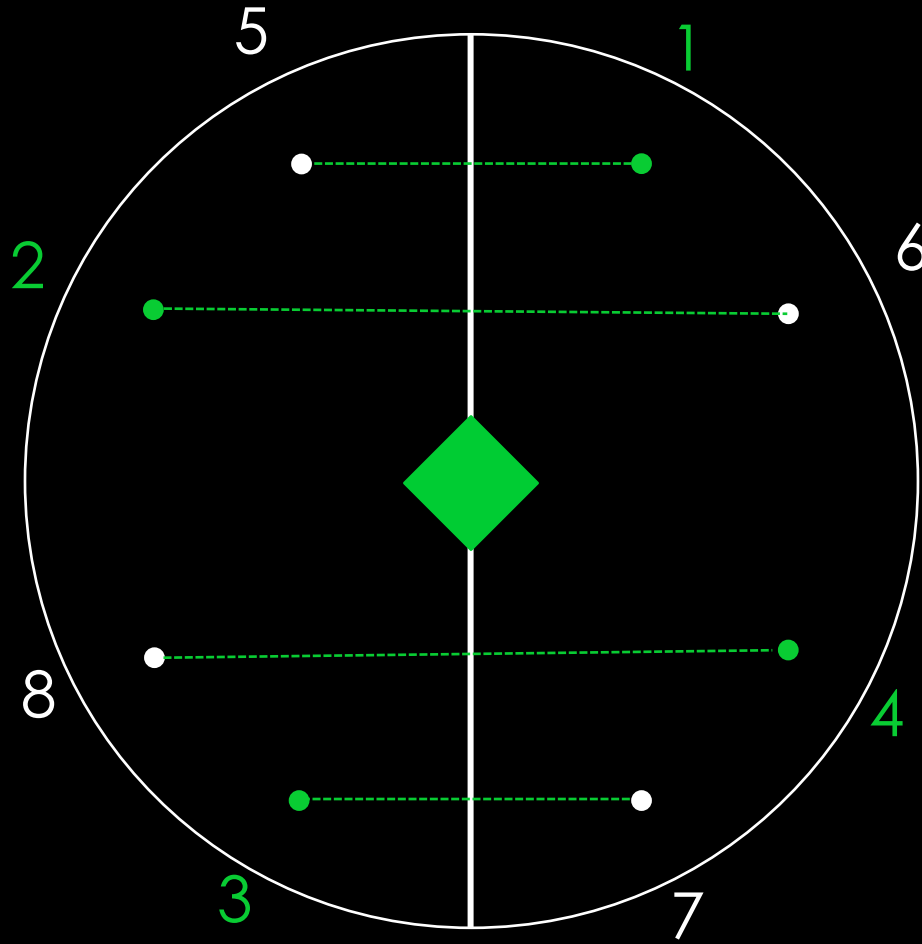
1 \longrightarrow 3 : O

1 \longrightarrow 4 : M

A_2 et C

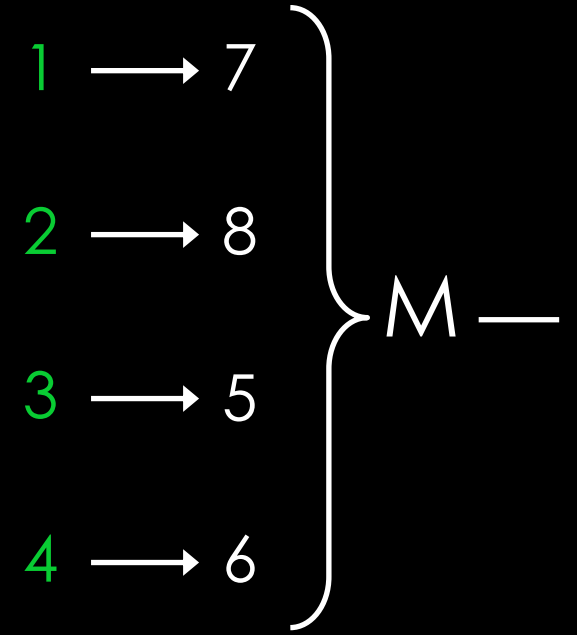
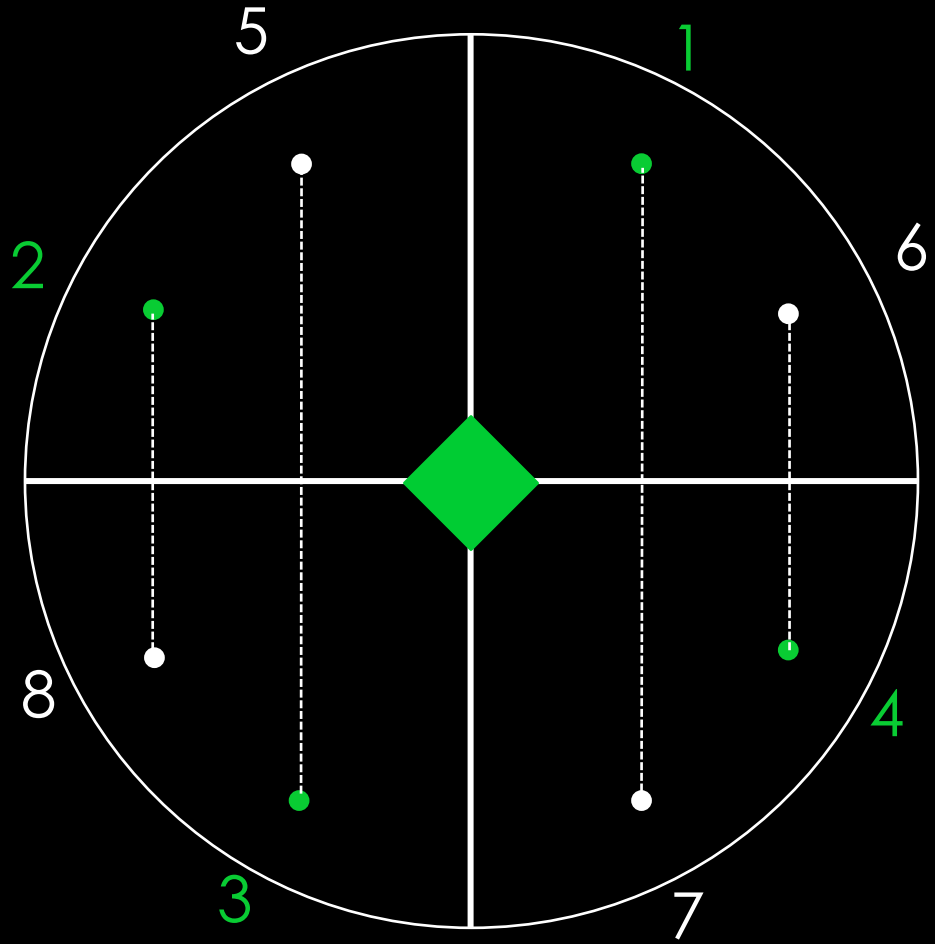


A_4 et $M \parallel$

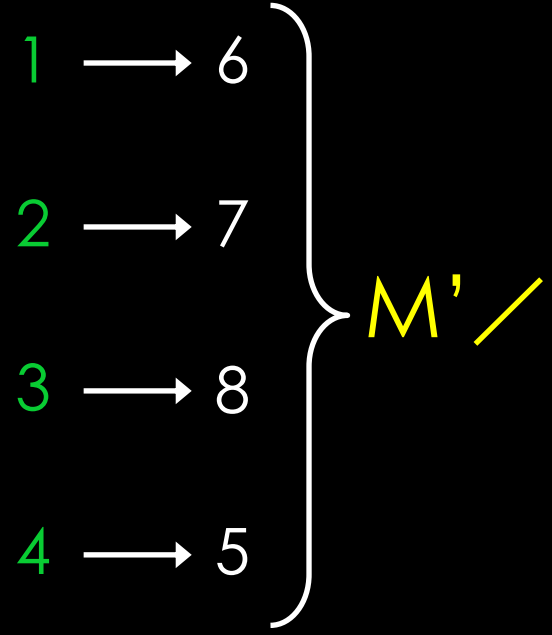
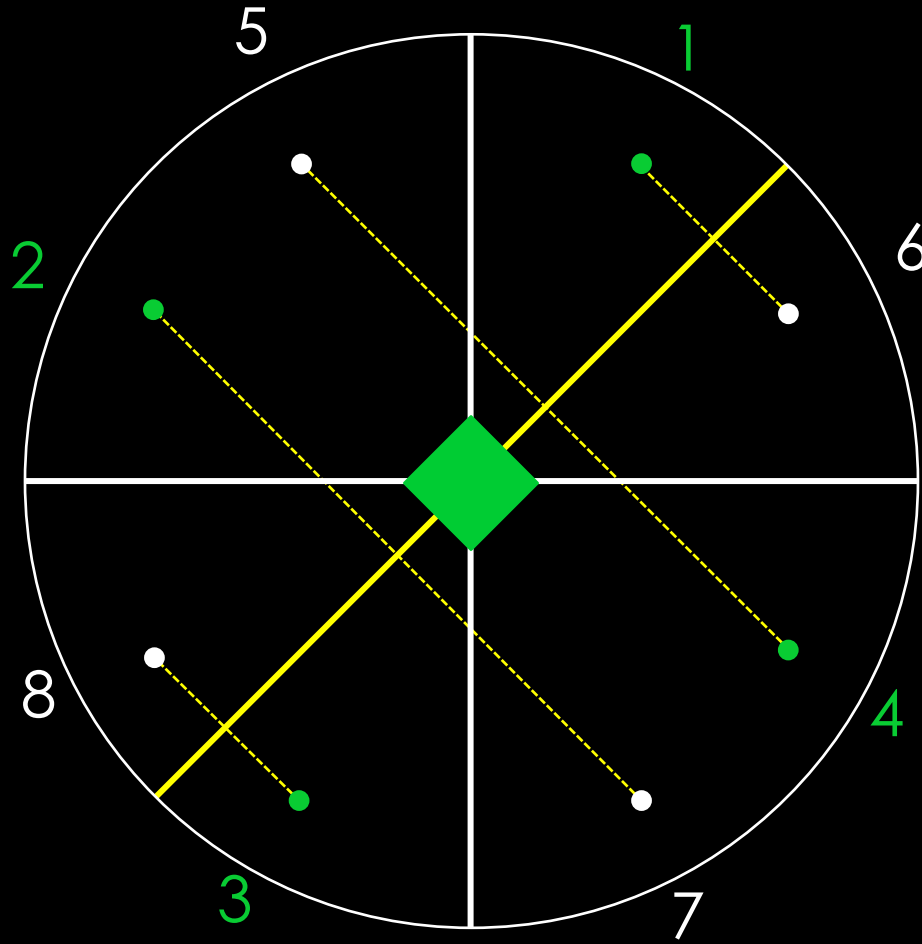


8 directions
équivalentes

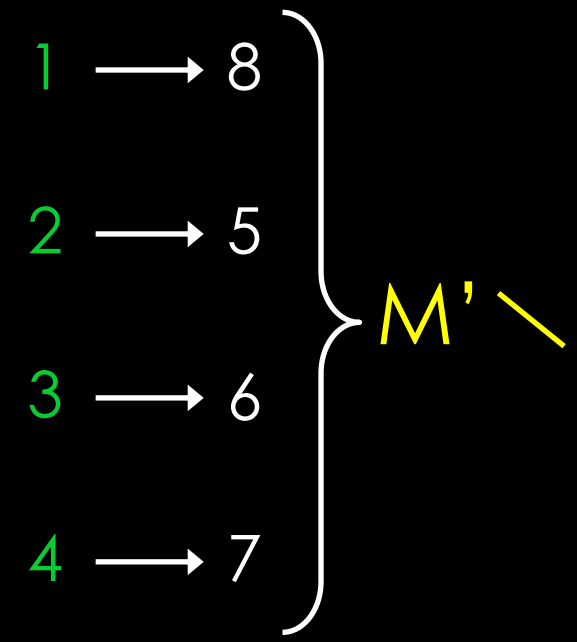
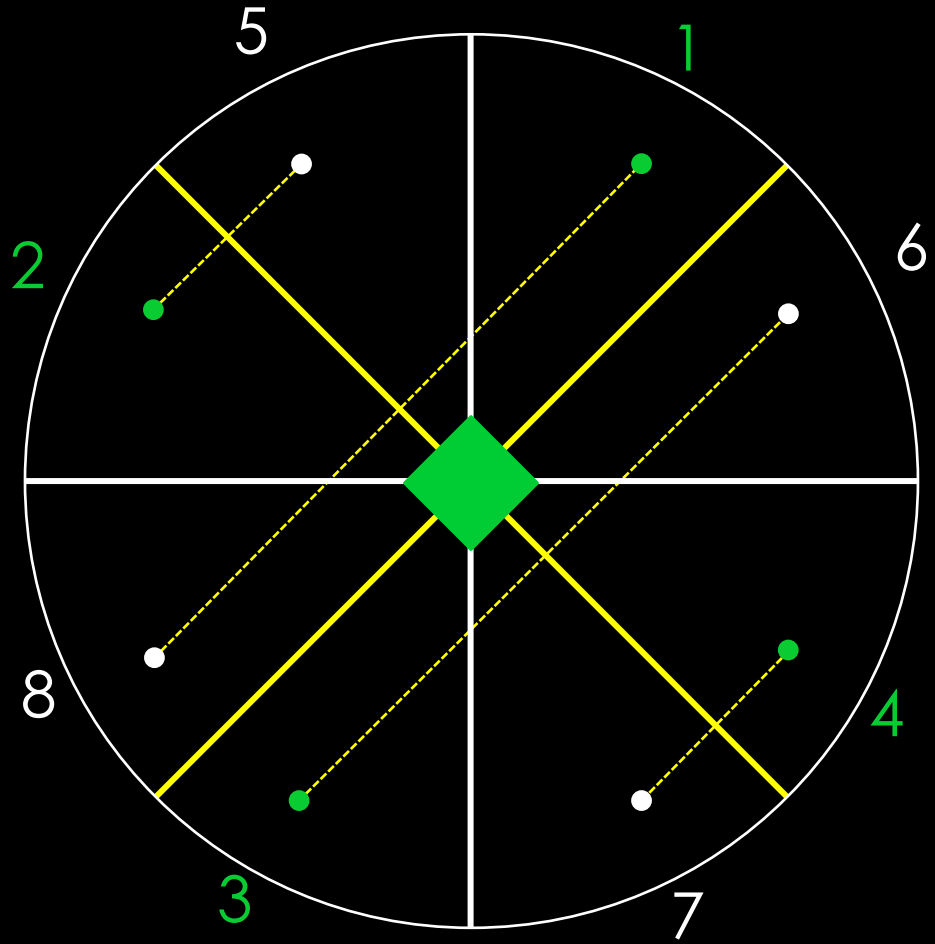
A_4 et M II



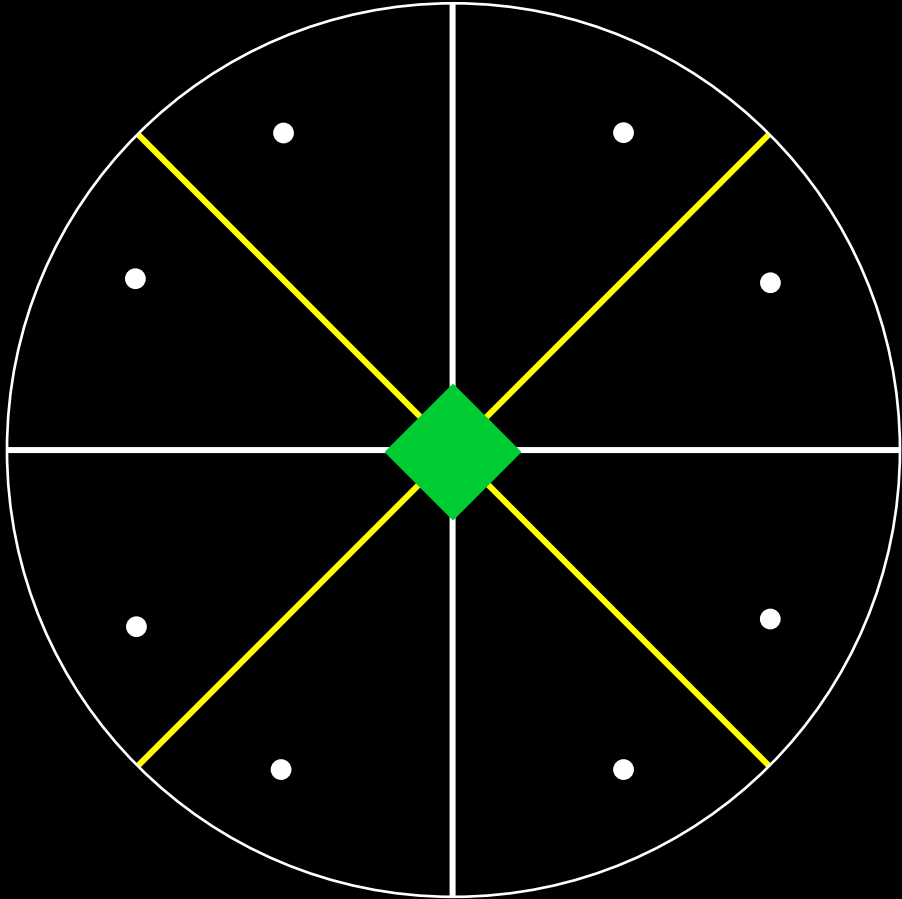
A_4 et $M \parallel$



A_4 et $M \parallel$

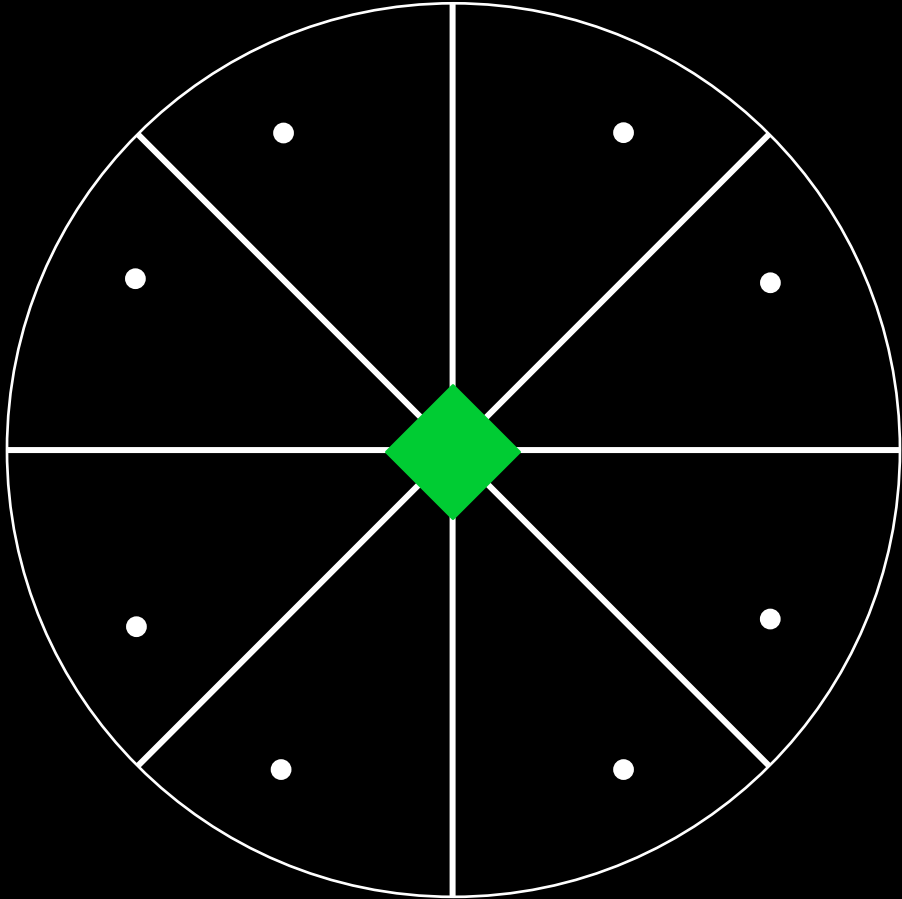


A_4 et $M \parallel$



A_4 2M 2M'

A_4 et $M \parallel$



A_4 2M 2M'

4mm

10 – Groupes ponctuels cristallographiques

$2/m$ 222 $mm2$

$\bar{3}m$ 32 $3m$

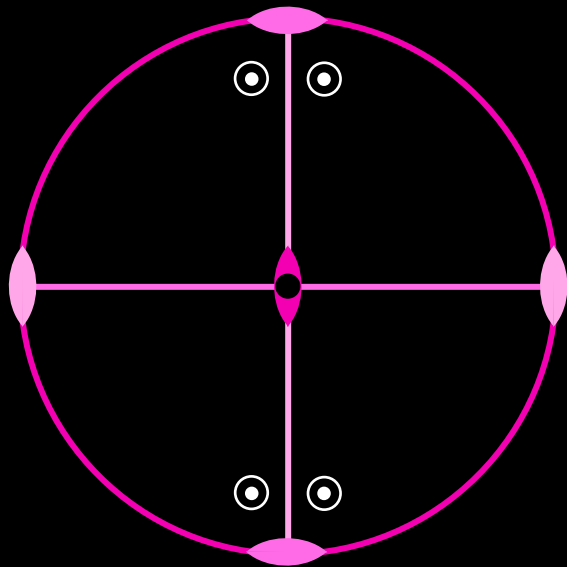
$4/m$ 422 $4mm$ $\bar{4}2m$

$6/m$ 622 $6mm$ $\bar{6}2m$

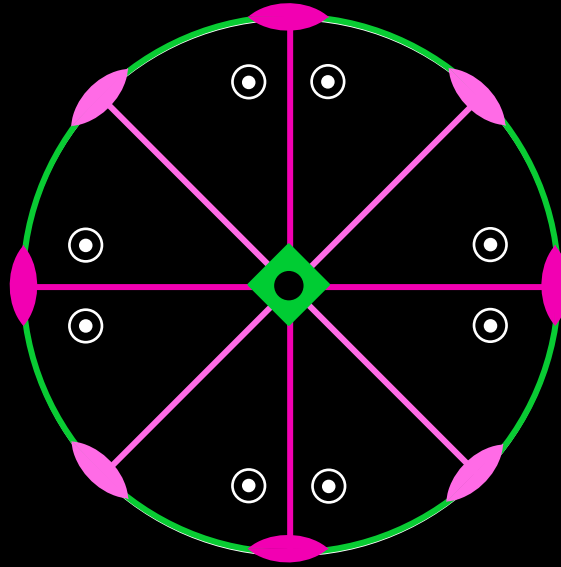
$\times \bar{1}$

3 groupes
non-cubiques
à 3 générateurs

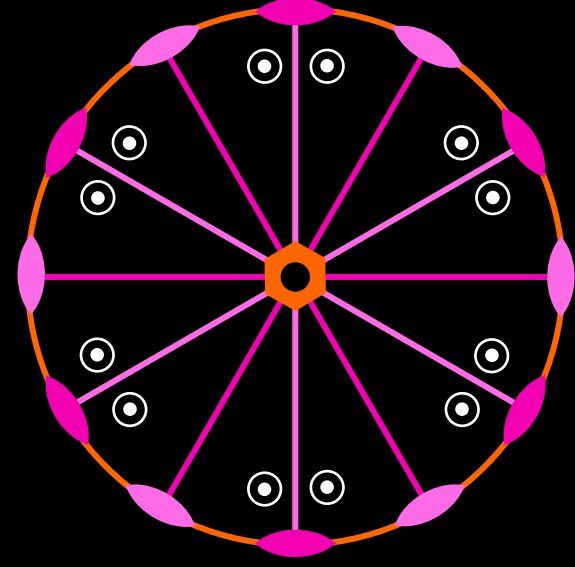
$m m m$



$\frac{4}{m} m m$



$\frac{6}{m} m m$



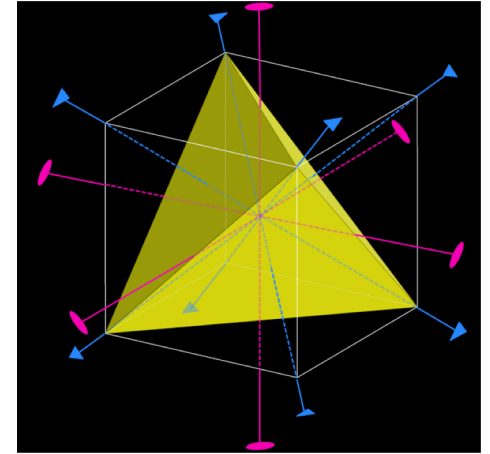
3 groupes ponctuels non-cubiques à 3 générateurs

10 – Groupes ponctuels cristallographiques

Les 5 groupes ponctuels cubiques

- Ils contiennent **au minimum** 4 A_3 (orientés selon les directions $\langle 111 \rangle$) et 3 A_2 (orientés selon les directions $\langle 100 \rangle$)

$3 A_2 \ 4 A_3$	$2 \ 3$	T	groupe des rotations du tétraèdre régulier
$\frac{3 A_2}{3 M} \ 4 \bar{A}_3 \ C$	$m \ \bar{3}$	T_h	obtenu en ajoutant un centre à $2 \ 3$
$3 \bar{A}_4 \ 4 A_3 \ 6 M'$	$\bar{4} \ 3 \ m$	T_d	obtenu à partir de $2 \ 3$ en remplaçant les A_2 par des \bar{A}_4 groupe de symétrie du tétraèdre régulier
$3 A_4 \ 4 A_3 \ 6 A'_2$	$4 \ 3 \ 2$	O	obtenu à partir de $2 \ 3$ en remplaçant les A_2 par des A_4 groupe des rotations de l'octaèdre régulier
$\frac{3 A_4}{3 M} \ 4 \bar{A}_3 \ \frac{6 A'_2}{6 M'} \ C$	$m \ \bar{3} \ m$	O_h	obtenu en ajoutant un centre à $4 \ 3 \ 2$ groupe de symétrie de l'octaèdre régulier



10 – Groupes ponctuels cristallographiques

Les 5 groupes ponctuels cubiques

T	$3 A_2$	$4 A_3$		$2 3$
T_h	$\frac{3 A_2}{3 M}$	$4 \bar{A}_3$	C	$m \bar{3}$
T_d	$3 \bar{A}_4$	$4 A_3$	$6 M'$	$\bar{4} 3 m$
O	$3 A_4$	$4 A_3$	$6 A'_2$	$4 3 2$
O_h	$\frac{3 A_4}{3 M}$	$4 \bar{A}_3$	$\frac{6 A'_2}{6 M'}$	C $m \bar{3} m$

← directions $\langle 001 \rangle$ ↑

10 – Groupes ponctuels cristallographiques

Les 5 groupes ponctuels cubiques

T	$3 A_2$	$4 A_3$		$2 3$
T_h	$\frac{3 A_2}{3 M}$	$4 \bar{A}_3$	C	$m \bar{3}$
T_d	$3 \bar{A}_4$	$4 A_3$	$6 M'$	$\bar{4} 3 m$
O	$3 A_4$	$4 A_3$	$6 A'_2$	$4 3 2$
O_h	$\frac{3 A_4}{3 M}$	$4 \bar{A}_3$	$\frac{6 A'_2}{6 M'}$	$C \quad m \bar{3} m$

← directions $\langle 111 \rangle$ →

10 – Groupes ponctuels cristallographiques

Les 5 groupes ponctuels cubiques

T	$3 A_2$	$4 A_3$		$2 3$
T_h	$\frac{3 A_2}{3 M}$	$4 \bar{A}_3$	C	$m \bar{3}$
T_d	$3 \bar{A}_4$	$4 A_3$	$6 M'$	$\bar{4} 3 m$
O	$3 A_4$	$4 A_3$	$6 A'_2$	$4 3 2$
O_h	$\frac{3 A_4}{3 M}$	$4 \bar{A}_3$	$\frac{6 A'_2}{6 M'}$	C $m \bar{3} m$

directions $\langle 011 \rangle$

10 – Groupes ponctuels cristallographiques

Les 5 groupes ponctuels cubiques

T	$3 A_2$	$4 A_3$		$2 3$
T_h	$\frac{3 A_2}{3 M}$	$4 A_3$	C	$m \bar{3}$
T_d	$3 \bar{A}_4$	$4 A_3$	$6 M'$	$\bar{4} 3 m$
O	$3 A_4$	$4 A_3$	$6 A'_2$	$4 3 2$
O_h	$\frac{3 A_4}{3 M}$	$4 A_3$	$\frac{6 A'_2}{6 M'}$	$C \quad m \bar{3} m$

10 – Groupes ponctuels cristallographiques

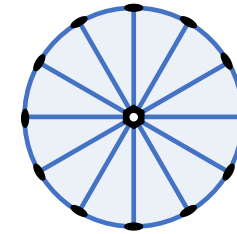
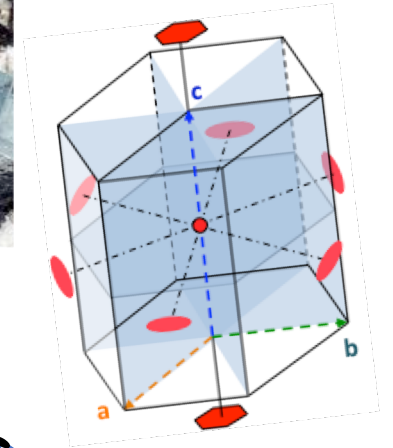
Les 5 groupes ponctuels cubiques

T	$3 A_2$	$4 A_3$		$2 3$
T_h	$\frac{3 A_2}{3 M}$	$4 \bar{A}_3$	C	$m \bar{3}$
T_d	$3 \bar{A}_4$	$4 A_3$	$6 M'$	$\bar{4} 3 m$
O	$3 A_4$	$4 A_3$	$6 A'_2$	$4 3 2$
O_h	$\frac{3 A_4}{3 M}$	$4 \bar{A}_3$	$\frac{6 A'_2}{6 M'}$	$C \quad m \bar{3} m$

holoédrie

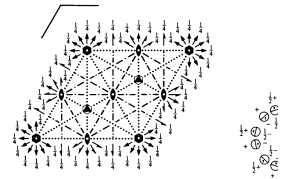
Plan du cours

- 1- Observation des symétries des cristaux naturels
- 2- Cause interne de la forme des cristaux naturels
- 3 - Réseau, maille, motif
- 4 – Rangées et plans réticulaires
- 5 – Réseau réciproque
- 6 - Réseau et symétries
- 7 - Maille conventionnelle
- 8 – Projection stéréographique
- 9 – Roto-inversions
- 10 – Les 32 groupes ponctuels cristallographiques
- 11 – Les 7 systèmes cristallins
- 12 – Les 14 réseaux de Bravais
- 13 – Les 230 groupes d'espace

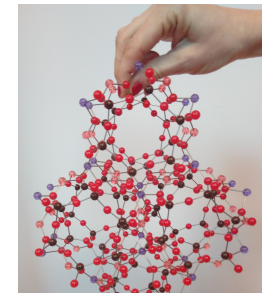


$\frac{6}{m}$ mm

$P6/mcc$ D_{6h}^2
No. 192 $P 6/m 2/c 2/c$



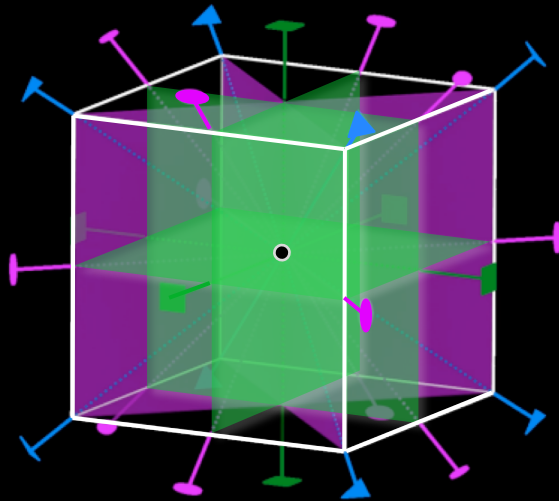
Origin at centre (6/m) at 6/mcc



11 – Systèmes cristallins

On peut classer les **32 groupes ponctuels cristallographiques** en **7 systèmes cristallins**.

systeme cubique



2 3

$m \bar{3}$

$\bar{4} 3 m$

4 3 2

$m \bar{3} m$

$$a = b = c$$

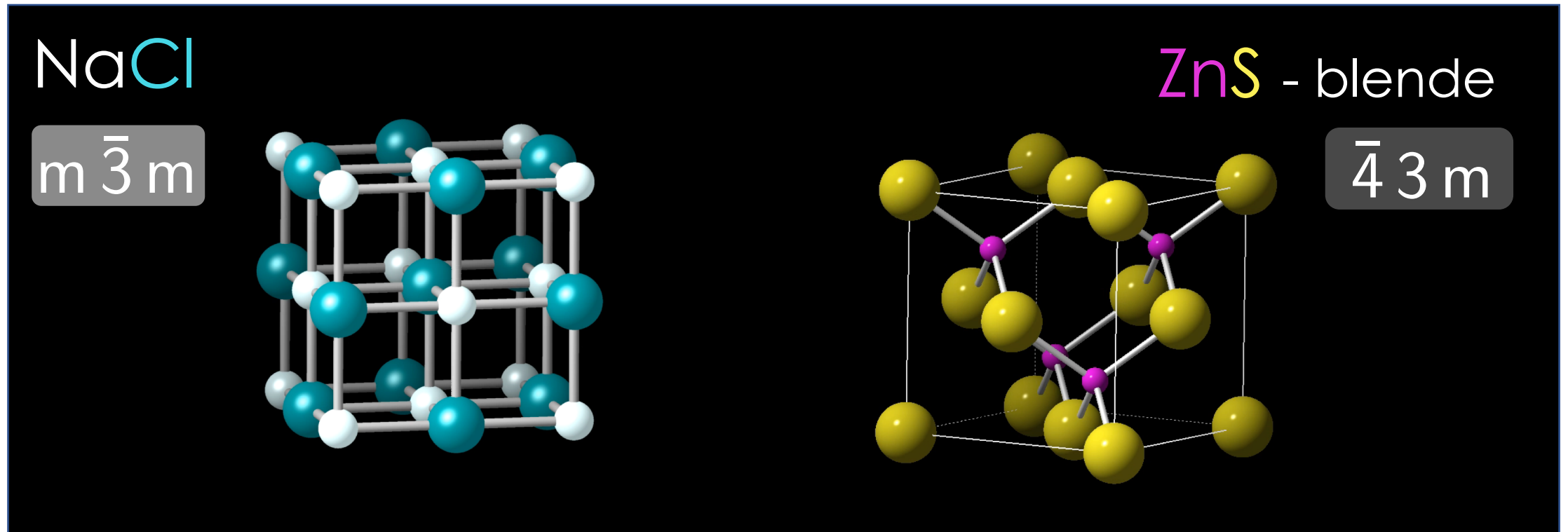
$$\alpha = \beta = \gamma = 90^\circ$$

← holoédrie

11 – Systèmes cristallins

On peut classer les **32 groupes ponctuels cristallographiques** en **7 systèmes cristallins**.

symétrie du cristal \leq symétrie du réseau



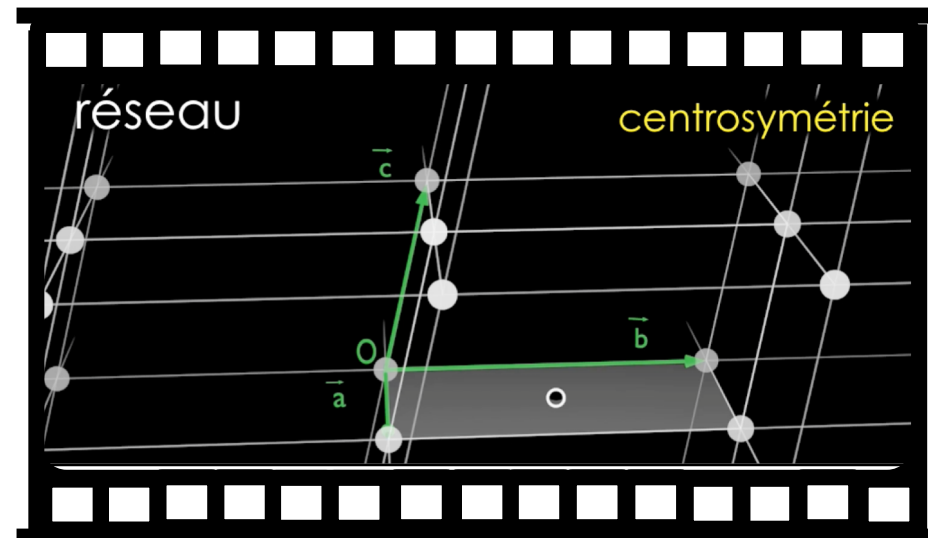
Parmi les 27 groupes ponctuels
non-cubiques,
lesquels définissent un réseau
avec des restrictions particulières
sur les paramètres de maille ?

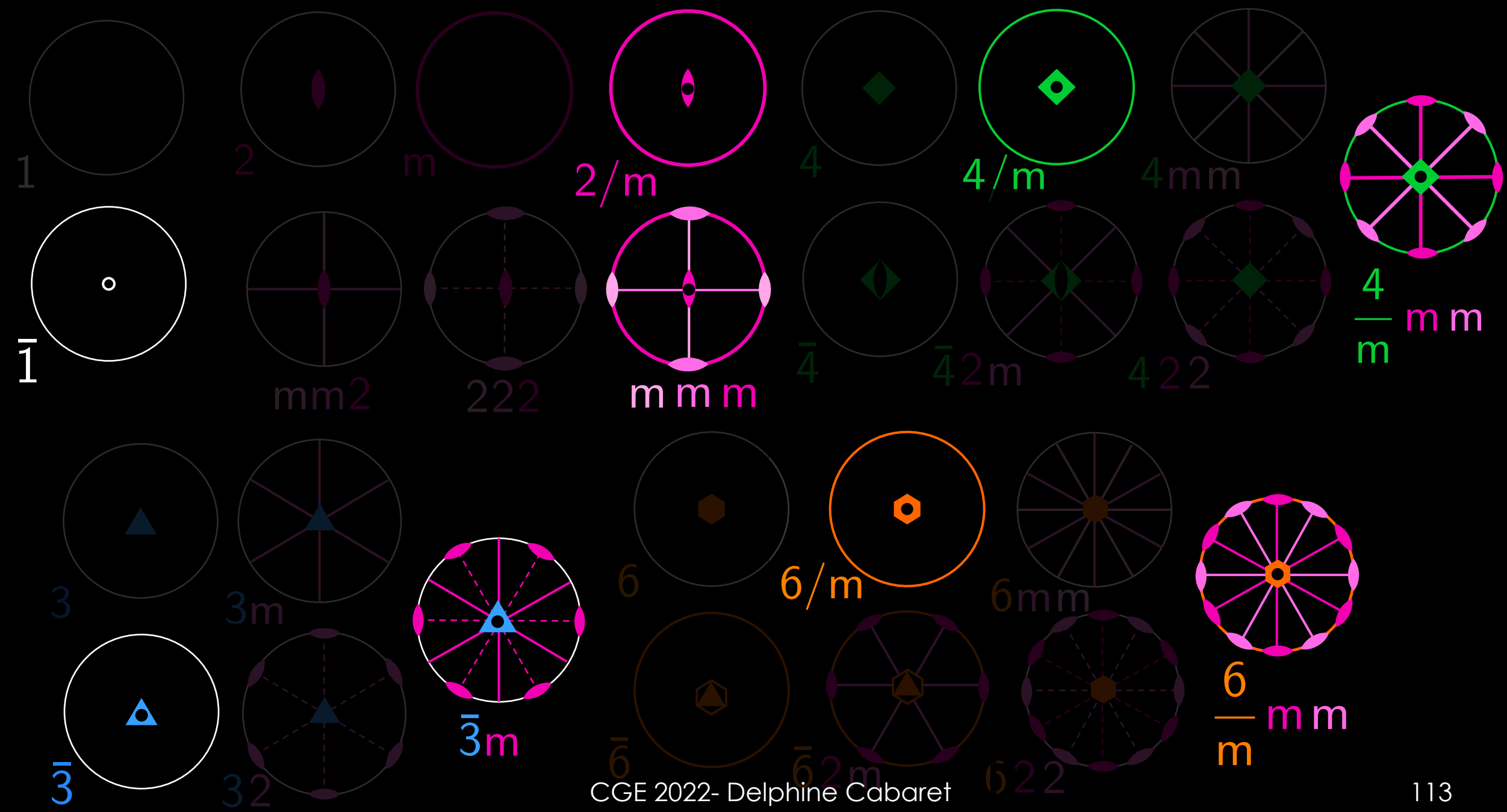
11 – Systèmes cristallins

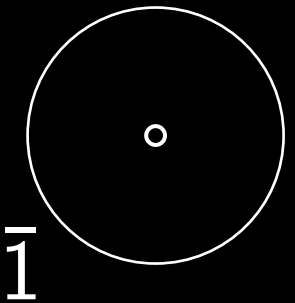
On peut classer les **32 groupes ponctuels cristallographiques** en **7 systèmes cristallins**.

symétrie du cristal \leq symétrie du réseau

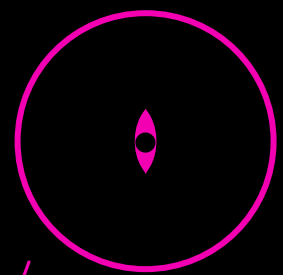
tout réseau est centrosymétrique



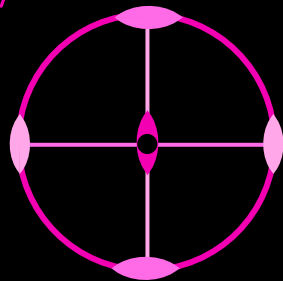




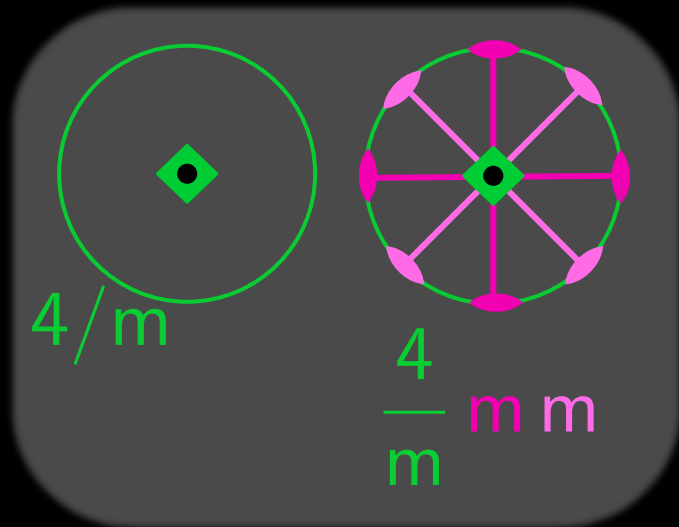
1



2/m



mmm

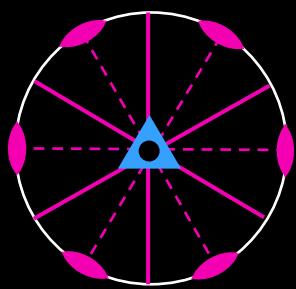


4/m

4
—
m m m



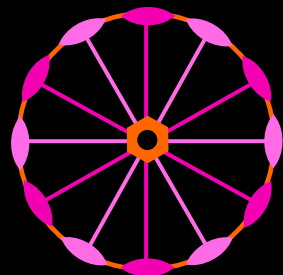
3



3m



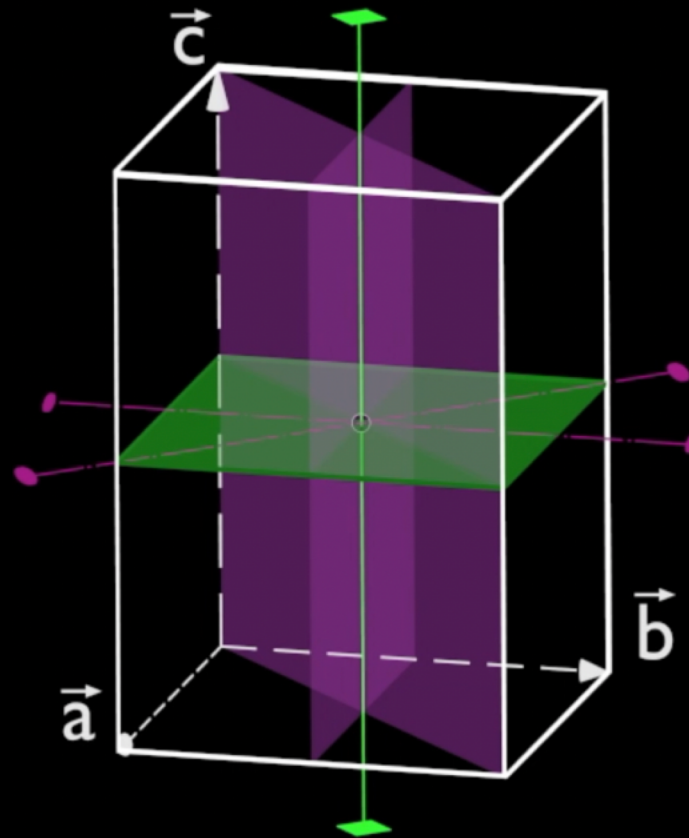
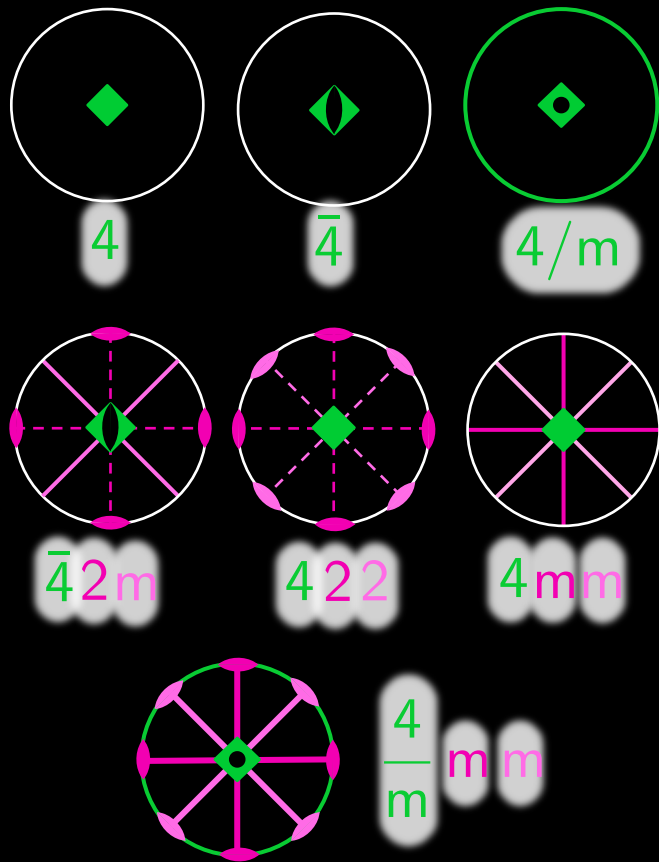
6/m



6
—
m m m

Classes
de Laue

systeme quadratique



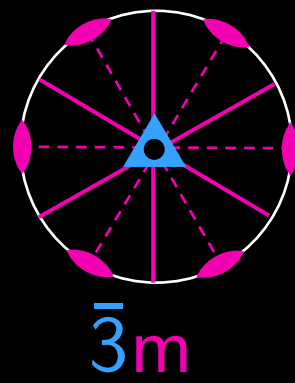
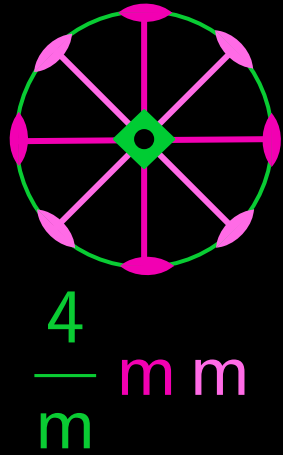
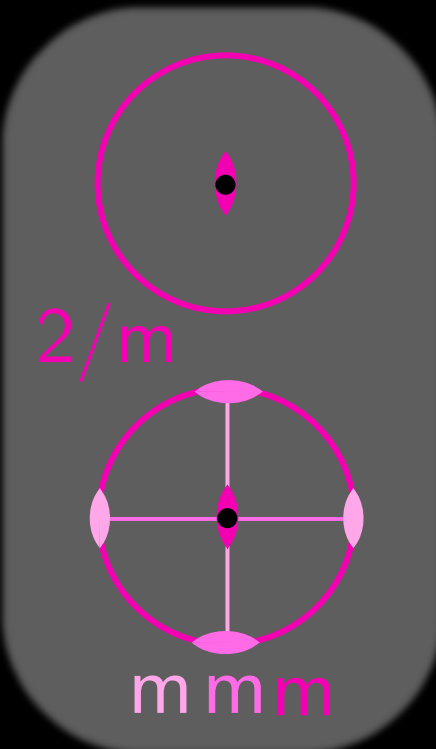
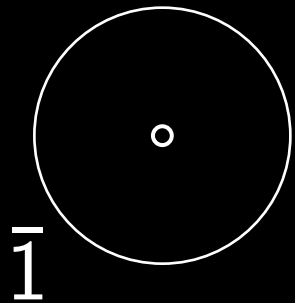
$$a = b$$

$$\alpha = \beta = \gamma = 90^\circ$$

direction $[001]$

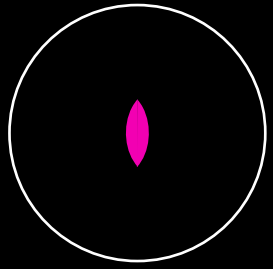
directions $[100]$ et $[010]$

directions $[110]$ et $[\bar{1}10]$

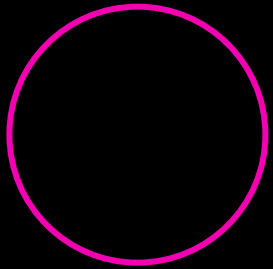
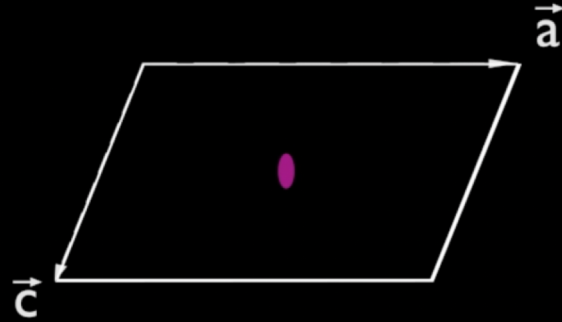


Classes de Laue

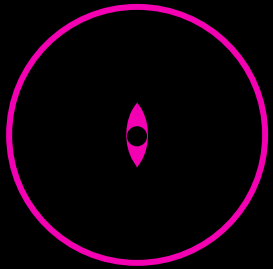
systeme monoclinique



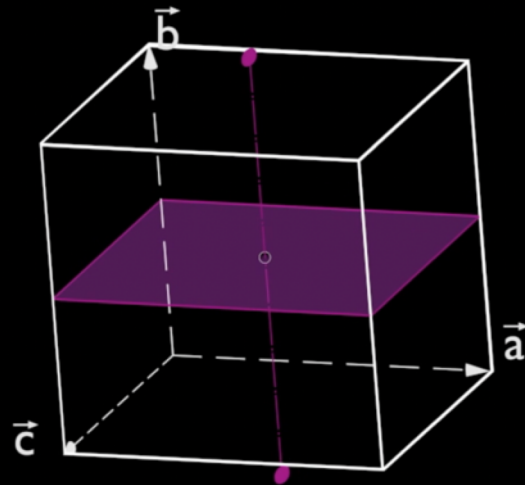
2



m

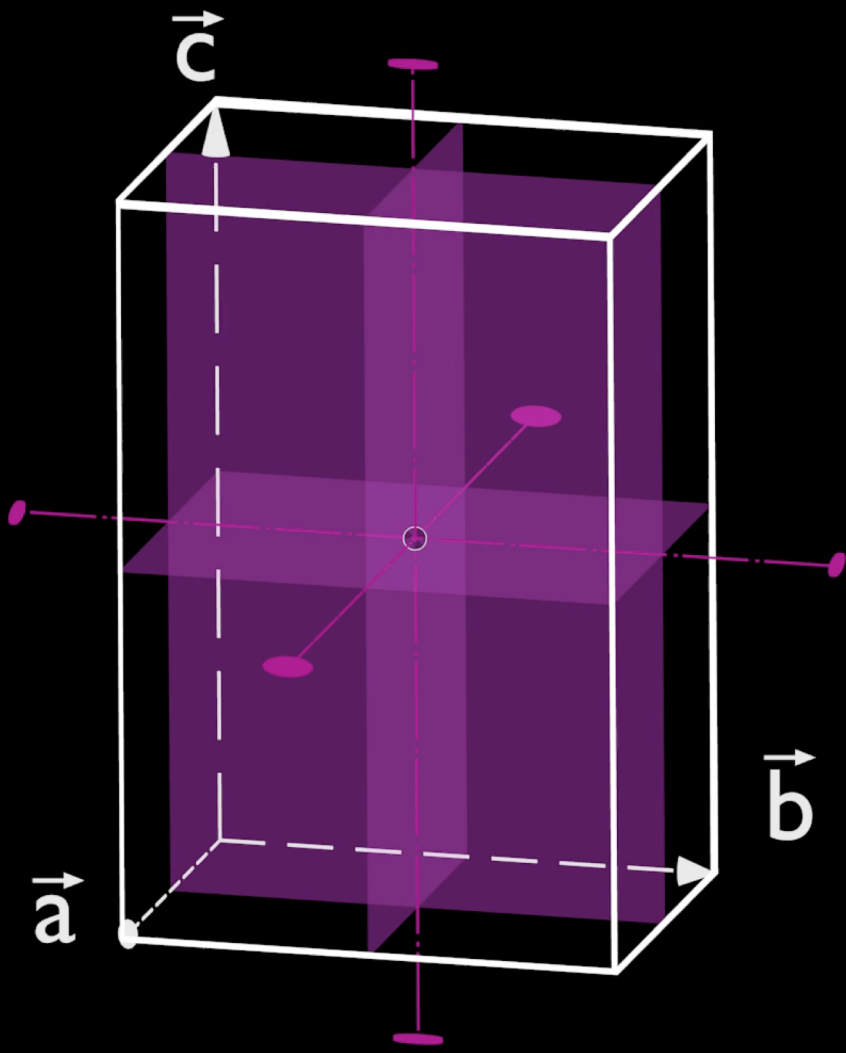
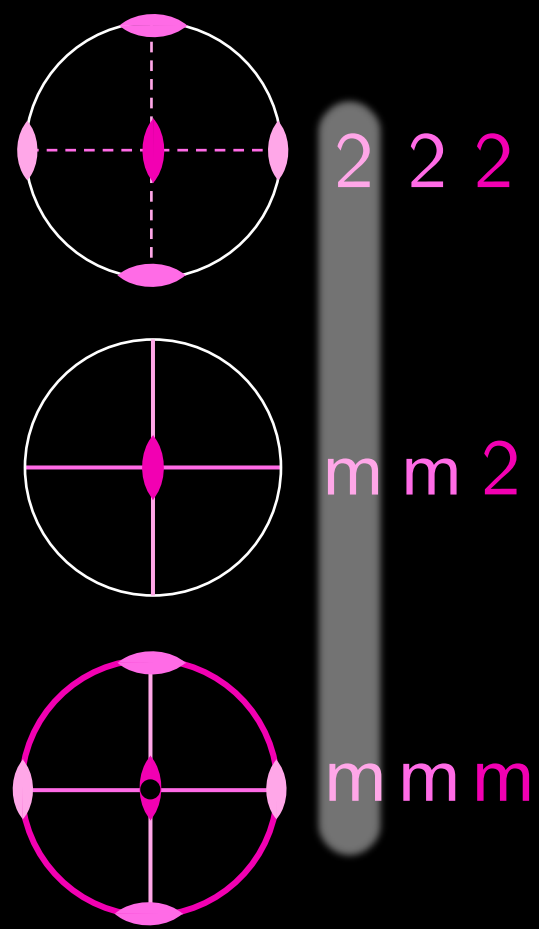


2/m



$$\alpha = \gamma = 90^\circ$$

systeme orthorhombique



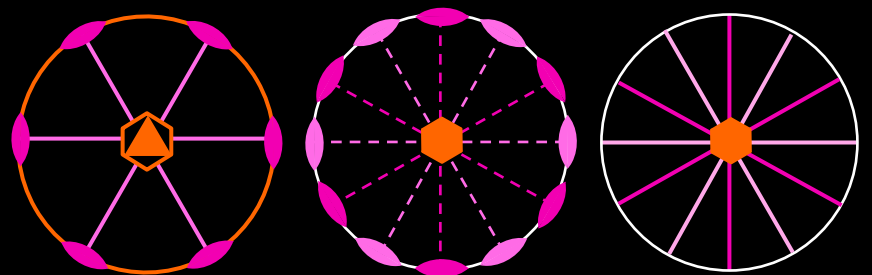
$$\alpha = \beta = \gamma = 90^\circ$$

- direction [100]
- direction [010]
- direction [001]

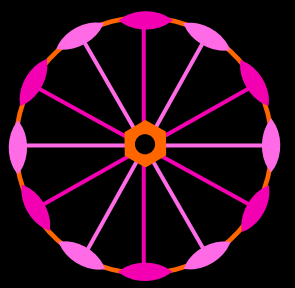
systeme hexagonal



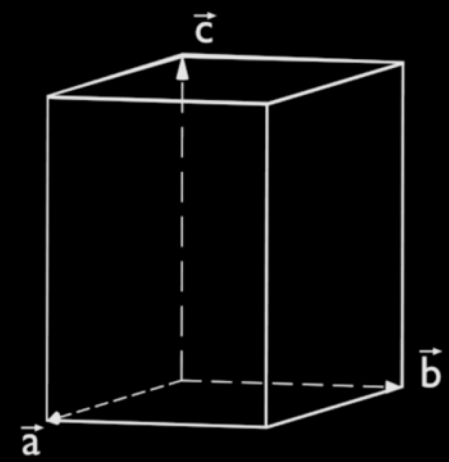
6 $\bar{6}$ 6/m



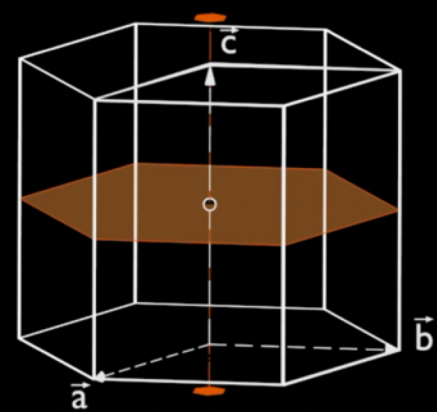
$\bar{6}2m$ 622 $6mm$



$\frac{6}{m} m m$

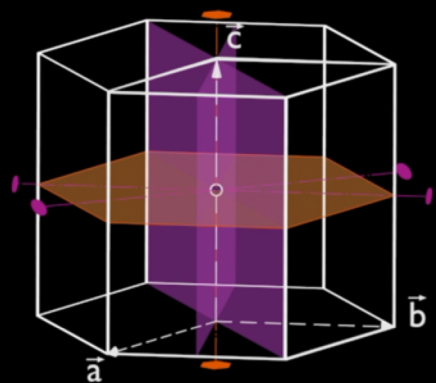


$a = b$
 $\gamma = 120^\circ$
 $\alpha = \beta = 90^\circ$

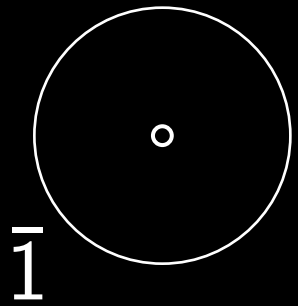


direction [001]

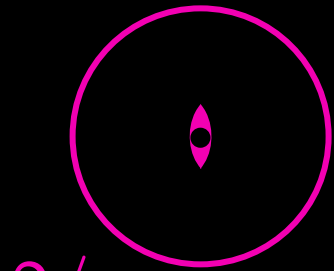
directions
 $[100]$, $[010]$, $[\bar{1}\bar{1}0]$



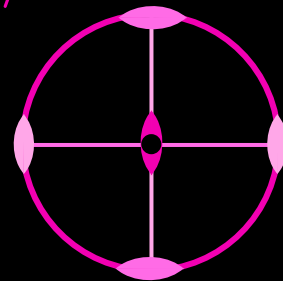
directions
 $[1\bar{1}0]$, $[120]$, $[\bar{2}\bar{1}0]$



1



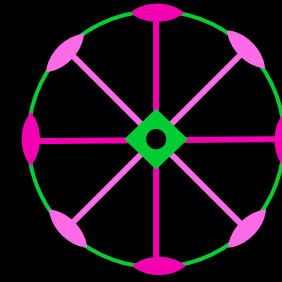
2/m



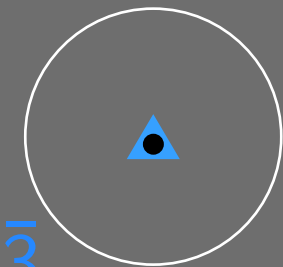
m m m



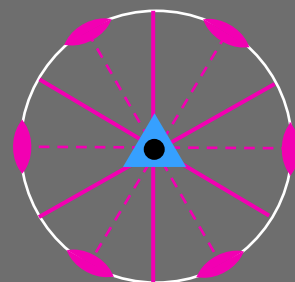
4/m



4
— m m
m



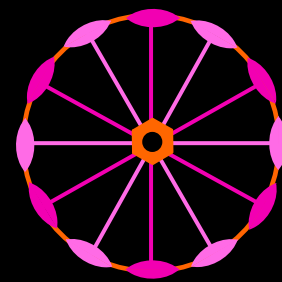
3



3 m



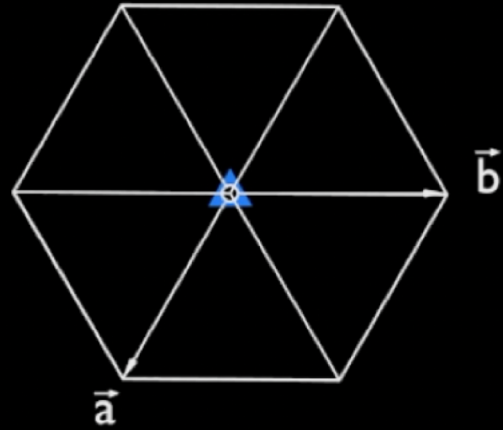
6/m



6
— m m
m

Classes de Laue

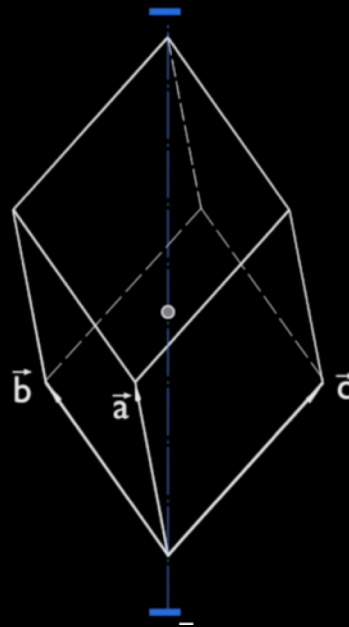
système trigonal



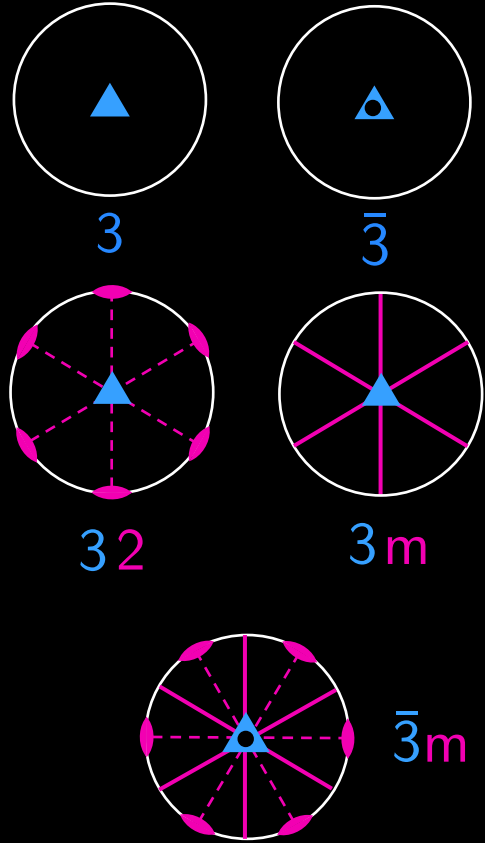
maille rhomboédrique

$$a = b = c$$

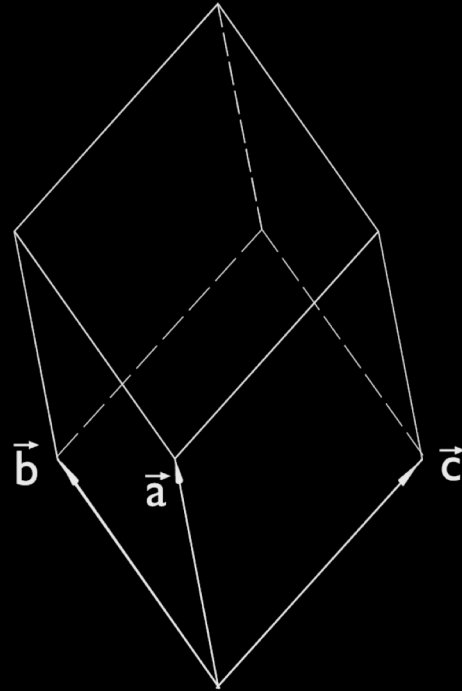
$$\alpha = \beta = \gamma$$



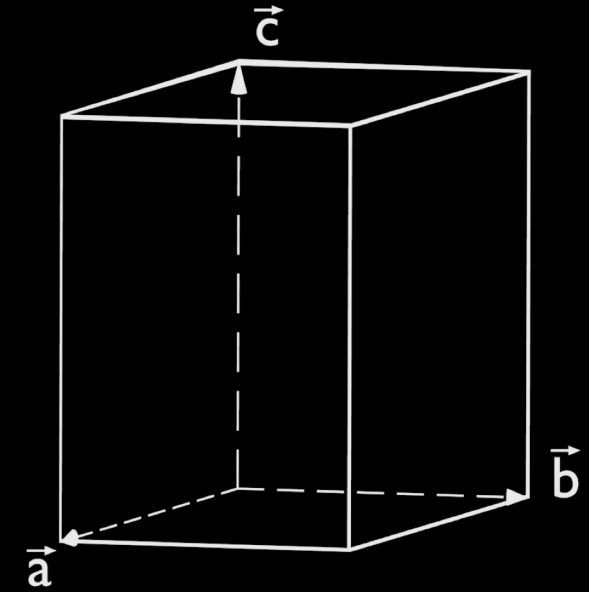
système trigonal



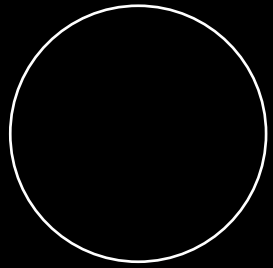
système d'axes
rhomboédriques



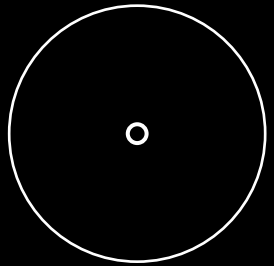
système d'axes
hexagonaux



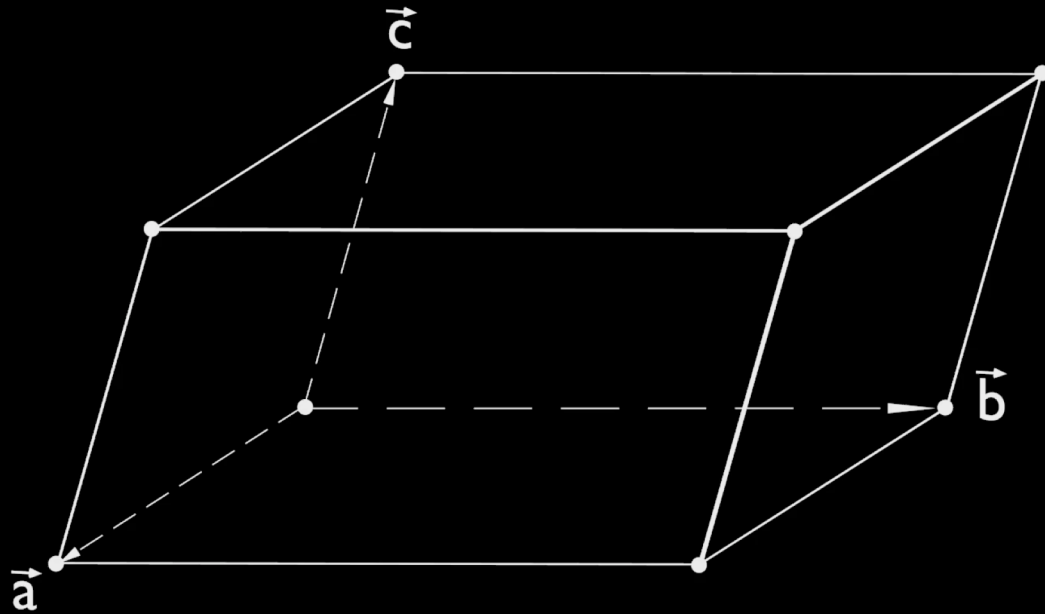
systeme triclinique



1



$\bar{1}$



symétrie du cristal \leq symétrie du réseau

On a **classé les 32 groupes ponctuels** en se basant sur la triple périodicité, donc sur la **symétrie du réseau**, ce qui définit deux critères :

1. tout réseau est centrosymétrique.
2. tout réseau qui possède un axe de symétrie d'ordre $n > 2$ présente n miroirs parallèles à cet axe.

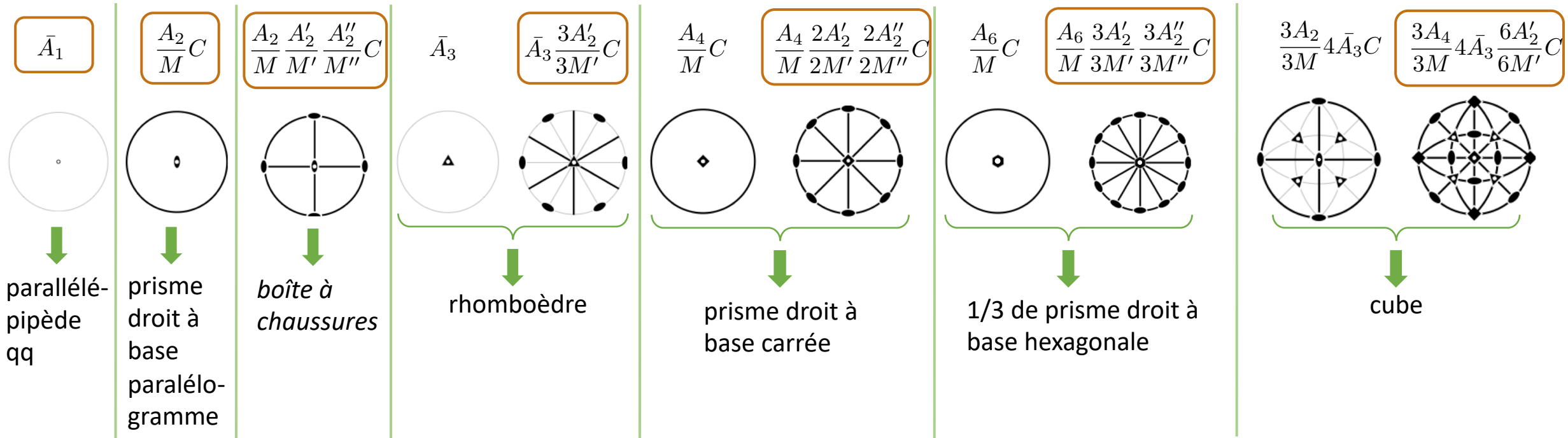
➔ Les 11 classes de Laue (critère 1) conduisent à 7 holoédries (critère 2), qui sont chacune associées à un système cristallin (avec des restrictions sur les paramètres de maille).

➔ Les 25 autres groupes sont de symétrie inférieure. Pour retrouver la symétrie de leur réseau, il suffit d'ajouter aux éléments de symétrie du groupe ceux qui sont nécessaires pour satisfaire les critères 1 et 2.

11 – Systèmes cristallins

Les 11 classes de Laue ne définissent pas 11 réseaux différents (11 mailles différentes), mais seulement 7.

En utilisant le critère 2 sur la symétrie des réseaux, on définit 7 holoédries, conduisant aux 7 systèmes cristallins.



11 – Systèmes cristallins

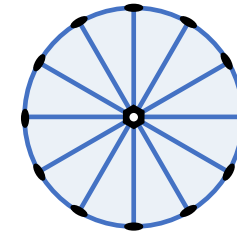
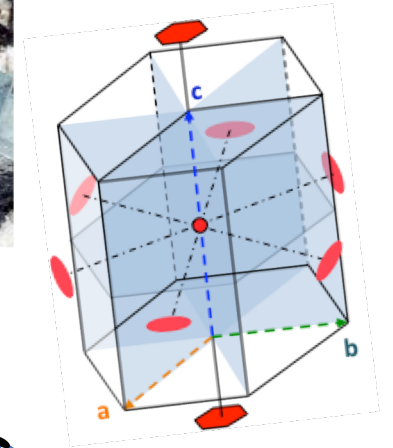
Système cristallin	étendue	Notations		Ordre du groupe
		Hermann-Mauguin	Schoenflies	
triclinique	A ₁	1	C ₁	1
	C	$\bar{1}$	C _i ≡ S ₂	2
monoclinique	A ₂	2	C ₂	2
	M ≡ \bar{A}_2	<i>m</i>	C _{1h} ≡ C _s	2
	$\frac{A_2}{M}$ C	2/ <i>m</i>	C _{2h}	4
orthorhombique	A ₂ M' M''	<i>m m 2</i>	C _{2v}	4
	A ₂ A' ₂ A'' ₂	2 2 2	D ₂	4
	$\frac{A_2}{M} \frac{A'_2}{M'} \frac{A''_2}{M''}$ C	<i>m m m</i>	D _{2h}	8
quadratique	A ₄	4	C ₄	4
	\bar{A}_4	$\bar{4}$	S ₄	4
	A ₄ 2M' 2M''	4 <i>m m</i>	C _{4v}	8
	$\frac{A_4}{M}$ C	4/ <i>m</i>	C _{4h}	8
	\bar{A}_4 2A' ₂ 2M''	$\bar{4}$ 2 <i>m</i>	D _{2d}	8
	A ₄ 2A' ₂ 2A'' ₂	4 2 2	D ₄	8
	$\frac{A_4}{M} \frac{2A'_2}{2M'} \frac{2A''_2}{2M''}$ C	4/ <i>m m m</i>	D _{4h}	16

11 – Systèmes cristallins

trigonal	A_3	3	C_3	3
	\bar{A}_3	$\bar{3}$	$C_{3i} \equiv S_6$	6
	A_3 $3M'$	$3 m$	C_{3v}	6
	A_3 $3A'_2$	$3 2$	D_3	6
	\bar{A}_3 $\frac{3A'_2}{3M'} C$	$\bar{3} m$	D_{3d}	12
hexagonal	A_6	6	C_6	6
	\bar{A}_6	$\bar{6}$	$C_{3h} \equiv S_3$	6
	A_6 $3M'$ $3M''$	$6 m m$	C_{6v}	12
	$\frac{A_6}{M} C$	$6/m$	C_{6h}	12
	\bar{A}_6 $3A'_2$ $3M''$	$\bar{6} 2 m$	D_{3h}	12
	A_6 $3A'_2$ $3A''_2$	$6 2 2$	D_6	12
	$\frac{A_6}{M} \frac{3A'_2}{3M'} \frac{3A''_2}{3M''} C$	$6/m m m$	D_{6h}	24
cubique	$3A_2$ $4A_3$	$2 3$	T	12
	$\frac{3A_2}{3M}$ $4\bar{A}_3 C$	$m \bar{3}$	T_h	24
	$3\bar{A}_4$ $4A_3$ $6M'$	$\bar{4} 3 m$	T_d	24
	$3A_4$ $4A_3$ $6A'_2$	$4 3 2$	O	24
	$\frac{3A_4}{3M}$ $4\bar{A}_3$ $\frac{6A'_2}{6M'} C$	$m \bar{3} m$	O_h	48

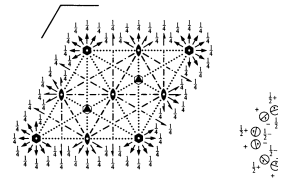
Plan du cours

- 1- Observation des symétries des cristaux naturels
- 2- Cause interne de la forme des cristaux naturels
- 3 - Réseau, maille, motif
- 4 – Rangées et plans réticulaires
- 5 – Réseau réciproque
- 6 - Réseau et symétries
- 7 - Maille conventionnelle
- 8 – Projection stéréographique
- 9 – Roto-inversions
- 10 – Les 32 groupes ponctuels cristallographiques
- 11 – Les 7 systèmes cristallins
- 12 – Les 14 réseaux de Bravais
- 13 – Les 230 groupes d'espace

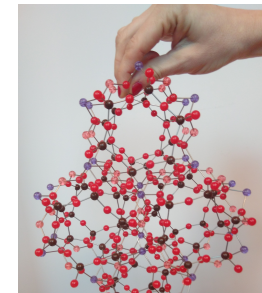


$\frac{6}{m}$ mm

$P6/mcc$ D_{6h}^2
No. 192 $P 6/m 2/c 2/c$



Origin at centre (6/m) at 6/mcc

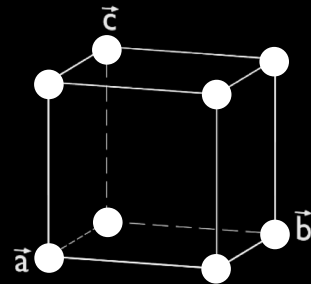


12 – Les 14 réseaux de Bravais

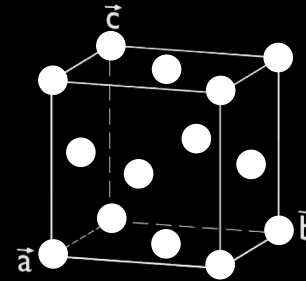
un réseau de Bravais → maille **conventionnelle**

↓
maille holoèdre

↙ ↘
maille primitive

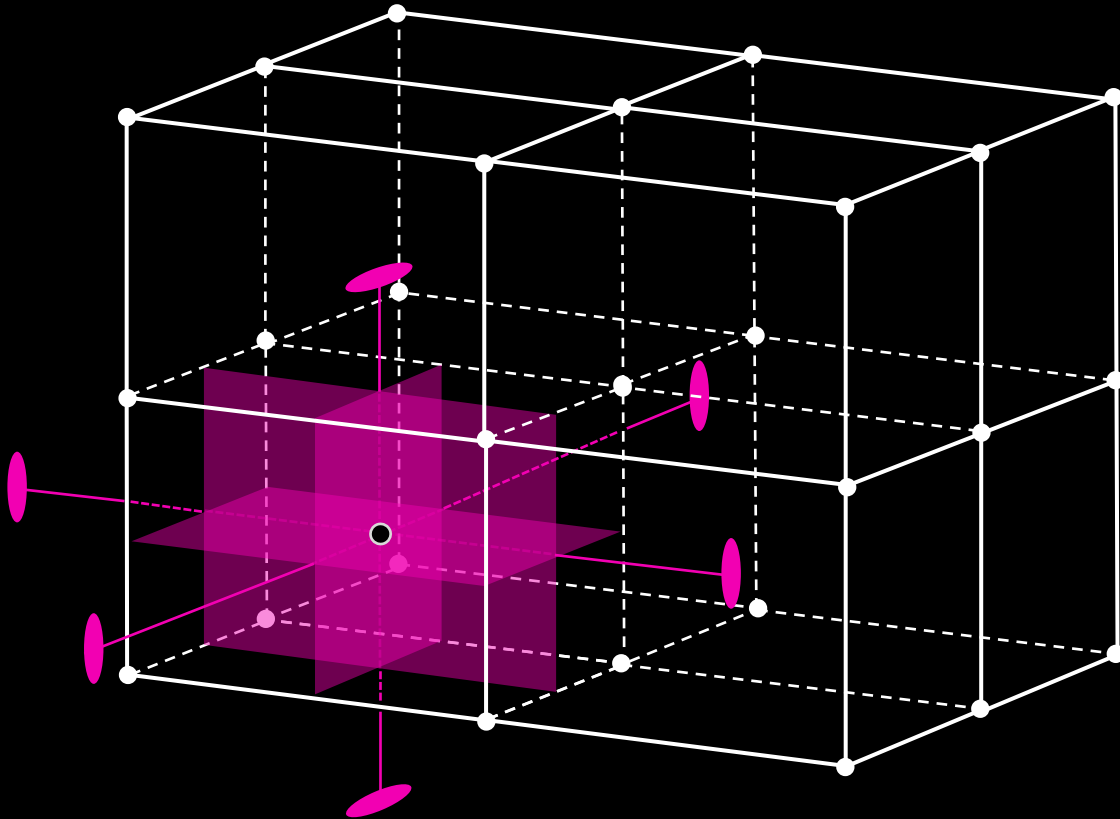


maille multiple



Est-il possible d'**ajouter des nœuds** en respectant la **symétrie du réseau** ?

Si oui, à **quelles positions** dans le réseau ?



- centre de la maille
- centre des faces
- milieu des arêtes

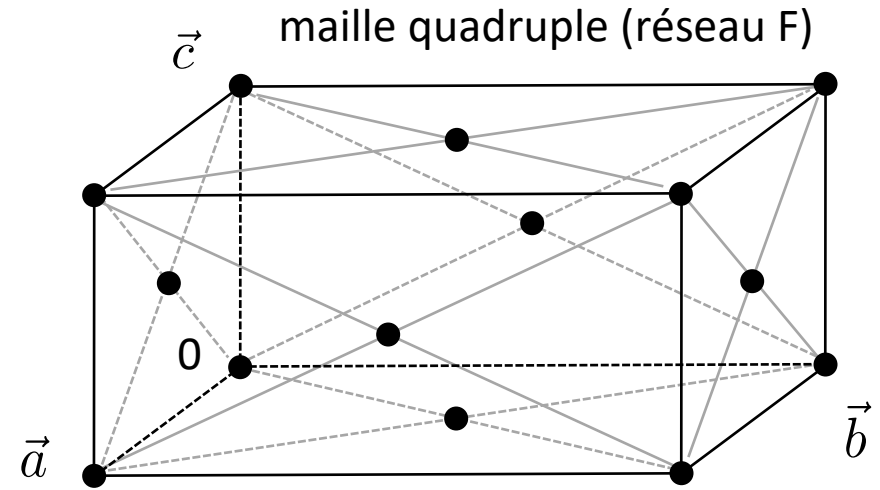
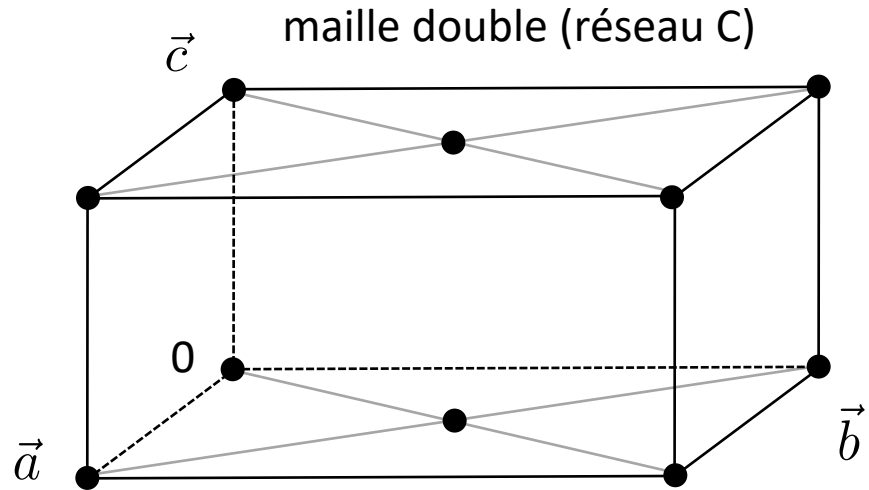
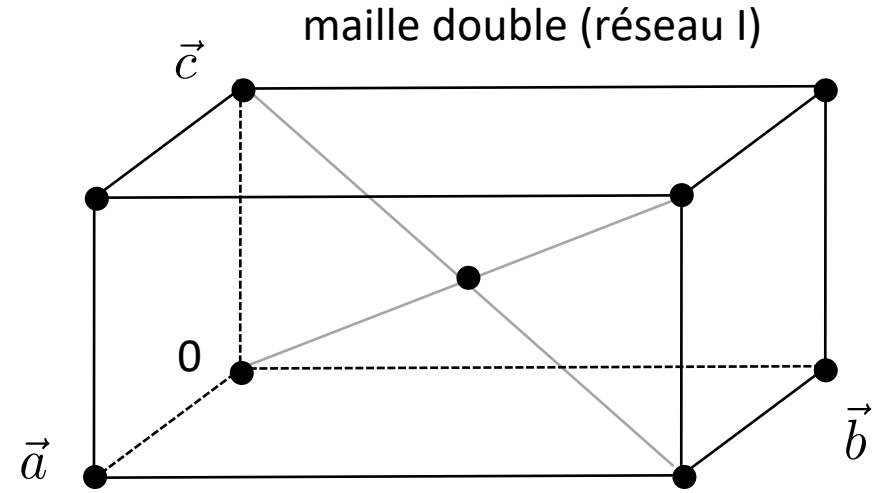
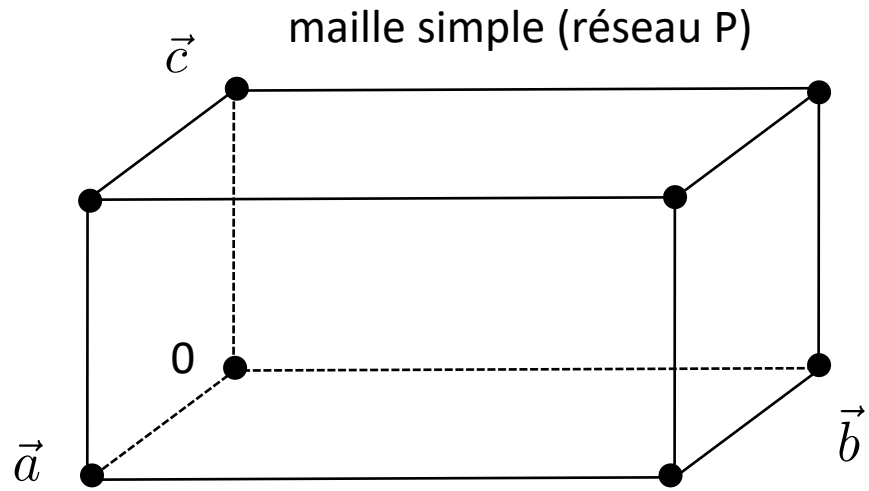
12 – Les 14 réseaux de Bravais

mailles multiples à 3D

Translations	Maille	Réseau	Multiplicité
$\vec{a}, \vec{b}, \vec{c}$	simple ou primitive	P	1
$\vec{a}, \vec{b}, \vec{c}, \frac{\vec{b} + \vec{c}}{2}$	centrée sur face (\vec{b}, \vec{c})	A	2
$\vec{a}, \vec{b}, \vec{c}, \frac{\vec{a} + \vec{c}}{2}$	centrée sur face (\vec{a}, \vec{c})	B	2
$\vec{a}, \vec{b}, \vec{c}, \frac{\vec{a} + \vec{b}}{2}$	centrée sur face (\vec{a}, \vec{b})	C	2
$\vec{a}, \vec{b}, \vec{c}, \frac{\vec{a} + \vec{b}}{2}, \frac{\vec{b} + \vec{c}}{2}, \frac{\vec{a} + \vec{c}}{2}$	faces centrées	F	4
$\vec{a}, \vec{b}, \vec{c}, \frac{\vec{a} + \vec{b} + \vec{c}}{2}$	centrée	I	2

➔ **4 modes de réseau** (i.e. 4 groupes de translations)

mailles multiples à 3D

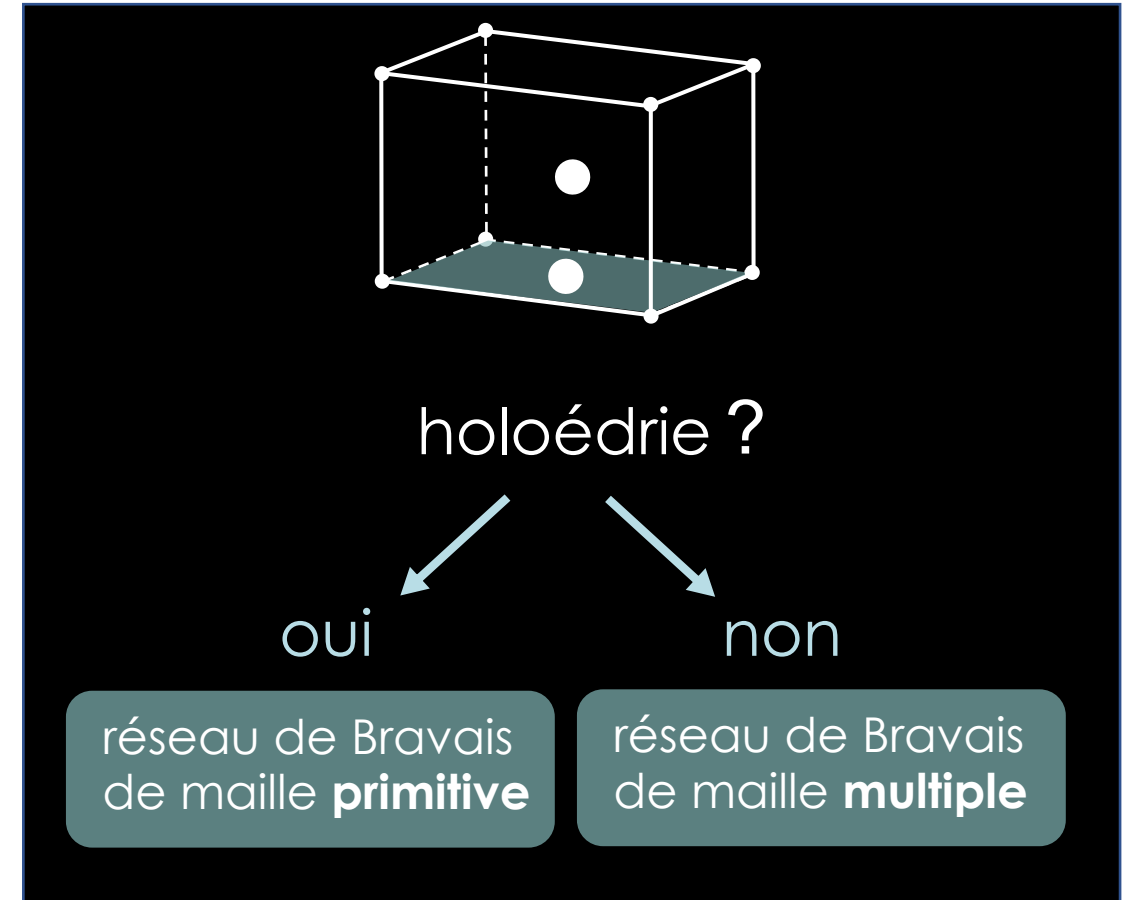


12 – Les 14 réseaux de Bravais

réseau de Bravais : associe un système cristallin à un mode de réseau

7 systèmes cristallins }
4 modes de réseau } 28 possibilités ?

→ seulement 14 réseaux de Bravais



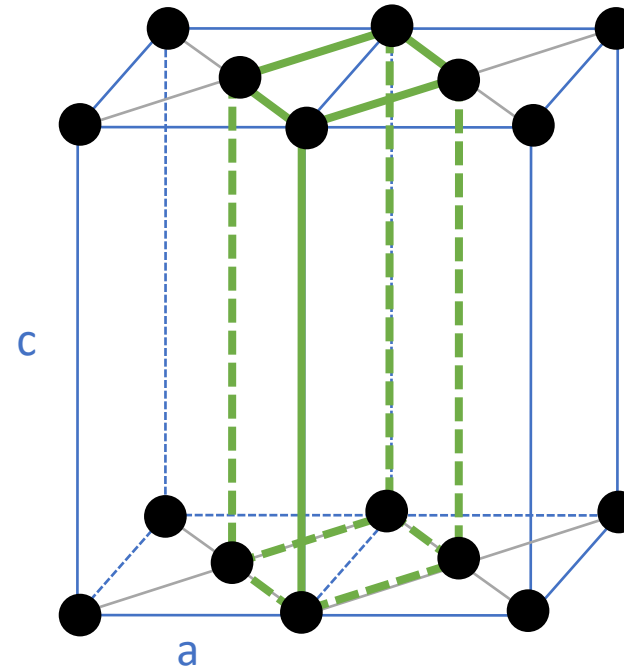
12 – Les 14 réseaux de Bravais

→ quadratique P (tP)

→ quadratique I (tI)

« tetragonal »

Pourquoi le réseau quadratique C n'existe-t-il pas ?



*On peut définir
une maille quadratique plus petite
de paramètres*

$$a' = a / \sqrt{2}$$

$$c' = c$$

→ se ramène à un réseau de Bravais **quadratique P**

12 – Les 14 réseaux de Bravais

→ cubique P (cP)

→ cubique I (cI)

→ cubique F (cF)

→ orthorhombique P (oP)

→ orthorhombique I (oI)

→ orthorhombique
à base centrée (oS)

oA oB oC

→ orthorhombique F (oF)

12 – Les 14 réseaux de Bravais

→ triclinique P (aP)

« anortique »

→ monoclinique P (mP)

→ monoclinique
de maille double (mS)

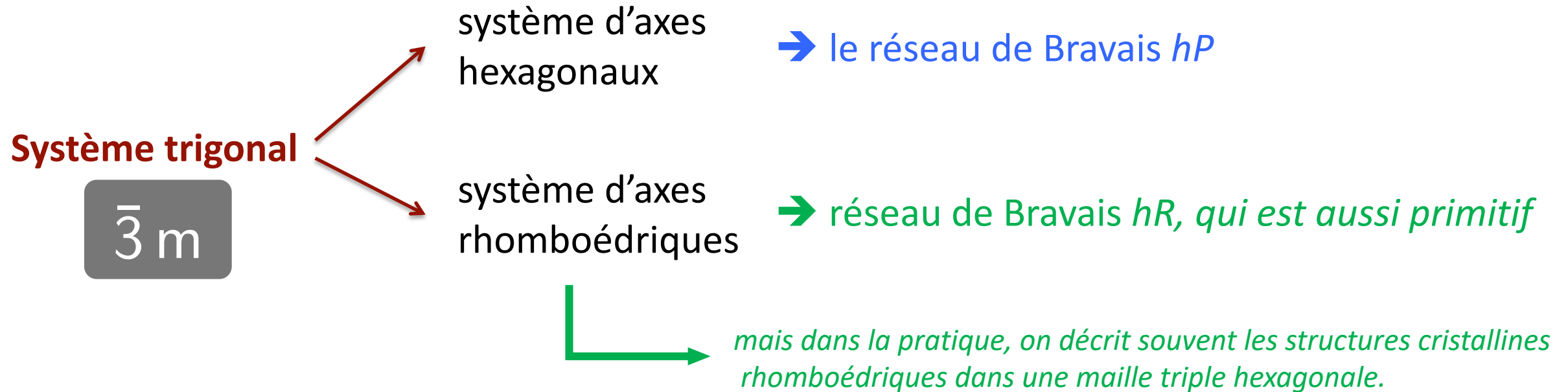
axe unique \vec{b}

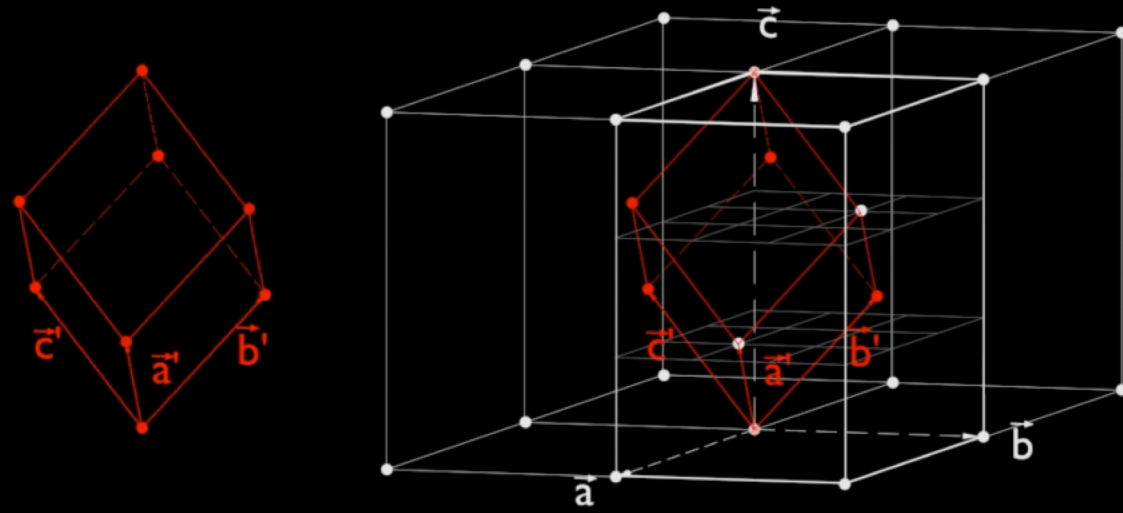
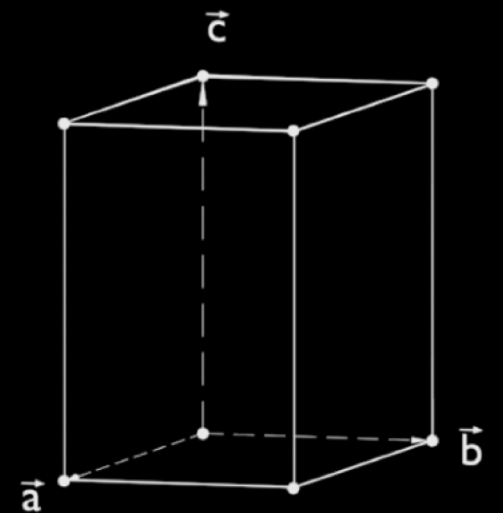
mC mA mI

Il en reste 2...

12 – Les 14 réseaux de Bravais

Système hexagonal → un seul réseau de Bravais hP

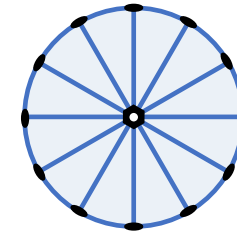
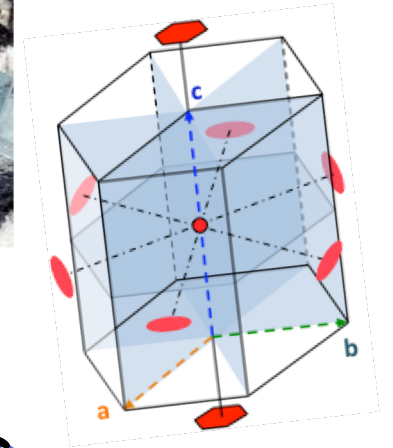


réseau hR réseau hP 

$$+ \left(\frac{1}{3}, \frac{2}{3}, \frac{2}{3} \right) + \left(\frac{2}{3}, \frac{1}{3}, \frac{1}{3} \right)$$

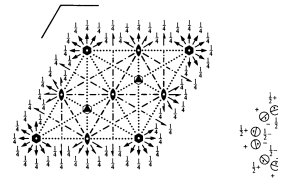
Plan du cours

- 1- Observation des symétries des cristaux naturels
- 2- Cause interne de la forme des cristaux naturels
- 3 - Réseau, maille, motif
- 4 – Rangées et plans réticulaires
- 5 – Réseau réciproque
- 6 - Réseau et symétries
- 7 - Maille conventionnelle
- 8 – Projection stéréographique
- 9 – Roto-inversions
- 10 – Les 32 groupes ponctuels cristallographiques
- 11 – Les 7 systèmes cristallins
- 12 – Les 14 réseaux de Bravais
- 13 – Les 230 groupes d'espace

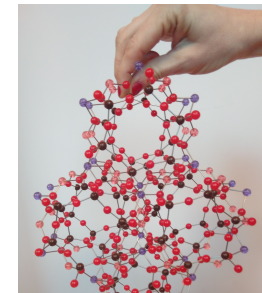


$\frac{6}{m}$ mm

$P6/mcc$ D_{6h}^2
No. 192 $P 6/m 2/c 2/c$



Origin at centre (6/m) at 6/mcc

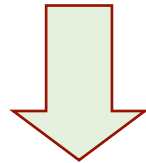


13 – Groupes d'espace

Symétrie d'orientation → les 32 groupes ponctuels
ensemble des opérations de symétrie qui laissent invariante la morphologie d'un cristal et ses propriétés physiques



7 systèmes cristallins



+ 4 modes de réseau
(groupes de translations)

14 réseaux de Bravais



Symétrie de position → les 230 groupes d'espace

ensemble des opérations de symétrie qui laissent invariante la structure atomique invariante

Tables Internationales de Cristallographie volume A

13 – Groupes d'espace

Les groupes symorphiques (73)

*Association des éléments de symétrie des groupes ponctuels avec les translations des réseaux de Bravais (les générateurs **ne sont pas** des axes hélicoïdaux ou des miroirs avec glissement)*

Notation Hermann-Mauguin : Lettre du mode réseau (P, A, B, C, I, F) suivie du nom du groupe ponctuel en Hermann-Mauguin

ex : $P m m m$, $F m m m$, $P 4 m m$, $I 4 m m$

Les groupes non-symorphiques (157)

Groupes d'espace dont des éléments générateurs sont des éléments de symétrie translatoires (axes hélicoïdaux, miroirs avec glissement)

ex : $I b a 2$, $P 4_1$, $P 4_2 c m$

Éléments de symétrie de position

- Les éléments de symétrie des groupes ponctuels
- Des éléments de symétrie *translatoires* : miroirs avec glissement et axes hélicoïdaux
 - Mise en évidence par les produits $A_n \times \vec{t}$ et $m \times \vec{t}$

miroir m \times \vec{t} **cas n°1** : $\vec{t} \parallel$ miroir

$$\vec{t} = \vec{c}$$

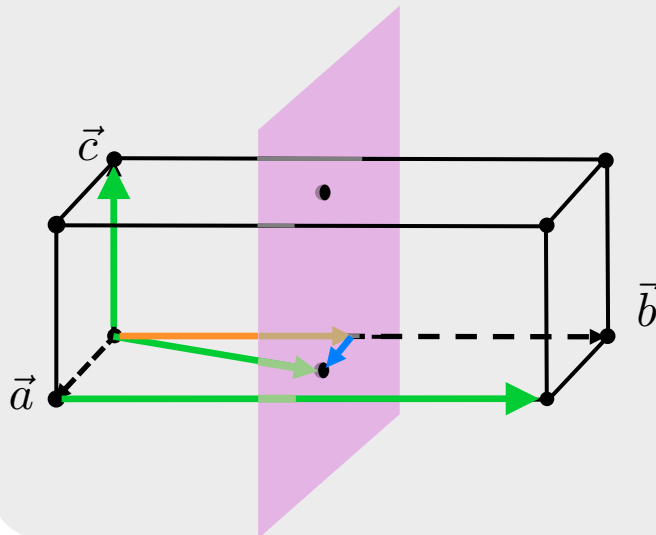
cas n°2 : $\vec{t} \perp$ miroir

$$\vec{t} = \vec{b}$$

cas n°3 : \vec{t} oblique / miroir

$$\vec{t} = \frac{\vec{a} + \vec{b}}{2} \quad \vec{t} = \vec{t}_{\perp} + \vec{t}_{\parallel}$$

\vec{t}_{\perp} et \vec{t}_{\parallel} ne sont pas
des translations de réseau



cas n°1 : $m \times \vec{t}$ avec $\vec{t} \parallel m$

tout miroir m est un plan infini

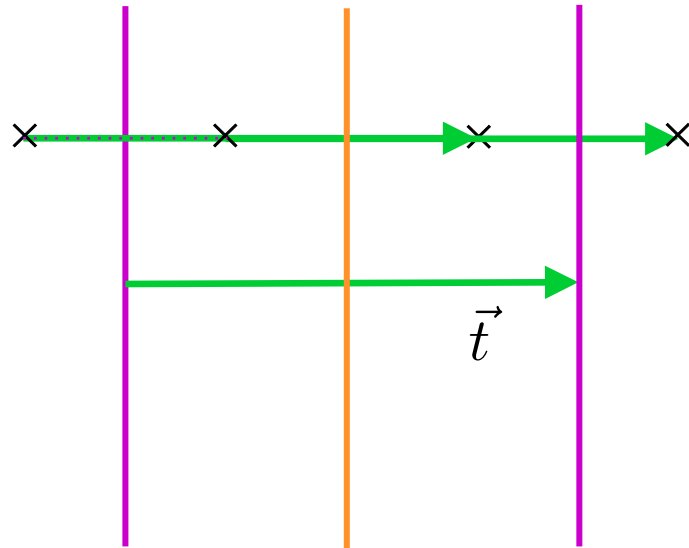


toute translation $\vec{t} \parallel m$
n'a aucun effet sur lui

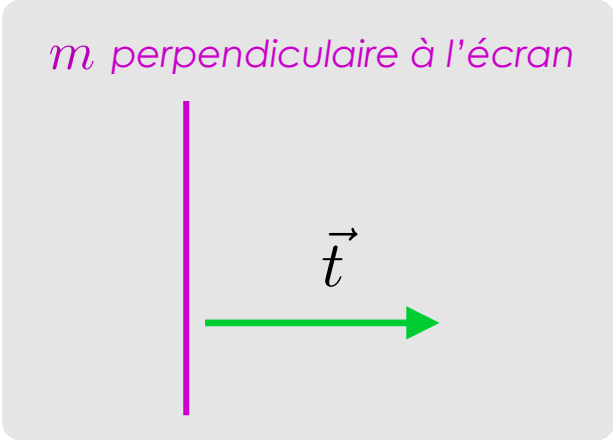
m perpendiculaire à l'écran



cas n°2 : $m \times \vec{t}$ avec $\vec{t} \perp m$

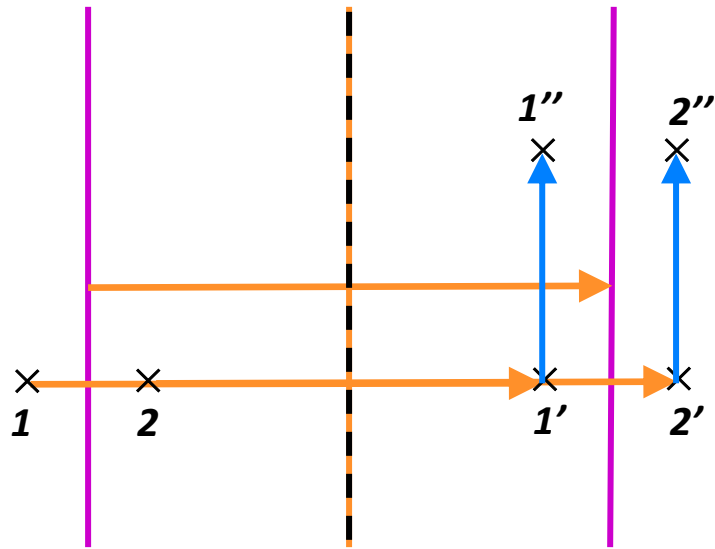
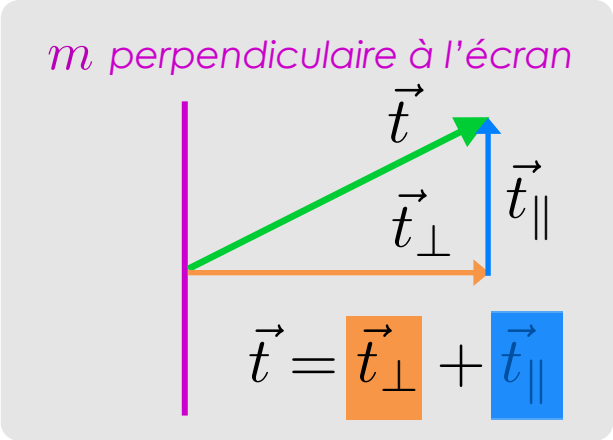


➡ nouveau miroir m à $\frac{\vec{t}}{2}$ du premier



cas n°3 : $m \times \vec{t}$ avec \vec{t} oblique / m

On décompose $\vec{t} = \vec{t}_\perp + \vec{t}_\parallel$
 où \vec{t}_\perp et \vec{t}_\parallel sont les composantes \perp et \parallel à m .



L'ajout de \vec{t}_\parallel change la nature du **miroir** obtenu par la prise en compte de \vec{t}_\perp , si \vec{t}_\parallel **n'est pas** une translation de réseau.



miroir avec glissement

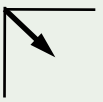


- Miroir m combiné à une translation \vec{t}_{\parallel} parallèle à m
(\vec{t}_{\parallel} **n'est pas** une translation de réseau)
- Élément de symétrie d'ordre 2 ; opération associée notée (m, \vec{t}_{\parallel})

$$(m, \vec{t}_{\parallel})^2 = (2m, 2\vec{t}_{\parallel}) = \text{identité} \quad \text{donc} \quad 2\vec{t}_{\parallel} = p\vec{t} \quad \text{avec} \quad p = 0 \text{ ou } 1$$

Miroirs avec glissement axial

translation de réseau	glissement	notation
$\vec{t} = \vec{a}$	$\vec{t}_{\parallel} = \frac{\vec{a}}{2}$	a
$\vec{t} = \vec{b}$	$\vec{t}_{\parallel} = \frac{\vec{b}}{2}$	b
$\vec{t} = \vec{c}$	$\vec{t}_{\parallel} = \frac{\vec{c}}{2}$	c

Type de plan	Notation	Translation	Symbole	
			normal au plan de la figure	parallèle au plan de la figure
miroir	m	0		
miroir avec glissement axial	a ou b c	$\vec{a}/2$ ou $\vec{b}/2$ $\vec{c}/2$		
miroir avec glissement diagonal	n	$(\vec{a} \pm \vec{b})/2$ $(\vec{a} \pm \vec{c})/2$ $(\vec{b} \pm \vec{c})/2$		
miroir avec glissement de type diamant	d	$(\vec{a} \pm \vec{b})/4$ $(\vec{a} \pm \vec{c})/4$ $(\vec{b} \pm \vec{c})/4$		

13 – Groupes d'espace

International Tables for Crystallography (2006). Vol. A, Space group 45, pp. 258–259.

glide planes as space group generators

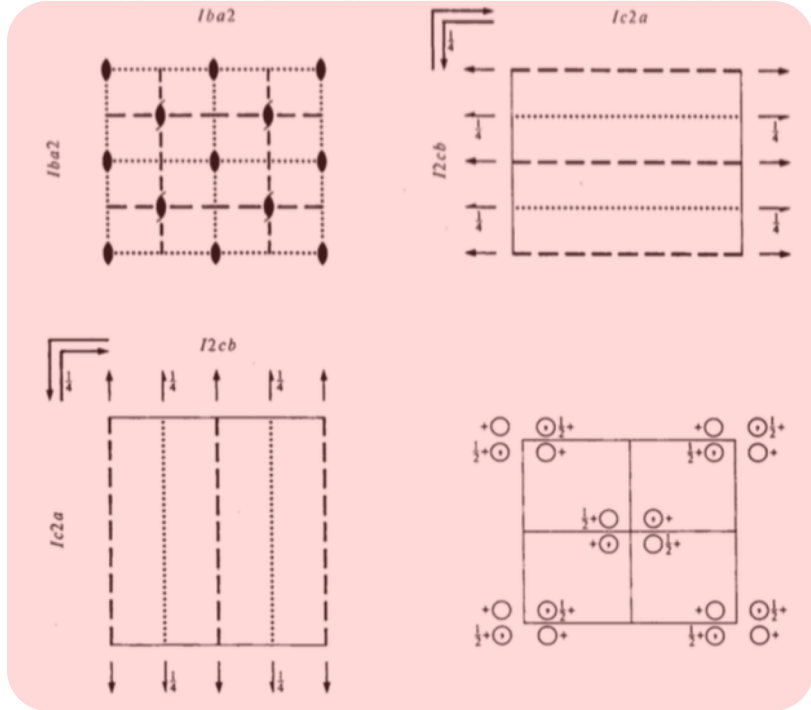
Iba2
No. 45

C_{2v}^{21}
Iba2

mm2

Orthorhombic

Patterson symmetry *Immm*



Le nom du groupe comprend deux types de miroirs avec glissement axial, que l'on retrouve sur les schémas.

Des miroirs de type *c* sont engendrés par la translation de réseau *I* (dont les composantes parallèles aux miroirs *b* ou *a* ne sont pas des translations de réseau).

Origin on *cc2*

Asymmetric unit $0 \leq x \leq \frac{1}{2}; 0 \leq y \leq \frac{1}{2}; 0 \leq z \leq \frac{1}{2}$

Symmetry operations

For (0, 0, 0)+ set

(1) 1 (2) 2 0,0,z (3) a $x, \frac{1}{2}, z$ (4) b $\frac{1}{2}, y, z$

For ($\frac{1}{2}, \frac{1}{2}, \frac{1}{2}$)+ set

(1) $i(\frac{1}{2}, \frac{1}{2}, \frac{1}{2})$ (2) 2(0,0, $\frac{1}{2}$) $\frac{1}{2}, \frac{1}{2}, z$ (3) c $x, 0, z$ (4) c $0, y, z$

axe A_n

×

 \vec{t} cas n°1 : $\vec{t} \parallel$ axe

$$\vec{t} = \vec{c}$$

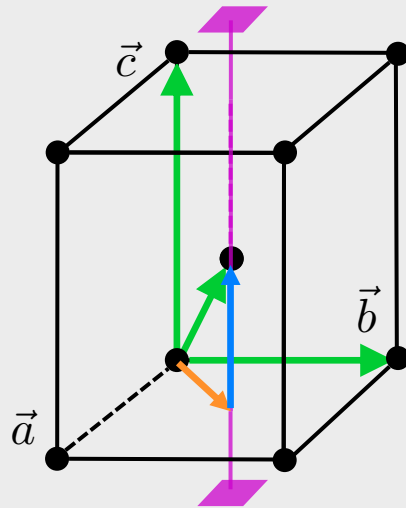
cas n°2 : $\vec{t} \perp$ axe

$$\vec{t} = \vec{b}$$

cas n°3 : \vec{t} oblique / axe

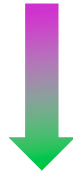
$$\vec{t} = \frac{\vec{a} + \vec{b} + \vec{c}}{2} \quad \vec{t} = \vec{t}_{\perp} + \vec{t}_{\parallel}$$

\vec{t}_{\perp} et \vec{t}_{\parallel} ne sont pas des translations de réseau



cas n°1 : $A_n \times \vec{t}$ avec $\vec{t} \parallel A_n$

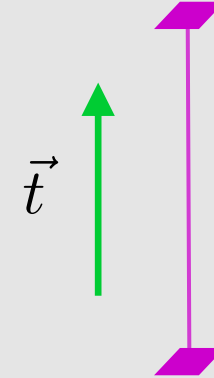
tout axe A_n est de longueur infinie



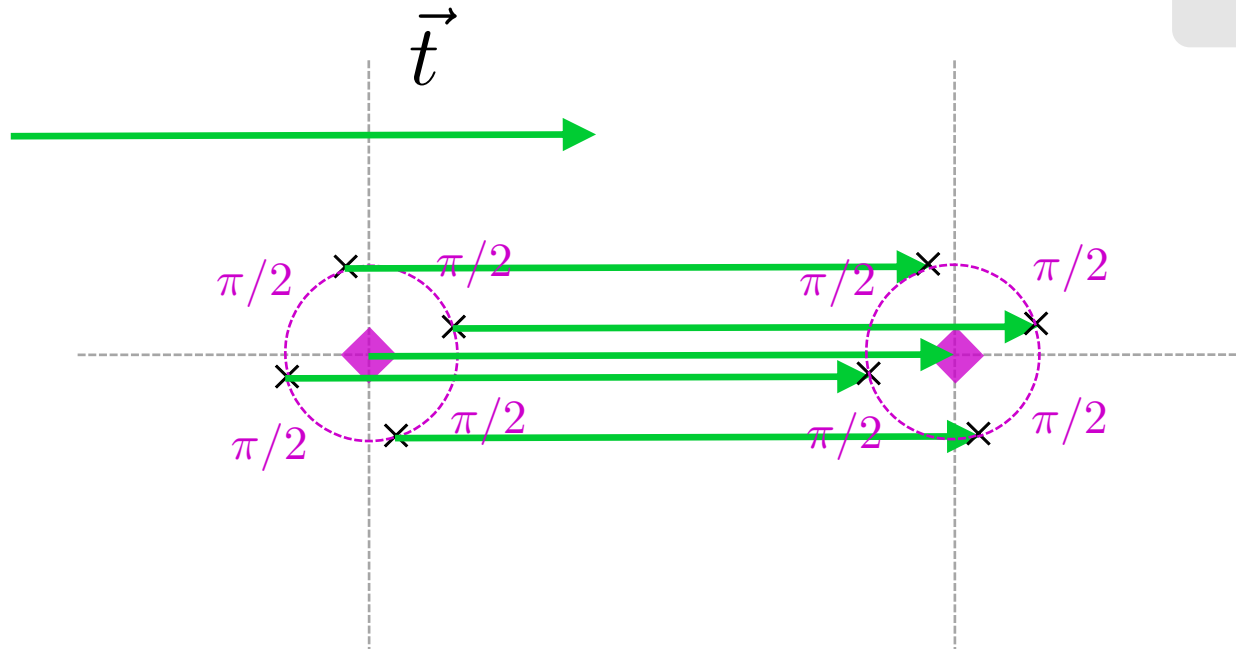
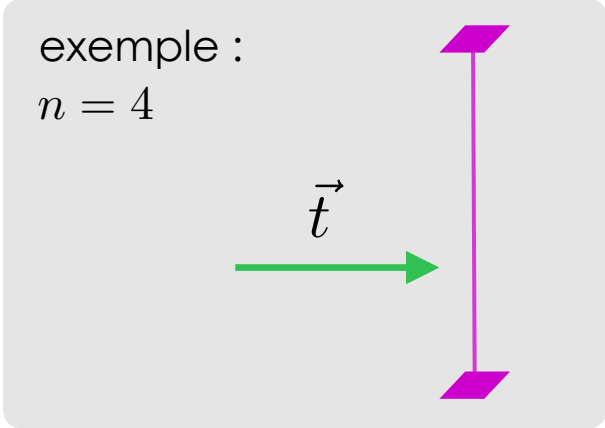
\vec{t} n'a aucun effet sur lui

que \vec{t} soit une translation de réseau ou pas

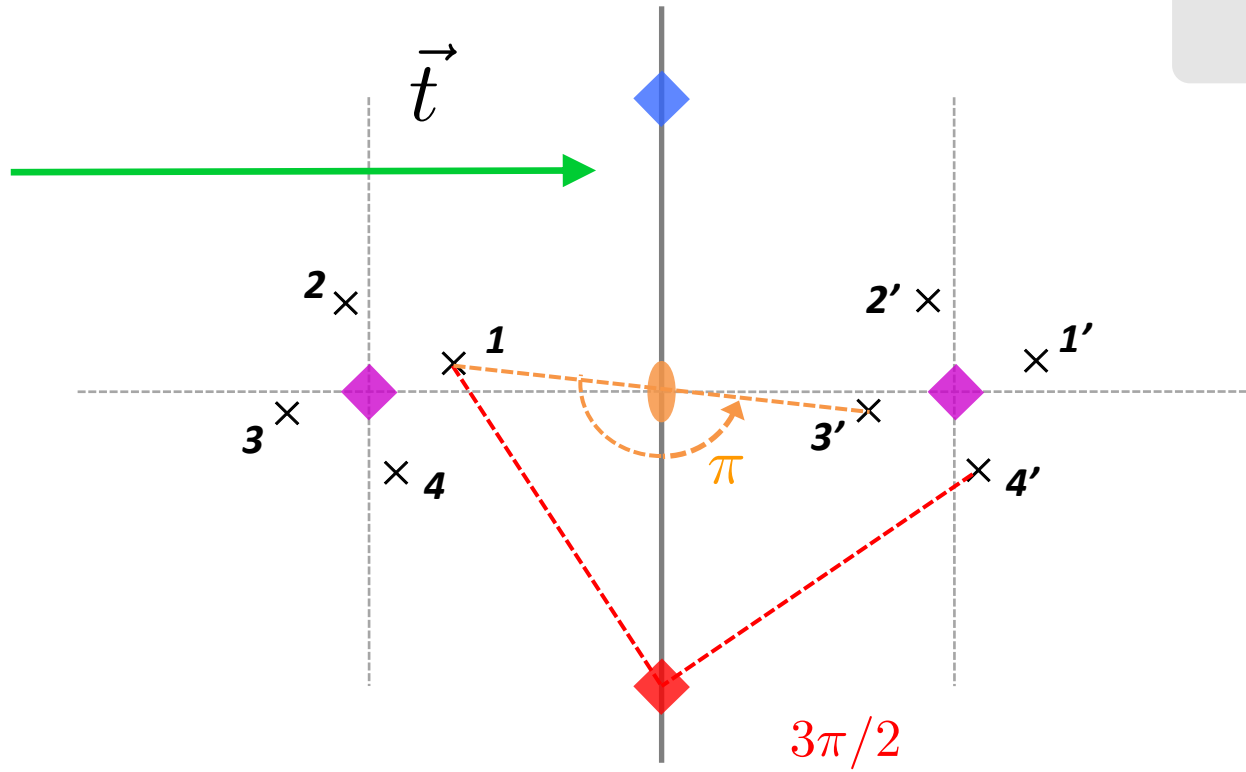
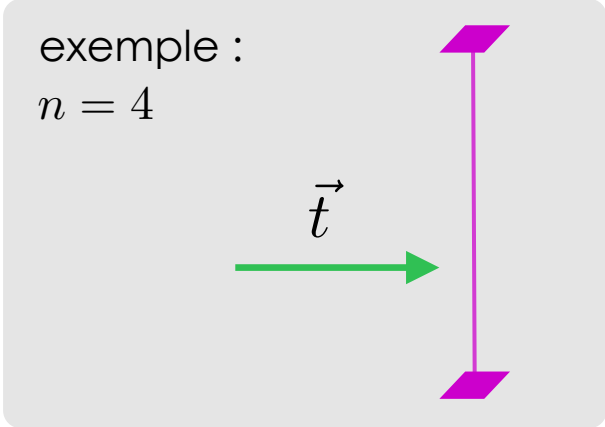
exemple :
 $n = 4$



cas n°2 : $A_n \times \vec{t}$ avec $\vec{t} \perp A_n$



cas n°2 : $A_n \times \vec{t}$ avec $\vec{t} \perp A_n$



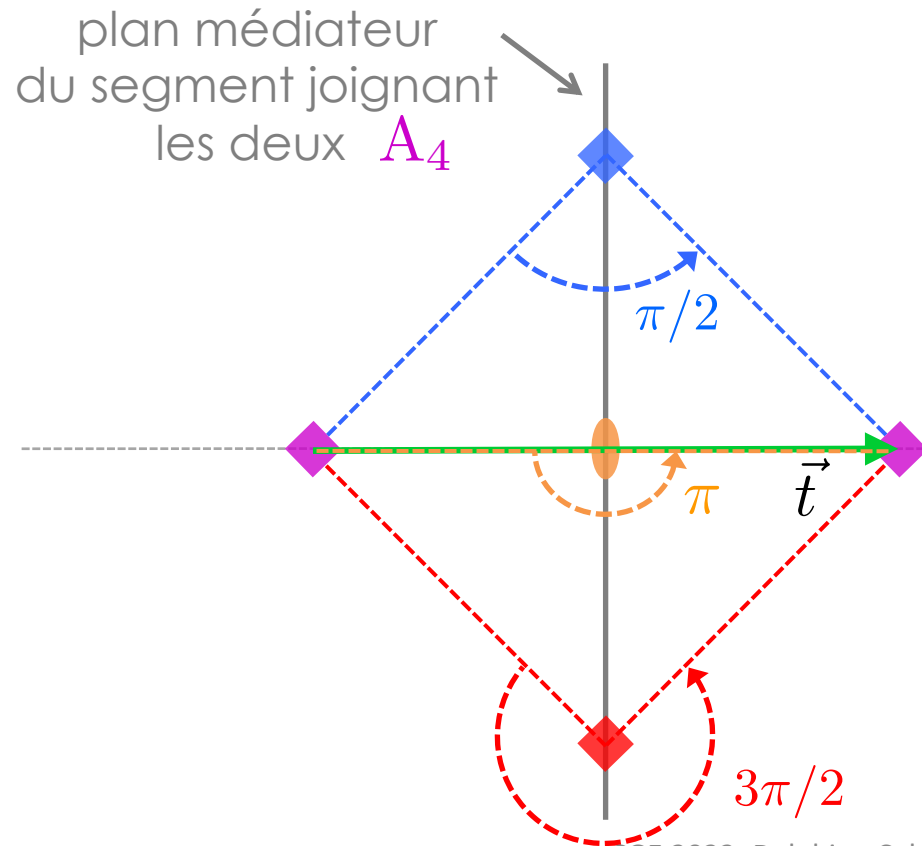
$1 \longrightarrow 1' : \vec{t}$

$1 \longrightarrow 2' : A_4$

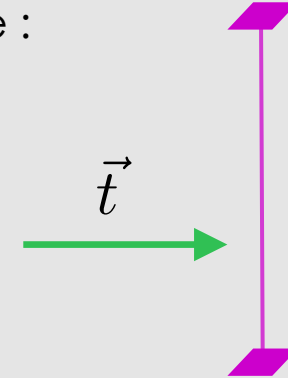
$1 \longrightarrow 3' : A_2$

$1 \longrightarrow 4' : A_4$

cas n°2 : $A_n \times \vec{t}$ avec $\vec{t} \perp A_n$



exemple :
 $n = 4$



A_4 = représentation
du groupe cyclique

$$C_4 = (a, a^2, a^3, e)$$

cas n°2 : $A_n \times \vec{t}$ avec $\vec{t} \perp A_n$

Dans le plan médiateur du segment qui joint l'axe A_n et son image par application de la translation \vec{t} , apparaissent de **nouveaux axes de rotation** correspondant aux **opérations**

$$a^m = \left(m \frac{2\pi}{n} \mid \vec{0} \right)$$

avec $m = 1, \dots, n - 1$

Projetés dans un plan perpendiculaire à A_n , ces nouveaux axes de rotation sont situés en des points du plan médiateur d'où la translation est vue sous un angle $m \frac{2\pi}{n}$

A_n est une représentation du groupe cyclique

$$C_n = (a, a^2, \dots, a^{n-1}, e)$$

tel que $a^n = e$

cas n°3 : $A_n \times \vec{t}$ avec \vec{t} oblique / A_n

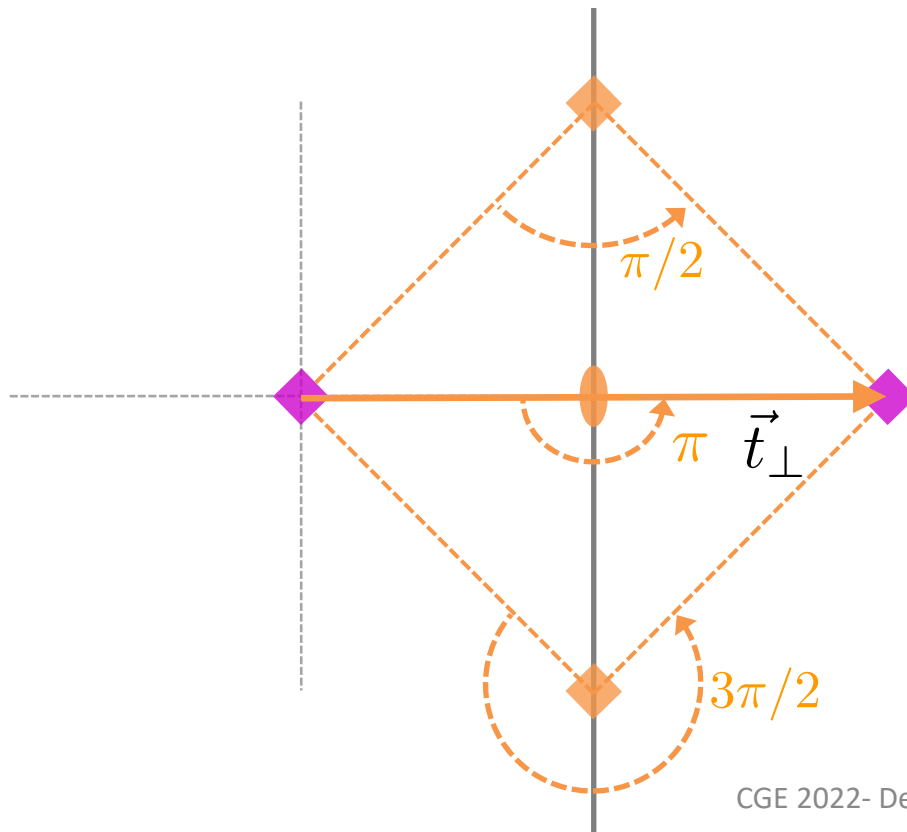
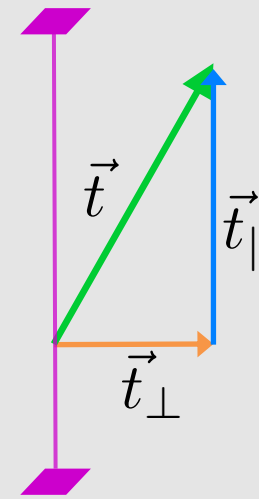
On décompose $\vec{t} = \vec{t}_\perp + \vec{t}_\parallel$

où \vec{t}_\perp et \vec{t}_\parallel sont les composantes \perp et \parallel à A_n .

exemple :

$n = 4$

$$\vec{t} = \vec{t}_\perp + \vec{t}_\parallel$$

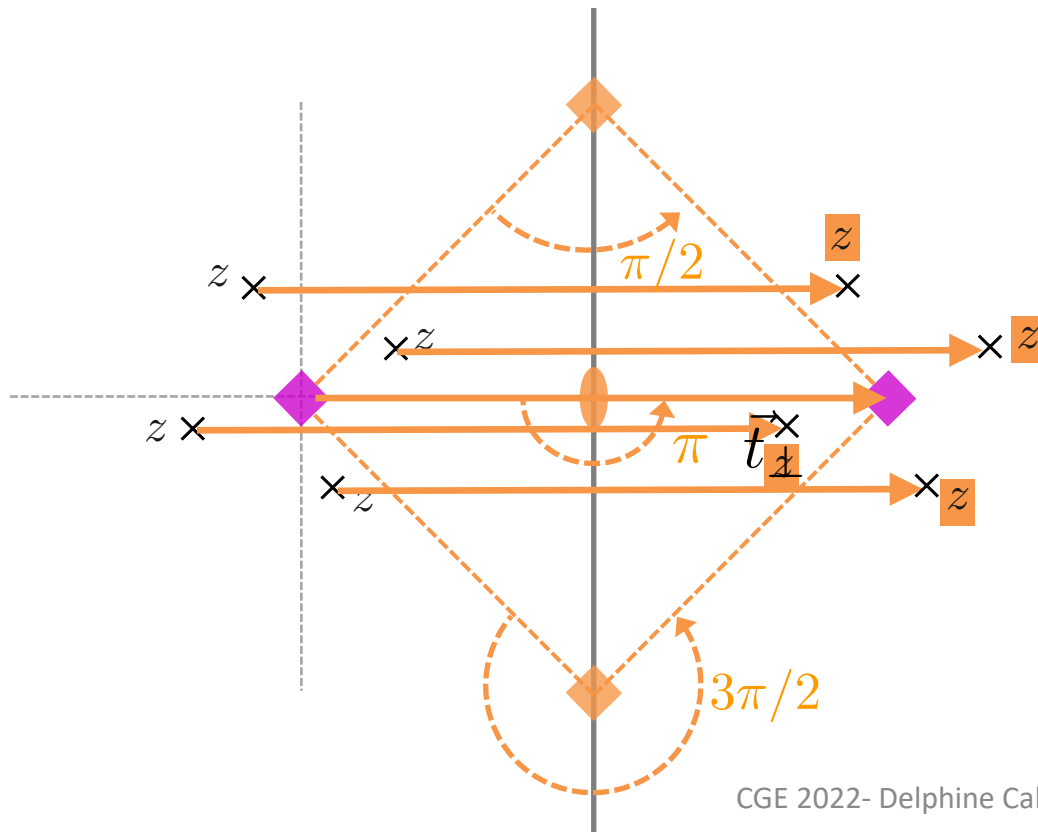
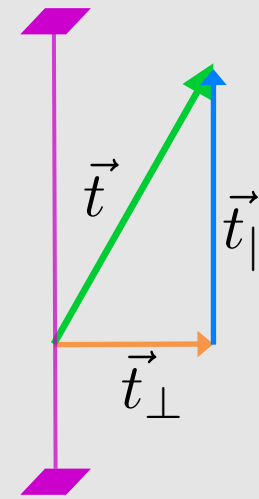


cas n°3 : $A_n \times \vec{t}$ avec \vec{t} oblique / A_n

exemple :

$n = 4$

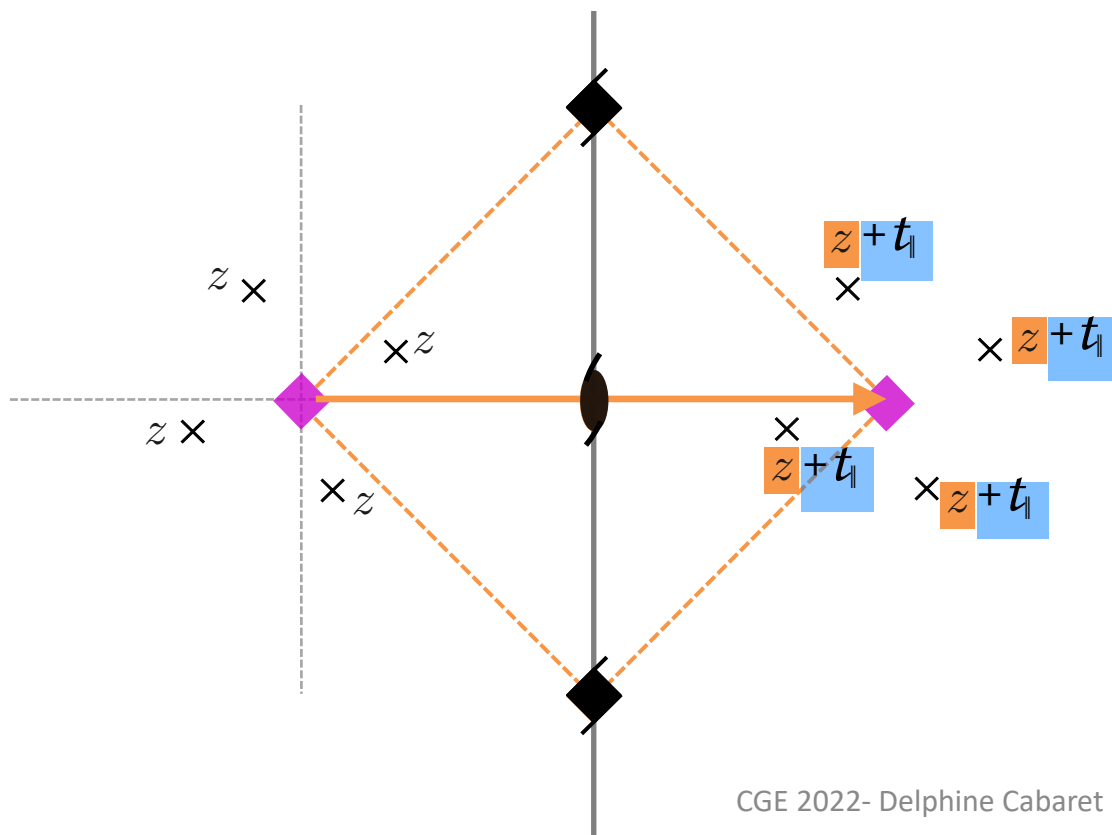
$$\vec{t} = \vec{t}_\perp + \vec{t}_\parallel$$



cas n°3 : $A_n \times \vec{t}$ avec \vec{t} oblique / A_n

Prise en compte de \vec{t}_{\parallel}

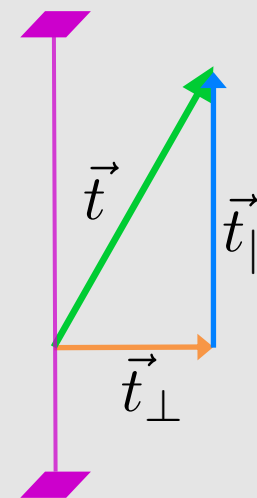
→ ajout d'une composante t_{\parallel} à z



exemple :

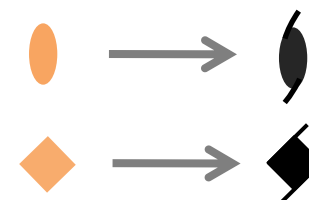
$n = 4$

$$\vec{t} = \vec{t}_{\perp} + \vec{t}_{\parallel}$$



L'ajout de \vec{t}_{\parallel} change la nature des axes A_4 et A_2 obtenus par la prise en compte de \vec{t}_{\perp} , si \vec{t}_{\parallel} n'est pas une translation de réseau.

axes hélicoïdaux



- Axe de rotation A_n d'ordre n combiné à une translation \vec{t}_{\parallel} parallèle à A_n
(\vec{t}_{\parallel} **n'est pas** une translation de réseau)
- Opération associée notée $\left(\frac{2\pi}{n}, \vec{t}_{\parallel}\right)$

➔ **Question :** si on se place **dans un réseau cristallin** tel que $A_n \parallel \vec{c}$ et qu'on suppose que A_n est parallèle à \vec{c} ,
quels sont les vecteurs \vec{t}_{\parallel} possibles ?

$$\left(\frac{2\pi}{n}, \vec{t}_{\parallel}\right)^n = (2\pi, n\vec{t}_{\parallel}) = \text{identité}$$

donc $n\vec{t}_{\parallel} = p\vec{c}$ avec p entier

soit $\vec{t}_{\parallel} = \frac{p\vec{c}}{n}$ où $p = 0, \dots, n-1$

$p = 0 \Rightarrow \vec{t}_{\parallel} = \vec{0}$

$p = 1 \Rightarrow \vec{t}_{\parallel} = \frac{\vec{c}}{n}$

$p = 2 \Rightarrow \vec{t}_{\parallel} = \frac{2\vec{c}}{n}$

$p = 3 \Rightarrow \vec{t}_{\parallel} = \frac{3\vec{c}}{n}$

...

$p = n-1 \Rightarrow \vec{t}_{\parallel} = \frac{(n-1)\vec{c}}{n}$

13 – Groupes d'espace

Symétrie de position : axe hélicoïdal

- Axe de rotation A_n d'ordre n combiné à une translation \vec{t}_{\parallel} parallèle à A_n
(\vec{t}_{\parallel} **n'est pas** une translation de réseau)
- Opération associée notée $\left(\frac{2\pi}{n}, \vec{t}_{\parallel}\right)$

➔ **Question :** si on se place **dans un réseau cristallin** tel que $A_n \parallel \vec{c}$ et qu'on suppose que A_n est parallèle à \vec{c} ,
quels sont les vecteurs \vec{t}_{\parallel} possibles ?

$$\left(\frac{2\pi}{n}, \vec{t}_{\parallel}\right)^n = (2\pi, n\vec{t}_{\parallel}) = \text{identité}$$

donc $n\vec{t}_{\parallel} = p\vec{c}$ avec p entier

Ordre de l'axe	1	2		3			4				6					
Translation	0	0	$\frac{\vec{c}}{2}$	0	$\frac{\vec{c}}{3}$	$\frac{2\vec{c}}{3}$	0	$\frac{\vec{c}}{4}$	$\frac{2\vec{c}}{4}$	$\frac{3\vec{c}}{4}$	0	$\frac{\vec{c}}{6}$	$\frac{2\vec{c}}{6}$	$\frac{3\vec{c}}{6}$	$\frac{4\vec{c}}{6}$	$\frac{5\vec{c}}{6}$
Notation	1	2	2_1	3	3_1	3_2	4	4_1	4_2	4_3	6	6_1	6_2	6_3	6_4	6_5
Symbole																

axe A_n

×

\vec{t}

cas n°1 : $\vec{t} \parallel$ axe

➔ pas d'effet

cas n°2 : $\vec{t} \perp$ axe

➔ **nouveaux axes de rotation**
sur le plan médiateur du segment
qui joint l'axe A_n et son image
par application de \vec{t}

cas n°3 : \vec{t} oblique / axe $\vec{t} = \vec{t}_\perp + \vec{t}_\parallel$

➔ **Changement de nature des nouveaux axes**
si \vec{t}_\parallel n'est pas une translation
de réseau



International Tables for Crystallography (2006). Vol. A, Space group 45, pp. 258–259.

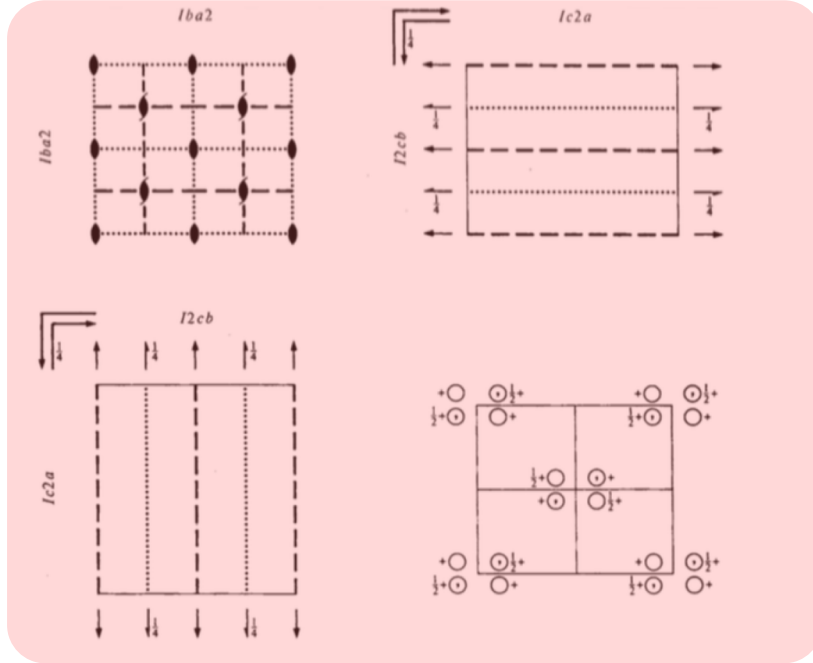
Iba2
No. 45

C_{2v}^{21}
Iba2

mm2

Orthorhombic

Patterson symmetry *Immm*



Des axes hélicoïdaux 2_1 sont engendrés par la translation de réseau *I* (dont la composante parallèle à [001] n'est pas une translation de réseau).

Origin on *cc2*

Asymmetric unit $0 \leq x \leq \frac{1}{2}; 0 \leq y \leq \frac{1}{2}; 0 \leq z \leq \frac{1}{2}$

Symmetry operations

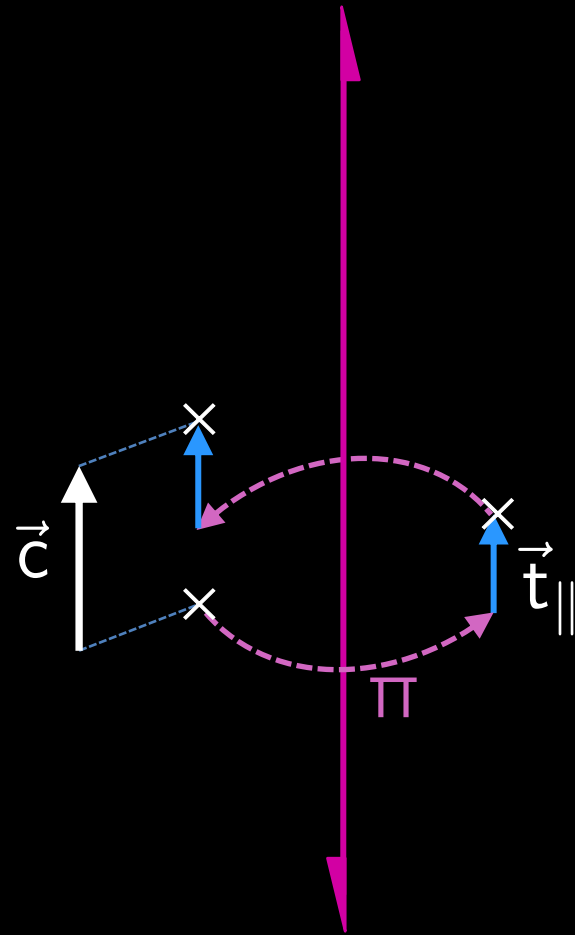
For (0,0,0)+ set

- (1) 1
- (2) 2 0,0,z
- (3) a $x, \frac{1}{2}, z$
- (4) b $\frac{1}{2}, y, z$

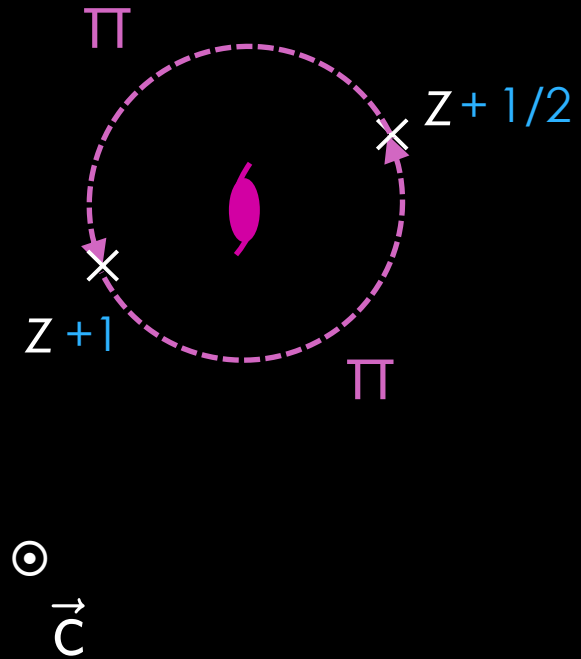
For ($\frac{1}{2}, \frac{1}{2}, \frac{1}{2}$)+ set

- (1) $i(\frac{1}{2}, \frac{1}{2}, \frac{1}{2})$
- (2) $2(0,0,\frac{1}{2}) \frac{1}{2}, \frac{1}{2}, z$
- (3) c $x, 0, z$
- (4) c $0, y, z$

Axe hélicoïdal $2_1 \parallel \vec{c}$

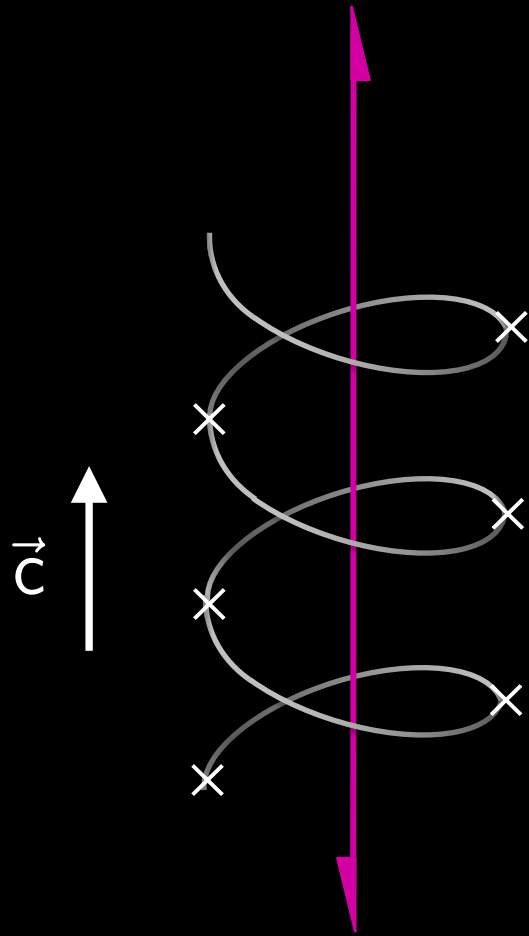


dans le plan de l'écran



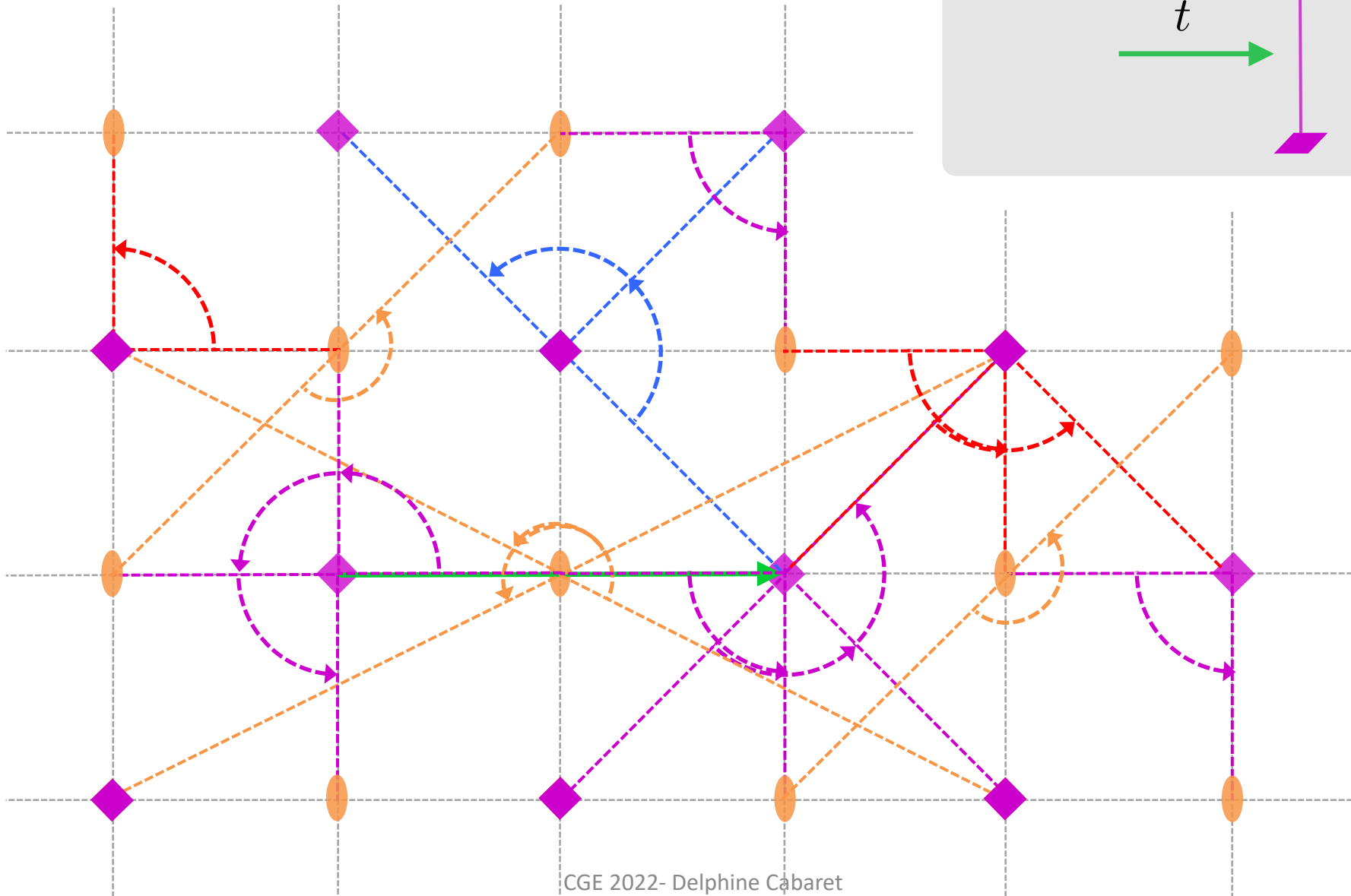
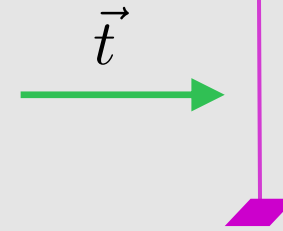
normal au plan de l'écran

Axe hélicoïdal $2_1 \parallel \vec{c}$



cas n°2 : $A_n \times \vec{t}$ avec $\vec{t} \perp A_n$

exemple :
 $n = 4$



13 – Groupes d'espace

exemples de groupe d'espace à 1 générateur

1st space group of point group C_4

International Tables for Crystallography (2006). Vol. A, Space group 75, p. 332.

$P4$

No. 75

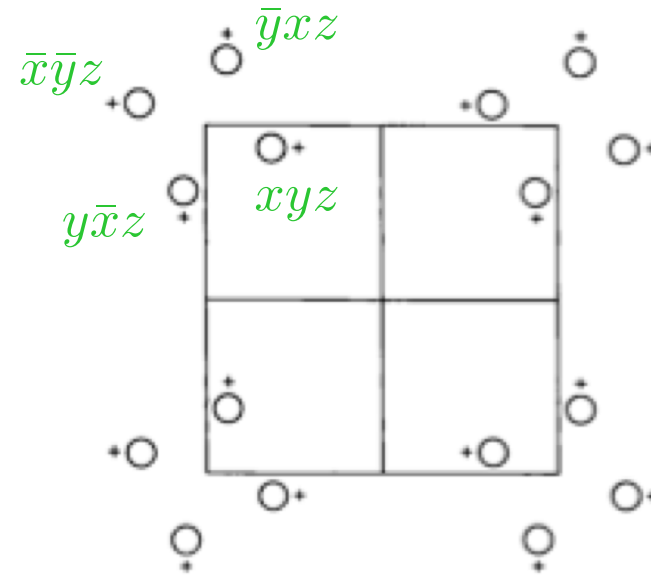
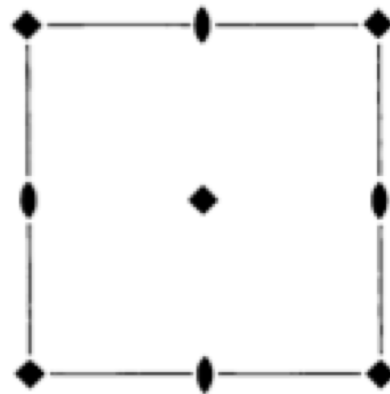
C_4^1

$P4$

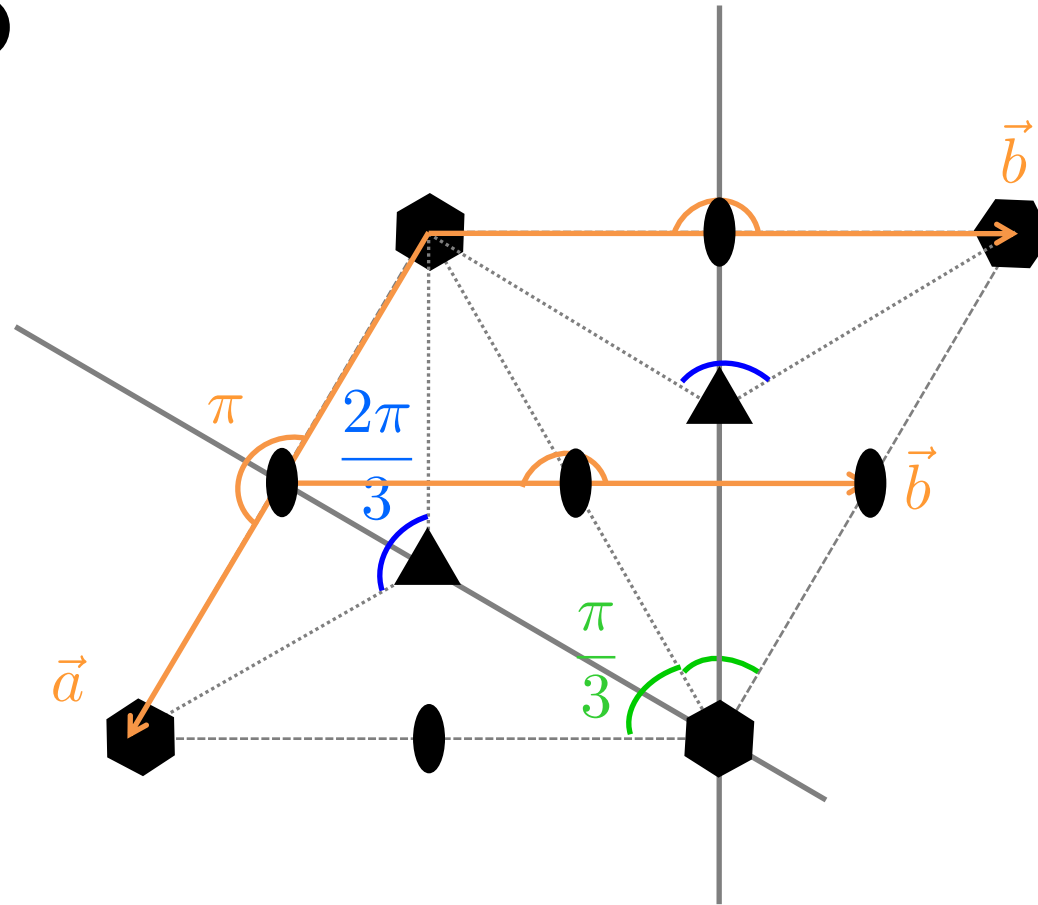
4

Tetragonal

Patterson symmetry $P4/m$



$P 6$



13 – Groupes d'espace

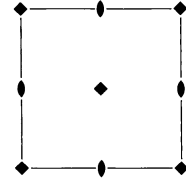
International Tables for Crystallography (2006). Vol. A, Space group 75, p. 332.

nom et n° du groupe

$P4$
No. 75

C_4^1
 $P4$

nom du groupe
(notation Schoenflies)

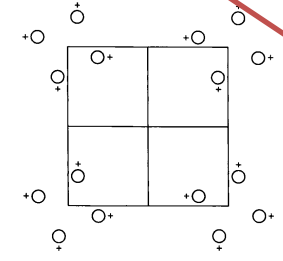


4

Tetragonal

Patterson symmetry $P4/m$

système cristallin



groupe ponctuel
correspondant

choix d'origine

Origin on 4

Asymmetric unit $0 \leq x \leq \frac{1}{2}; 0 \leq y \leq \frac{1}{2}; 0 \leq z \leq 1$

Symmetry operations
(1) 1 (2) 2 0,0,z (3) 4⁺ 0,0,z (4) 4⁻ 0,0,z

Generators selected (1); $r(1,0,0)$; $r(0,1,0)$; $r(0,0,1)$; (2); (3)

Positions	Multiplicity, Wyckoff letter, Site symmetry	Coordinates
4	d 1	(1) x,y,z (2) \bar{x},\bar{y},z (3) \bar{y},x,z (4) y, \bar{x},z
2	c 2..	$0, \frac{1}{2}, z$ $\frac{1}{2}, 0, z$
1	b 4..	$\frac{1}{2}, \frac{1}{2}, z$
1	a 4..	0,0,z

Reflection conditions
General:
no conditions
Special:
 $hkl : h+k=2n$
no extra conditions
no extra conditions

Symmetry of special projections
Along [001] $p4$
 $a' = a$ $b' = b$
Origin at 0,0,z

Along [100] $p1m1$
 $a' = b$ $b' = c$
Origin at x,0,0

Along [110] $p1m1$
 $a' = \frac{1}{2}(-a+b)$ $b' = c$
Origin at x,x,0

Maximal non-isomorphic subgroups
I [2] $P2(3)$ 1; 2
IIa none
IIb [2] $P4_2(c' = 2c)(77)$; [2] $F4(a' = 2a, b' = 2b, c' = 2c)(4, 79)$

Maximal isomorphic subgroups of lowest index
IIc [2] $P4(c' = 2c)(75)$; [2] $C4(a' = 2a, b' = 2b)(P4, 75)$

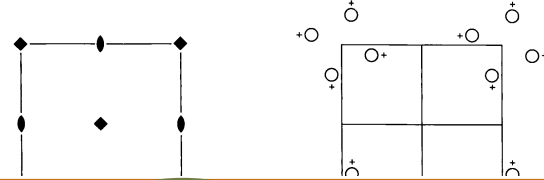
Minimal non-isomorphic supergroups
I [2] $P4/m(83)$; [2] $P4/n(85)$; [2] $P422(89)$; [2] $P4_2, 2(90)$; [2] $P4mm(99)$; [2] $P4bm(100)$; [2] $P4cc(103)$; [2] $P4nc(104)$
II [2] $I4(79)$

plus petite partie de l'espace
à partir de laquelle on remplit tout l'espace
par l'application
de toutes les opérations de symétrie
du groupe d'espace.

13 – Groupes d'espace

International Tables for Crystallography (2006). Vol. A, Space group 75, p. 332.

$P4$ C_4^1 4 Tetragonal
 No. 75 $P4$ Patterson symmetry $P4/m$



Positions			Coordinates			
Multiplicity,						
Wyckoff letter,						
Site symmetry						
4	d	1	(1) x, y, z	(2) \bar{x}, \bar{y}, z	(3) \bar{y}, x, z	(4) y, \bar{x}, z
2	c	2..	$0, \frac{1}{2}, z$	$\frac{1}{2}, 0, z$		
1	b	4..	$\frac{1}{2}, \frac{1}{2}, z$			
1	a	4..	$0, 0, z$			

Reflection conditions

General:
no conditions

Special:
 $hkl : h + k = 2n$

no extra conditions
no extra conditions

Symmetry of special projections

multiplicité du site cristallographique (nombre de positions équivalentes à l'intérieur de la maille conventionnelle pour un site atomique donné)

lettre de Wyckoff identifiant les sites cristallographiques, par ordre alphabétique du site, du plus symétrique au moins symétrique (i.e., sans symétrie = position quelconque)

groupe ponctuel du site cristallographique (sous-groupe du groupe ponctuel du cristal)

13 – Groupes d'espace

International Tables for Crystallography (2006). Vol. A, Space group 79, pp. 336–337.

CONTINUED

No. 79

I4

I4

C_4^5

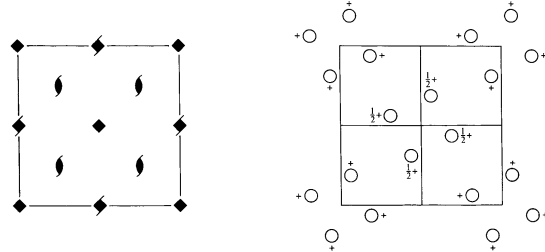
4

Tetragonal

No. 79

I4

Patterson symmetry I4/m



Generators selected (1); $t(1,0,0)$; $t(0,1,0)$; $t(0,0,1)$; $t(\frac{1}{2}, \frac{1}{2}, \frac{1}{2})$; (2); (3)

Positions		Coordinates			
Multiplicity, Wyckoff letter, Site symmetry		$(0,0,0)+ (\frac{1}{2}, \frac{1}{2}, \frac{1}{2})+$			
8 c 1	(1) x, y, z	(2) \bar{x}, \bar{y}, z	(3) \bar{y}, x, z	(4) y, \bar{x}, z	
4 b 2..	$0, \frac{1}{2}, z$	$\frac{1}{2}, 0, z$			
2 a 4..	$0, 0, z$				

Reflection conditions

General:

$hkl : h+k+l = 2n$
 $hk0 : h+k = 2n$
 $0kl : k+l = 2n$
 $hhl : l = 2n$
 $00l : l = 2n$
 $h00 : h = 2n$

Special: as above, plus

$hkl : l = 2n$

no extra conditions

Origin on 4

Asymmetric unit $0 \leq x \leq \frac{1}{2}; 0 \leq y \leq \frac{1}{2}; 0 \leq z < 1$

Symmetry operations

For $(0,0,0)+$ set
 (1) 1 (2) 2 $0,0,z$
 For $(\frac{1}{2}, \frac{1}{2}, \frac{1}{2})+$ set
 (1) $t(\frac{1}{2}, \frac{1}{2}, \frac{1}{2})$ (2) $2(0,0,\frac{1}{2})$

Positions

Multiplicity, Wyckoff letter, Site symmetry

Coordinates

$(0,0,0)+ (\frac{1}{2}, \frac{1}{2}, \frac{1}{2})+$

8 c 1 (1) x, y, z (2) \bar{x}, \bar{y}, z (3) \bar{y}, x, z (4) y, \bar{x}, z

4 b 2.. $0, \frac{1}{2}, z$ $\frac{1}{2}, 0, z$

2 a 4.. $0, 0, z$

Symmetry of special projections

Along $[001]$ $p4$

Along $[100]$ $c1m1$
 $a' = b$ $b' = c$
 Origin at $x, 0, 0$

Along $[110]$ $p1m1$
 $a' = \frac{1}{2}(-a+b)$ $b' = \frac{1}{2}c$
 Origin at $x, x, 0$

$\frac{1}{2}, \frac{1}{2}$

west index

$-2b, b' = -2a + b$ or $a' = a - 2b, b' = 2a + b$ (79)

s

$mm(107); [2]I4cm(108)$

groupe ponctuel cristallographique 3

→ système d'axes rhomboédriques
→ réseau R



groupe d'espace : $R3$ (n° 146)

→ système d'axes hexagonaux
→ réseau P



groupe d'espace : $P3$ (n° 143)

$P3$

No. 143

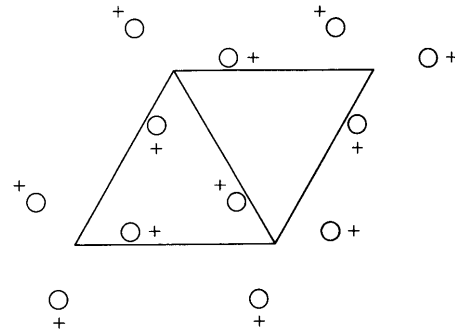
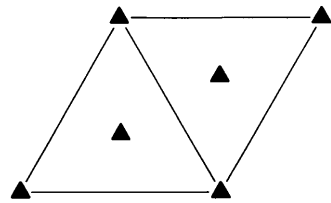
C_3^1

$P3$

3

Trigonal

Patterson symmetry $P\bar{3}$

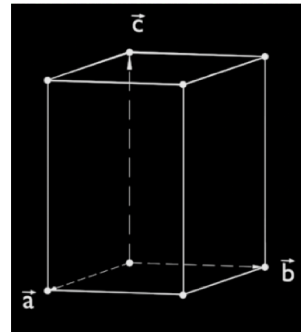


Origin on 3

Asymmetric unit $0 \leq x \leq \frac{2}{3}; 0 \leq y \leq \frac{2}{3}; 0 \leq z \leq 1; x \leq (1+y)/2; y \leq \min(1-x, (1+x)/2)$
 Vertices $0,0,0 \quad \frac{1}{2},0,0 \quad \frac{2}{3},\frac{1}{3},0 \quad \frac{1}{3},\frac{2}{3},0 \quad 0,\frac{1}{2},0$
 $0,0,1 \quad \frac{1}{2},0,1 \quad \frac{2}{3},\frac{1}{3},1 \quad \frac{1}{3},\frac{2}{3},1 \quad 0,\frac{1}{2},1$

Symmetry operations

(1) 1 (2) $3^+ 0,0,z$ (3) $3^- 0,0,z$



CONTINUED

No. 143

$P3$

Generators selected (1); $t(1,0,0)$; $t(0,1,0)$; $t(0,0,1)$; (2)

Positions

Multiplicity, Wyckoff letter, Site symmetry	Coordinates	Reflection conditions
3 <i>d</i> 1	(1) x, y, z (2) $\bar{y}, x-y, z$ (3) $\bar{x}+y, \bar{x}, z$	General: no conditions Special: no extra conditions
1 <i>c</i> 3 ..	$\frac{2}{3}, \frac{1}{3}, z$	
1 <i>b</i> 3 ..	$\frac{1}{3}, \frac{2}{3}, z$	
1 <i>a</i> 3 ..	$0, 0, z$	

Symmetry of special projections

Along [001] $P3$ Along [100] $P1$ Along [210] $P1$
 $\mathbf{a}' = \mathbf{a} \quad \mathbf{b}' = \mathbf{b}$ $\mathbf{a}' = \frac{1}{2}(\mathbf{a} + 2\mathbf{b}) \quad \mathbf{b}' = \mathbf{c}$ $\mathbf{a}' = \frac{1}{2}\mathbf{b} \quad \mathbf{b}' = \mathbf{c}$
 Origin at $0,0,z$ Origin at $x,0,0$ Origin at $x, \frac{1}{2}x, 0$

Maximal non-isomorphic subgroups

I [3] $P1$ (1) 1
IIa none
IIb [3] $P3_1$ ($\mathbf{c}' = 3\mathbf{c}$) (145); [3] $P3_2$ ($\mathbf{c}' = 3\mathbf{c}$) (144); [3] $R3$ ($\mathbf{a}' = \mathbf{a} - \mathbf{b}, \mathbf{b}' = \mathbf{a} + 2\mathbf{b}, \mathbf{c}' = 3\mathbf{c}$) (146);
 [3] $R3$ ($\mathbf{a}' = 2\mathbf{a} + \mathbf{b}, \mathbf{b}' = -\mathbf{a} + \mathbf{b}, \mathbf{c}' = 3\mathbf{c}$) (146)

Maximal isomorphic subgroups of lowest index

IIc [2] $P3$ ($\mathbf{c}' = 2\mathbf{c}$) (143); [3] $H3$ ($\mathbf{a}' = 3\mathbf{a}, \mathbf{b}' = 3\mathbf{b}$) ($P3, 143$)

Minimal non-isomorphic supergroups

I [2] $P\bar{3}$ (147); [2] $P312$ (149); [2] $P321$ (150); [2] $P3m1$ (156); [2] $P31m$ (157); [2] $P3c1$ (158); [2] $P31c$ (159); [2] $P6$ (168);
 [2] $P6_3$ (173); [2] $P\bar{6}$ (174)
II [3] $R3$ (obverse) (146); [3] $R3$ (reverse) (146)

$R3$

No. 146

C_3^4

$R3$

3

Trigonal

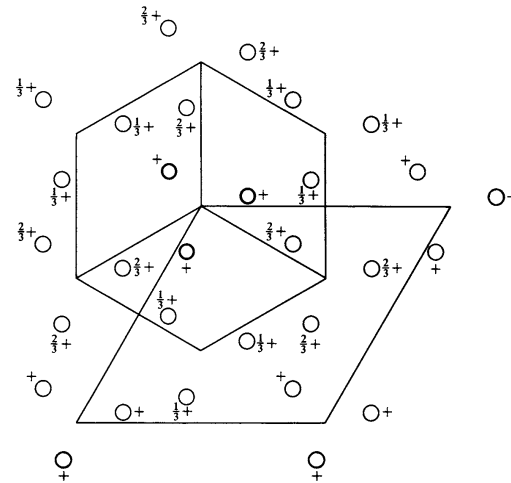
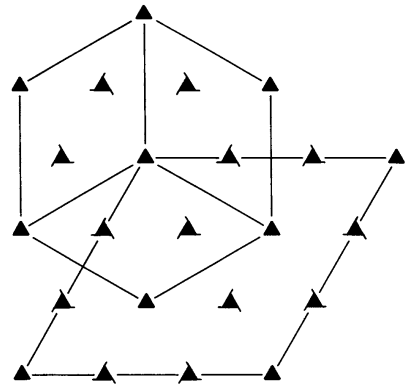
Patterson symmetry $R\bar{3}$

CONTINUED

No. 146

$R3$

HEXAGONAL AXES



Origin on 3

Asymmetric unit $0 \leq x \leq \frac{2}{3}; 0 \leq y \leq \frac{2}{3}; 0 \leq z \leq \frac{1}{2}; x \leq (1+y)/2; y \leq \min(1-x, (1+x)/2)$

Vertices $0,0,0 \quad \frac{1}{3},0,0 \quad \frac{2}{3},\frac{1}{3},0 \quad \frac{1}{3},\frac{2}{3},0 \quad 0,\frac{1}{2},0$
 $0,0,\frac{1}{2} \quad \frac{1}{2},0,\frac{1}{2} \quad \frac{2}{3},\frac{1}{3},\frac{1}{2} \quad \frac{1}{3},\frac{2}{3},\frac{1}{2} \quad 0,\frac{1}{2},\frac{1}{2}$

Symmetry operations

For $(0,0,0)+$ set

(1) 1 (2) $3^+ 0,0,z$ (3) $3^- 0,0,z$

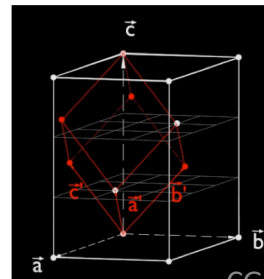
For $(\frac{1}{3},\frac{1}{3},\frac{1}{2})+$ set

(1) $\bar{1}(\frac{1}{3},\frac{1}{3},\frac{1}{2})$ (2) $3^+(0,0,\frac{1}{3}) \quad \frac{1}{3},\frac{1}{3},z$ (3) $3^-(0,0,\frac{1}{3}) \quad \frac{1}{3},\frac{1}{3},z$

For $(\frac{1}{3},\frac{2}{3},\frac{1}{2})+$ set

(1) $\bar{1}(\frac{1}{3},\frac{2}{3},\frac{1}{2})$ (2) $3^+(0,0,\frac{2}{3}) \quad 0,\frac{1}{3},z$ (3) $3^-(0,0,\frac{2}{3}) \quad \frac{1}{3},\frac{1}{3},z$

conventionnel setting



Generators selected (1); $\bar{1}(1,0,0)$; $\bar{1}(0,1,0)$; $\bar{1}(0,0,1)$; $\bar{1}(\frac{2}{3},\frac{1}{3},\frac{1}{2})$; (2)

Positions

Multiplicity,
Wyckoff letter,
Site symmetry

Coordinates

$(0,0,0)+$ $(\frac{2}{3},\frac{1}{3},\frac{1}{2})+$ $(\frac{1}{3},\frac{2}{3},\frac{1}{2})+$

9 b 1 (1) x,y,z (2) $\bar{y},x-y,z$ (3) $\bar{x}+y,\bar{x},z$

3 a 3. 0,0,z

Symmetry of special projections

Along $[001]$ $p3$

$\mathbf{a}' = \frac{1}{2}(2\mathbf{a} + \mathbf{b})$ $\mathbf{b}' = \frac{1}{2}(-\mathbf{a} + \mathbf{b})$

Origin at 0,0,z

Along $[100]$ $p1$

$\mathbf{a}' = \frac{1}{2}(\mathbf{a} + 2\mathbf{b})$ $\mathbf{b}' = \frac{1}{2}(-\mathbf{a} - 2\mathbf{b} + \mathbf{c})$

Origin at $x,0,0$

Reflection conditions

General:

$hkil : -h + k + l = 3n$

$hk\bar{l}0 : -h + k = 3n$

$hh\bar{2}hl : l = 3n$

$h\bar{h}0l : h + l = 3n$

$000l : l = 3n$

$h\bar{h}00 : h = 3n$

Special: no extra conditions

Maximal non-isomorphic subgroups

I [3] $R1(P1, 1)$ 1+

IIa [3] $P3_2(145)$ 1; $2 + (\frac{1}{3},\frac{2}{3},\frac{1}{2})$; $3 + (\frac{2}{3},\frac{1}{3},\frac{1}{2})$

[3] $P3_1(144)$ 1; $2 + (\frac{2}{3},\frac{1}{3},\frac{1}{2})$; $3 + (\frac{1}{3},\frac{2}{3},\frac{1}{2})$

[3] $P3(143)$ 1; 2; 3

IIb none

Maximal isomorphic subgroups of lowest index

IIc [2] $R3(\mathbf{a}' = -\mathbf{a}, \mathbf{b}' = -\mathbf{b}, \mathbf{c}' = 2\mathbf{c})(146)$; [4] $R3(\mathbf{a}' = -2\mathbf{a}, \mathbf{b}' = -2\mathbf{b})(146)$

Minimal non-isomorphic supergroups

I [2] $R\bar{3}(148)$; [2] $R32(155)$; [2] $R3m(160)$; [2] $R3c(161)$; [4] $P23(195)$; [4] $F23(196)$; [4] $I23(197)$; [4] $P2_13(198)$; [4] $I2_13(199)$

II [3] $P3(\mathbf{a}' = \frac{1}{2}(2\mathbf{a} + \mathbf{b}), \mathbf{b}' = \frac{1}{2}(-\mathbf{a} + \mathbf{b}), \mathbf{c}' = \frac{1}{2}\mathbf{c})(143)$

$R3$

No. 146

C_3^4

$R3$

3

Trigonal

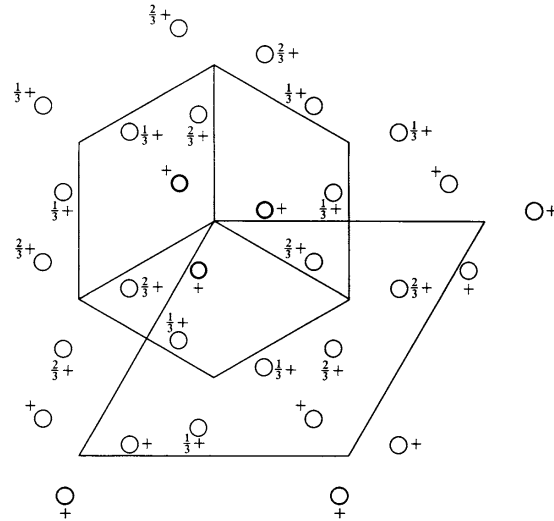
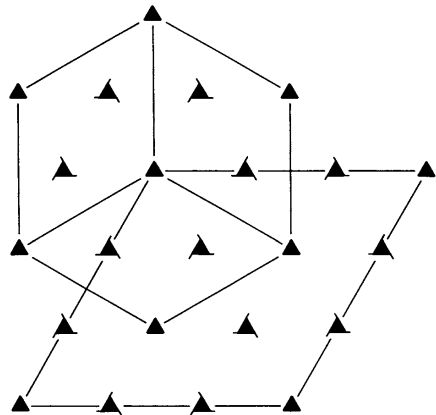
CONTINUED

No. 146

$R3$

Patterson symmetry $R\bar{3}$

RHOMBOHEDRAL AXES



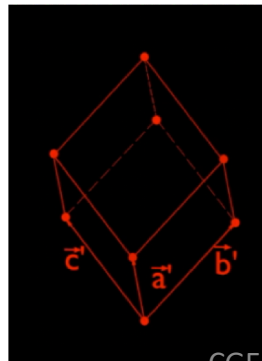
Heights refer to hexagonal axes

Origin on 3

Asymmetric unit $0 \leq x \leq 1; 0 \leq y \leq 1; 0 \leq z \leq 1; z \leq \min(x,y)$
Vertices 0,0,0 1,0,0 1,1,0 0,1,0 1,1,1

Symmetry operations

- (1) 1
- (2) $3^+ x, x, x$
- (3) $3^- x, x, x$



Generators selected (1); $t(1,0,0)$; $t(0,1,0)$; $t(0,0,1)$; (2)

Positions

Multiplicity, Wyckoff letter, Site symmetry	Coordinates	Reflection conditions
3 <i>b</i> 1	(1) x, y, z (2) z, x, y (3) y, z, x	General: no conditions Special: no extra conditions
1 <i>a</i> 3.	x, x, x	

Symmetry of special projections

Along $[111] p3$ $a' = \frac{1}{3}(2a - b - c)$ Origin at x, x, x	Along $[1\bar{1}0] p1$ $a' = \frac{1}{2}(a + b - 2c)$ Origin at $x, \bar{x}, 0$	Along $[2\bar{1}\bar{1}] p1$ $a' = \frac{1}{3}(b - c)$ Origin at $2x, \bar{x}, \bar{x}$
$b' = \frac{1}{3}(-a + 2b - c)$	$b' = c$	$b' = \frac{1}{3}(a + b + c)$

Maximal non-isomorphic subgroups

- I** [3] $R1 (P1, 1)$ 1
- IIa** none
- IIb** [3] $P3_2 (a' = a - b, b' = b - c, c' = a + b + c)$ (145); [3] $P3_1 (a' = a - b, b' = b - c, c' = a + b + c)$ (144); [3] $P3 (a' = a - b, b' = b - c, c' = a + b + c)$ (143)

Maximal isomorphic subgroups of lowest index

- IIc** [2] $R3 (a' = b + c, b' = a + c, c' = a + b)$ (146); [4] $R3 (a' = -a + b + c, b' = a - b + c, c' = a + b - c)$ (146)

Minimal non-isomorphic supergroups

- I** [2] $R\bar{3}$ (148); [2] $R32$ (155); [2] $R3m$ (160); [2] $R3c$ (161); [4] $P23$ (195); [4] $F23$ (196); [4] $I23$ (197); [4] $P2_13$ (198); [4] $I2_13$ (199)
- II** [3] $P3 (a' = \frac{1}{3}(2a - b - c), b' = \frac{1}{3}(-a + 2b - c), c' = \frac{1}{3}(a + b + c))$ (143)

13 – Groupes d'espace

retour sur l'exemple 3 des "Objectifs"

PHYSICAL REVIEW B 78, 195103 (2008)

X-ray linear dichroism in cubic compounds: The case of Cr³⁺ in MgAl₂O₄

Amélie Juhin,^{1,*} Christian Brouder,¹ Marie-Anne Arrio,¹ Delphine Cabaret,¹ Philippe Saintcavit,¹ Etienne Balan,^{1,2} Amélie Bordage,¹ Ari P. Seitsonen,¹ Georges Calas,¹ Sigrid G. Eeckhout,³ and Pieter Glatzel³

mechanical properties.¹³ In MgAl₂O₄ spinel (*Fd* $\bar{3}m$ space-group symmetry), Al³⁺ cations occur at octahedral sites, which exhibit *D*_{3d} (or $\bar{3}m$) symmetry and build chains aligned along the six twofold axis of the cubic structure.¹⁴

?

Extrait de la table du groupe d'espace du spinelle

<i>Fd</i> $\bar{3}m$	<i>O</i> _h ⁷	<i>m</i> $\bar{3}m$	Cubic
No. 227	<i>F</i> 4 ₁ / <i>d</i> $\bar{3}$ 2/ <i>m</i>	Patterson symmetry <i>Fm</i> $\bar{3}m$	

ORIGIN CHOICE 2

2 choix d'origine possibles : le 2^e, quand il existe, correspond toujours à la position du centre de symétrie

Positions

Multiplicity,
Wyckoff letter,
Site symmetry

Coordinates

(0,0,0)+ (0, $\frac{1}{2}$, $\frac{1}{2}$)+ ($\frac{1}{2}$, 0, $\frac{1}{2}$)+ ($\frac{1}{2}$, $\frac{1}{2}$, 0)+

Reflection conditions

h, k, l permutable
General:

192	<i>i</i>	1	(1) <i>x, y, z</i>	(2) $\bar{x} + \frac{1}{2}, \bar{y} + \frac{1}{2}, z + \frac{1}{2}$	(3) $\bar{x} + \frac{1}{2}, y + \frac{1}{2}, \bar{z} + \frac{1}{2}$	(4) $x + \frac{1}{2}, \bar{y} + \frac{1}{2}, \bar{z} + \frac{1}{2}$	<i>hkl</i> : <i>h</i> + <i>k</i> = 2 <i>n</i> and <i>h</i> + <i>l</i> , <i>k</i> + <i>l</i> = 2 <i>n</i>
			(5) <i>z, x, y</i>	(6) $z + \frac{1}{2}, \bar{x} + \frac{1}{2}, \bar{y} + \frac{1}{2}$	(7) $\bar{z} + \frac{1}{2}, \bar{x} + \frac{1}{2}, y + \frac{1}{2}$	(8) $\bar{z} + \frac{1}{2}, x + \frac{1}{2}, \bar{y} + \frac{1}{2}$	<i>Ok</i> l : <i>k</i> + <i>l</i> = 4 <i>n</i> and <i>k, l</i> = 2 <i>n</i>
			(9) <i>y, z, x</i>	(10) $\bar{y} + \frac{1}{2}, z + \frac{1}{2}, \bar{x} + \frac{1}{2}$	(11) $y + \frac{1}{2}, \bar{z} + \frac{1}{2}, \bar{x} + \frac{1}{2}$	(12) $\bar{y} + \frac{1}{2}, \bar{z} + \frac{1}{2}, x + \frac{1}{2}$	<i>hhl</i> : <i>h</i> + <i>l</i> = 2 <i>n</i>
			(13) $y + \frac{1}{2}, x + \frac{1}{2}, \bar{z} + \frac{1}{2}$	(14) $\bar{y}, \bar{x}, \bar{z}$	(15) $y + \frac{1}{2}, \bar{x} + \frac{1}{2}, z + \frac{1}{2}$	(16) $\bar{y} + \frac{1}{2}, x + \frac{1}{2}, z + \frac{1}{2}$	<i>h00</i> : <i>h</i> = 4 <i>n</i>
			(17) $x + \frac{1}{2}, z + \frac{1}{2}, \bar{y} + \frac{1}{2}$	(18) $\bar{x} + \frac{1}{2}, z + \frac{1}{2}, y + \frac{1}{2}$	(19) $\bar{x}, \bar{z}, \bar{y}$	(20) $x + \frac{1}{2}, \bar{z} + \frac{1}{2}, y + \frac{1}{2}$	
			(21) $z + \frac{1}{2}, y + \frac{1}{2}, \bar{x} + \frac{1}{2}$	(22) $z + \frac{1}{2}, \bar{y} + \frac{1}{2}, x + \frac{1}{2}$	(23) $\bar{z} + \frac{1}{2}, y + \frac{1}{2}, x + \frac{1}{2}$	(24) $\bar{z}, \bar{y}, \bar{x}$	
			(25) $\bar{x}, \bar{y}, \bar{z}$	(26) $x + \frac{1}{2}, y + \frac{1}{2}, \bar{z} + \frac{1}{2}$	(27) $x + \frac{1}{2}, \bar{y} + \frac{1}{2}, z + \frac{1}{2}$	(28) $\bar{x} + \frac{1}{2}, y + \frac{1}{2}, z + \frac{1}{2}$	
			(29) $\bar{z}, \bar{x}, \bar{y}$	(30) $\bar{z} + \frac{1}{2}, x + \frac{1}{2}, y + \frac{1}{2}$	(31) $z + \frac{1}{2}, x + \frac{1}{2}, \bar{y} + \frac{1}{2}$	(32) $z + \frac{1}{2}, \bar{x} + \frac{1}{2}, y + \frac{1}{2}$	
			(33) $\bar{y}, \bar{z}, \bar{x}$	(34) $y + \frac{1}{2}, \bar{z} + \frac{1}{2}, x + \frac{1}{2}$	(35) $\bar{y} + \frac{1}{2}, z + \frac{1}{2}, x + \frac{1}{2}$	(36) $y + \frac{1}{2}, z + \frac{1}{2}, \bar{x} + \frac{1}{2}$	
			(37) $\bar{y} + \frac{1}{2}, \bar{x} + \frac{1}{2}, z + \frac{1}{2}$	(38) <i>y, x, z</i>	(39) $\bar{y} + \frac{1}{2}, x + \frac{1}{2}, \bar{z} + \frac{1}{2}$	(40) $\bar{y} + \frac{1}{2}, x + \frac{1}{2}, z + \frac{1}{2}$	
			(41) $\bar{x} + \frac{1}{2}, \bar{z} + \frac{1}{2}, y + \frac{1}{2}$	(42) $x + \frac{1}{2}, \bar{z} + \frac{1}{2}, \bar{y} + \frac{1}{2}$	(43) <i>x, z, y</i>	(44) $\bar{x} + \frac{1}{2}, z + \frac{1}{2}, \bar{y} + \frac{1}{2}$	
			(45) $\bar{z} + \frac{1}{2}, \bar{y} + \frac{1}{2}, x + \frac{1}{2}$	(46) $\bar{z} + \frac{1}{2}, y + \frac{1}{2}, \bar{x} + \frac{1}{2}$	(47) $z + \frac{1}{2}, \bar{y} + \frac{1}{2}, \bar{x} + \frac{1}{2}$	(48) <i>z, y, x</i>	

Special: as above, plus
no extra conditions

96	<i>h</i>	.. 2	0, <i>y, y</i>	$\frac{1}{2}, \bar{y} + \frac{1}{4}, \bar{y} + \frac{1}{2}$	$\frac{1}{4}, y + \frac{1}{2}, y + \frac{3}{4}$	$\frac{1}{2}, \bar{y} + \frac{3}{4}, y + \frac{1}{4}$	
			$\bar{y}, 0, y$	$\bar{y} + \frac{1}{2}, \frac{3}{4}, \bar{y} + \frac{1}{4}$	$y + \frac{3}{4}, \frac{1}{4}, y + \frac{1}{2}$	$y + \frac{1}{4}, \frac{1}{2}, \bar{y} + \frac{3}{4}$	
			<i>y, y, 0</i>	$\bar{y} + \frac{1}{4}, \bar{y} + \frac{1}{2}, \frac{3}{4}$	$y + \frac{1}{2}, y + \frac{3}{8}, \frac{1}{4}$	$\bar{y} + \frac{3}{8}, y + \frac{1}{4}, \frac{1}{2}$	
			0, \bar{y}, y	$\frac{1}{4}, y + \frac{3}{4}, y + \frac{1}{2}$	$\frac{3}{8}, \bar{y} + \frac{1}{2}, \bar{y} + \frac{1}{4}$	$\frac{1}{2}, y + \frac{1}{4}, \bar{y} + \frac{3}{4}$	
			<i>y, 0, y</i>	$y + \frac{1}{2}, \frac{1}{4}, y + \frac{3}{4}$	$\bar{y} + \frac{1}{4}, \frac{3}{8}, \bar{y} + \frac{1}{2}$	$\bar{y} + \frac{1}{8}, \frac{1}{2}, y + \frac{1}{4}$	
			$\bar{y}, y, 0$	$y + \frac{1}{4}, y + \frac{1}{2}, \frac{1}{4}$	$\bar{y} + \frac{1}{2}, \bar{y} + \frac{1}{4}, \frac{3}{4}$	$y + \frac{1}{4}, \bar{y} + \frac{3}{4}, \frac{1}{2}$	
96	<i>g</i>	.. <i>m</i>	<i>x, x, z</i>	$\bar{x} + \frac{1}{2}, \bar{x} + \frac{1}{2}, z + \frac{1}{2}$	$\bar{x} + \frac{1}{2}, x + \frac{1}{2}, \bar{z} + \frac{1}{2}$	$x + \frac{1}{2}, \bar{x} + \frac{3}{4}, \bar{z} + \frac{1}{4}$	no extra conditions
			<i>z, x, x</i>	$z + \frac{1}{2}, \bar{x} + \frac{3}{4}, \bar{x} + \frac{1}{4}$	$\bar{z} + \frac{1}{2}, \bar{x} + \frac{1}{4}, x + \frac{1}{2}$	$\bar{z} + \frac{1}{4}, x + \frac{1}{2}, \bar{x} + \frac{3}{4}$	
			<i>x, z, x</i>	$\bar{x} + \frac{1}{2}, z + \frac{1}{2}, \bar{x} + \frac{3}{4}$	$x + \frac{1}{2}, \bar{z} + \frac{3}{4}, \bar{x} + \frac{1}{4}$	$\bar{x} + \frac{3}{4}, \bar{z} + \frac{1}{4}, x + \frac{1}{2}$	
			$x + \frac{1}{2}, x + \frac{1}{2}, \bar{z} + \frac{1}{2}$	$\bar{x}, \bar{x}, \bar{z}$	$x + \frac{1}{2}, \bar{x} + \frac{1}{2}, z + \frac{1}{2}$	$\bar{x} + \frac{1}{2}, x + \frac{3}{4}, z + \frac{1}{4}$	
			$x + \frac{3}{4}, z + \frac{1}{4}, \bar{x} + \frac{1}{2}$	$\bar{x} + \frac{1}{2}, z + \frac{3}{4}, x + \frac{1}{4}$	$\bar{x}, \bar{z}, \bar{x}$	$x + \frac{1}{4}, \bar{z} + \frac{1}{2}, x + \frac{3}{4}$	
			$z + \frac{1}{4}, x + \frac{1}{4}, \bar{x} + \frac{3}{4}$	$z + \frac{1}{4}, \bar{x} + \frac{1}{2}, x + \frac{3}{4}$	$\bar{z} + \frac{1}{2}, x + \frac{3}{4}, x + \frac{1}{4}$	$\bar{z}, \bar{x}, \bar{x}$	
48	<i>f</i>	2. <i>mm</i>	$x, \frac{1}{8}, \frac{1}{8}$	$\bar{x} + \frac{3}{8}, \frac{1}{8}, \frac{5}{8}$	$\frac{1}{8}, x, \frac{1}{8}$	$\frac{5}{8}, \bar{x} + \frac{3}{8}, \frac{1}{8}$	<i>hkl</i> : <i>h</i> = 2 <i>n</i> + 1 or <i>h</i> + <i>k</i> + <i>l</i> = 4 <i>n</i>
			$\frac{7}{8}, x + \frac{1}{4}, \frac{3}{8}$	$\frac{7}{8}, \bar{x}, \frac{7}{8}$	$x + \frac{3}{4}, \frac{3}{8}, \frac{3}{8}$	$\bar{x} + \frac{1}{2}, \frac{7}{8}, \frac{3}{8}$	
			$\frac{1}{8}, \frac{1}{8}, x$	$\frac{5}{8}, \frac{1}{8}, x$	$\frac{1}{8}, \frac{1}{8}, x$	$\frac{5}{8}, \frac{1}{8}, x$	
			$\frac{7}{8}, \frac{3}{8}, x + \frac{1}{4}$	$\frac{7}{8}, \frac{3}{8}, \bar{x} + \frac{1}{2}$	$\frac{1}{8}, \frac{3}{8}, x + \frac{1}{4}$	$\frac{5}{8}, \frac{3}{8}, x + \frac{1}{4}$	
32	<i>e</i>	. 3 <i>m</i>	<i>x, x, x</i>	$\bar{x} + \frac{3}{4}, \bar{x} + \frac{1}{4}, x + \frac{1}{2}$	$x + \frac{1}{2}, \bar{x} + \frac{3}{4}, \bar{x} + \frac{1}{4}$		no extra conditions
			$\bar{x} + \frac{1}{4}, x + \frac{1}{2}, \bar{x} + \frac{3}{4}$	$x + \frac{1}{2}, x + \frac{1}{2}, \bar{x} + \frac{1}{2}$	$\bar{x}, \bar{x}, \bar{x}$		
			$x + \frac{3}{4}, x + \frac{1}{4}, \bar{x} + \frac{1}{2}$	$\bar{x}, \bar{x}, \bar{x}$			
			$x + \frac{1}{4}, \bar{x} + \frac{1}{2}, x + \frac{3}{4}$	$\bar{x} + \frac{1}{2}, x + \frac{3}{4}, x + \frac{1}{4}$			
16	<i>d</i>	. $\bar{3}m$	$\frac{1}{2}, \frac{1}{2}, \frac{1}{2}$	$\frac{1}{4}, \frac{3}{4}, 0$	$\frac{3}{4}, 0, \frac{1}{4}$	$0, \frac{1}{4}, \frac{3}{4}$	<i>hkl</i> : <i>h</i> = 2 <i>n</i> + 1 or <i>h, k, l</i> = 4 <i>n</i> + 2 or <i>h, k, l</i> = 4 <i>n</i>
16	<i>c</i>	. 3 <i>m</i>	0, 0, 0	$\frac{3}{4}, \frac{1}{4}, \frac{1}{2}$	$\frac{1}{4}, \frac{1}{2}, \frac{3}{4}$	$\frac{1}{2}, \frac{3}{4}, \frac{1}{4}$	
8	<i>b</i>	$\bar{4}3m$	$\frac{3}{8}, \frac{3}{8}, \frac{3}{8}$	$\frac{1}{8}, \frac{5}{8}, \frac{1}{8}$			<i>hkl</i> : <i>h</i> = 2 <i>n</i> + 1 or <i>h</i> + <i>k</i> + <i>l</i> = 4 <i>n</i>
8	<i>a</i>	$\bar{4}3m$	$\frac{1}{8}, \frac{1}{8}, \frac{1}{8}$	$\frac{7}{8}, \frac{3}{8}, \frac{3}{8}$			

Pour reprendre toutes ces notions à tête reposée ...



Association Française de Cristallographie

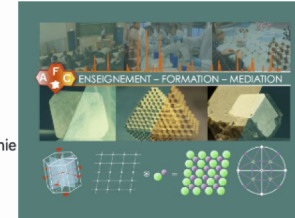
Association ▼ Adhésion Connexion

Cristallographie

L'axe transverse Enseignement de la Cristallographie

L'objectif de cet axe est multiple :

- Promouvoir l'enseignement de la cristallographie en France
- Diffuser auprès d'un large public des ressources pédagogiques
- Informer sur les différents événements en lien avec l'enseignement de la cristallographie



Vous êtes

étudiant-e de licence et master

et vous cherchez

des cours
des ouvrages
des conférences
des logiciels

**doctorant-e, ingénieur-e, chercheur-e,
enseignant-e du supérieur**

et vous cherchez

une formation
une école
un manuel
un logiciel

élève ou enseignant-e du secondaire

et vous cherchez

**une vidéo
pédagogique**
de la documentation

curieux de découvrir le monde des cristaux et la cristallographie

et vous cherchez

**de la documentation
et des vidéos
accessibles à tous**

Pour reprendre toutes ces notions à tête reposée ...



Association Française de Cristallographie

Association ▼ Adhésion Connexion Cristallographie

Les sponsors cristal de l'AFC

Le sponsor *cristal* de l'AFC



Anton Paar



crystals
an Open Access Journal by MDPI

Également devenir sponsor de l'AFC? Informations [ici](#).

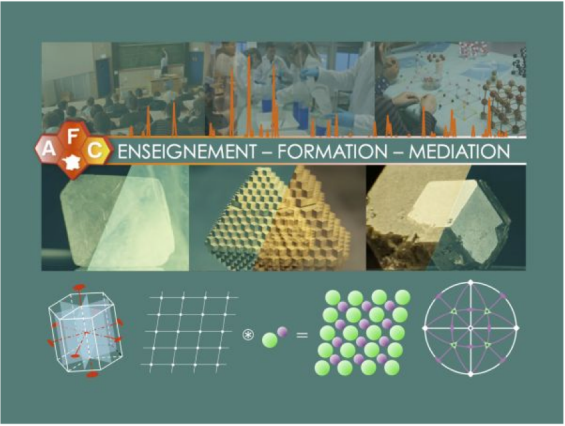
Les sponsors de l'AFC

Également devenir sponsor de l'AFC ?

Cliquez [ici](#)

Les cours en ligne

- [Les capsules éducatives de Michel Evain](#) (Université de Nantes)
Développées en trois thèmes (cristallographie géométrique, solide cristallin et diffraction), ces capsules vidéo de 3 à 19 minutes chacune constitue une ressource visuelle, didactique, complète et idéale pour comprendre l'organisation de la matière cristalline et des notions élémentaires de cristallographie.
- [Les capsules éducatives de Frank Hoffmann](#) (Université d'Hambourg)
Développées en sept chapitres, ces capsules vidéo de 1 à 14 minutes chacune constitue une ressource visuelle, didactique, complète et idéale pour comprendre l'organisation de la matière cristalline et des notions élémentaires de cristallographie. Le commentaire de ces vidéos est en anglais.
- [Autres vidéos courtes](#)
Ces capsules vidéos ont été conçues de manière isolée, notamment à l'occasion de l'année internationale de la cristallographie en 2014. Elles ne font donc pas partie d'un cours complet décliné en un succession de vidéos courtes.
- [MOOC \(Massive Open Online Courses\)](#)
Cours séquencés, ouverts à tous, qui demandent un travail régulier sur plusieurs semaines
- [Cours en ligne sur la solidification](#)
Mis au point par Marie Danielle Dupouy, Thierry Duffar et Kader Zaidat, avec l'aide de plusieurs générations d'étudiants de Grenoble INP. Le site web propose cours et exercices en français et en anglais.
- [Cours écrits](#)



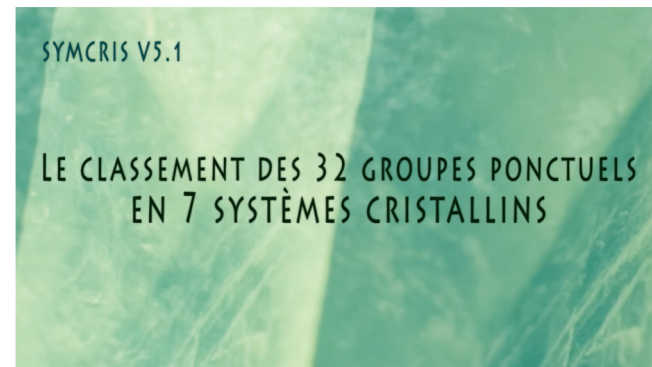
Vous êtes:

- étudiant-e
- doctorant-e
- élève ou en
- curieux de

[Retour à la page](#)

Post-doc physic
Quantum Mater
Post-doc physic
Quantum Mater
Postdoc in Bioc
Thèse IJL2022
CDD Ingénieur/e
PhD position in
un.e ingénieur.e
Poster votre anr

Pour reprendre toutes ces notions à tête reposée ...



Cours en ligne SYMCRIS : Ensemble de 24 vidéos (dont 6 en cours de finalisation) sur YouTube (ou moodle SU)